



COMUNE di PALOMONTE (Sa)

oggetto: PIANO URBANISTICO COMUNALE (PUC)

(L.R. 16 del 22/12/2004 e s.m.l. - Regolamento di Attuazione n° 5 del 04/08/2011 - BURC n° 53 dell' 08/08/ 2011)

fase: PIANO STRUTTURALE DEL PUC

(a tempo indeterminato ex art.9, del Regolamento)

STUDIO GEOLOGICO

(L.R. 9 del 02/01/1993 e s.m.l - D.M. 14/01/2000)

PUC APPROVATO CON DELIBERA DI C. C. N. 25 DEL 23.11.2016

IL SINDACO:
(*gr Pietro Caporale*)

1:25000 <input type="radio"/>	1:10000 <input type="radio"/>	1:5000 <input type="radio"/>	1:2000 <input checked="" type="radio"/> ① ② ③	Q QUADRO CONOSCITIVO	P QUADRO PROGETTUALE	
				<input type="radio"/> QC1 - Quadro normativo e di pianificazione <input checked="" type="radio"/> QC2 - Quadro ambientale <input type="radio"/> QC3 - Quadro strutturale economico e sociale <input type="radio"/> QC4 - Quadro strutturale morfologico	<input type="radio"/> P1 - Trasformabilità del Territorio <input type="radio"/> P2 - Classificazione delle Aree <input type="radio"/> P3 - Relazione Illustrativa e Norme <input type="radio"/> P4 - Rapporto Ambientale (IAS)	
TERRITORIO COMUNALE					sigla all.to	numero all.to
PROSPEZIONI SISMICHE					QC2.01.13	31
PROGETTO URBANISTICO : dr. arch. Pio CASTIELLO (Capogruppo RTP) - dr. arch. Michele Carluccio, dr. arch. Donato Ficetola, dr. arch. Paola D'Onofrio STUDIO GEOLOGICO : dr. geol. Antonio Toscano STUDIO AGRONOMICO : dr. agr. Angelo Irde ZONIZZAZIONE ACUSTICA : prof. Gennaro Lepore						

ing. Francesco Lucibello
(Responsabile dell'Area Tecnica)
(RUP)

dr. Antonio Toscano
(geologo)

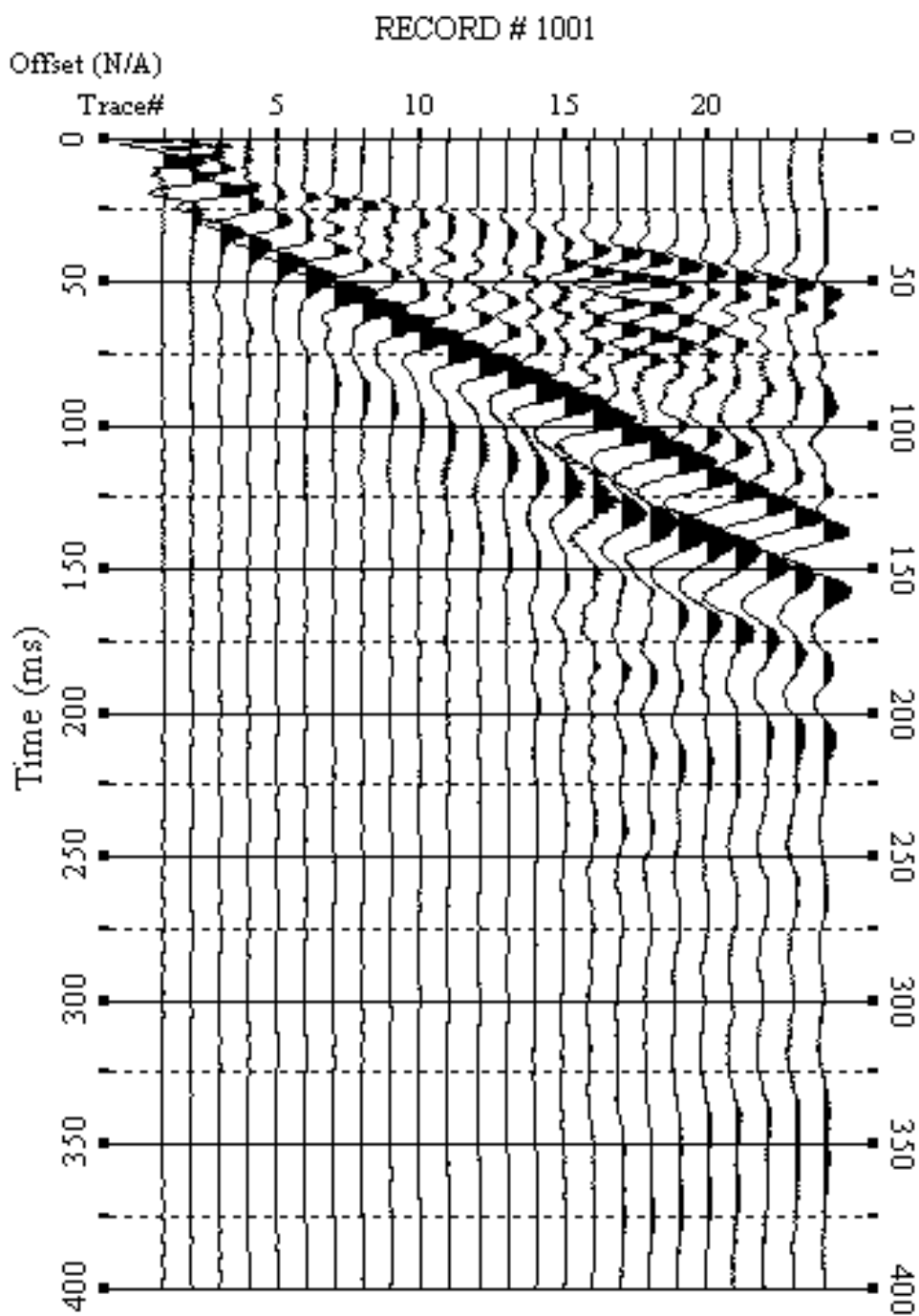


Fig. 22 – Sismogrammi relativi all’indagine Sismica MASW n. 1: acquisizione n. 1. Finestra temporale [0-400]ms.

RECORD # 1002

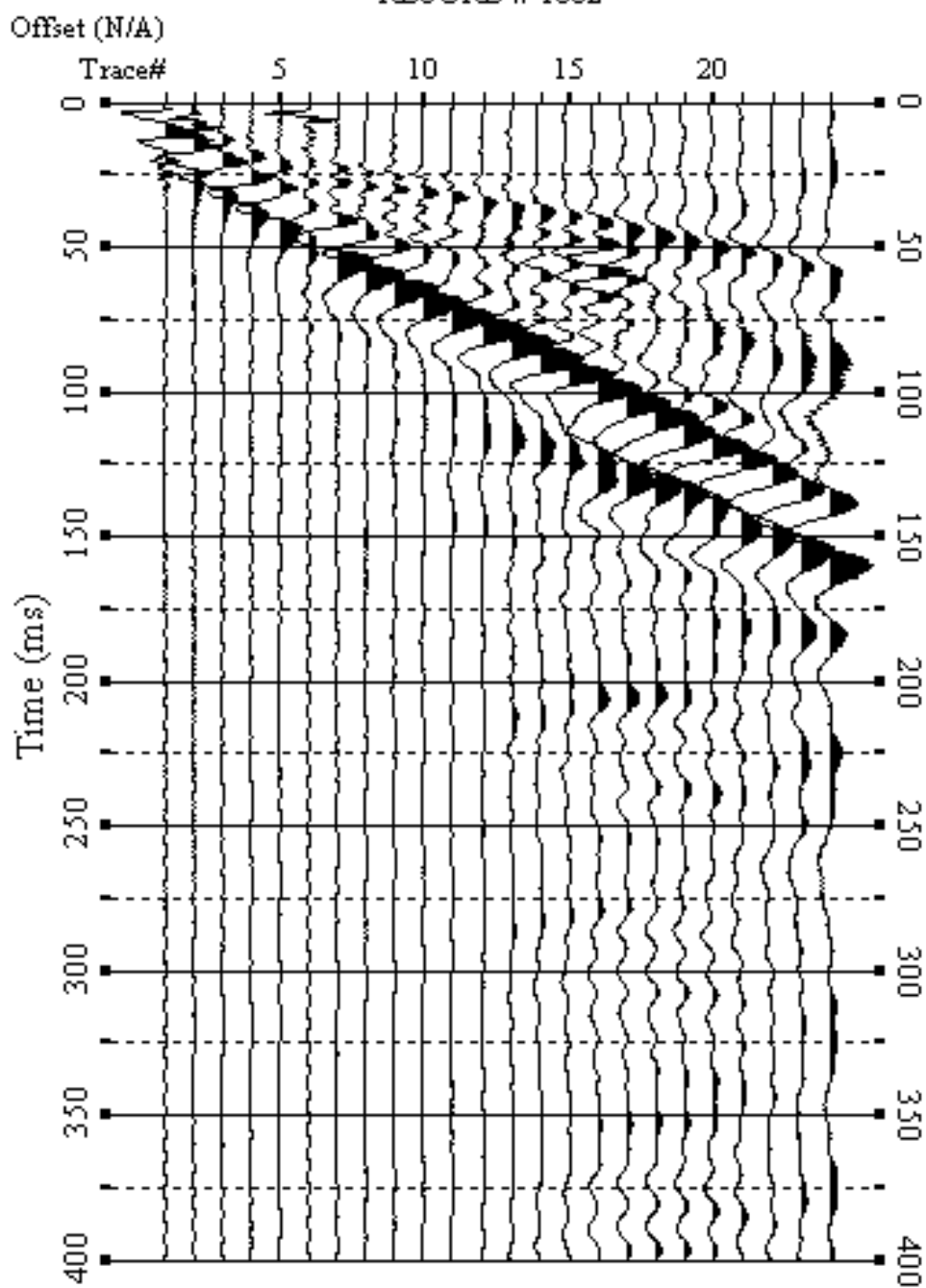


Fig. 23 – Sismogrammi relativi all'indagine Sismica MASW n. 1: acquisizione n. 2. Finestra temporale [0-400]ms.

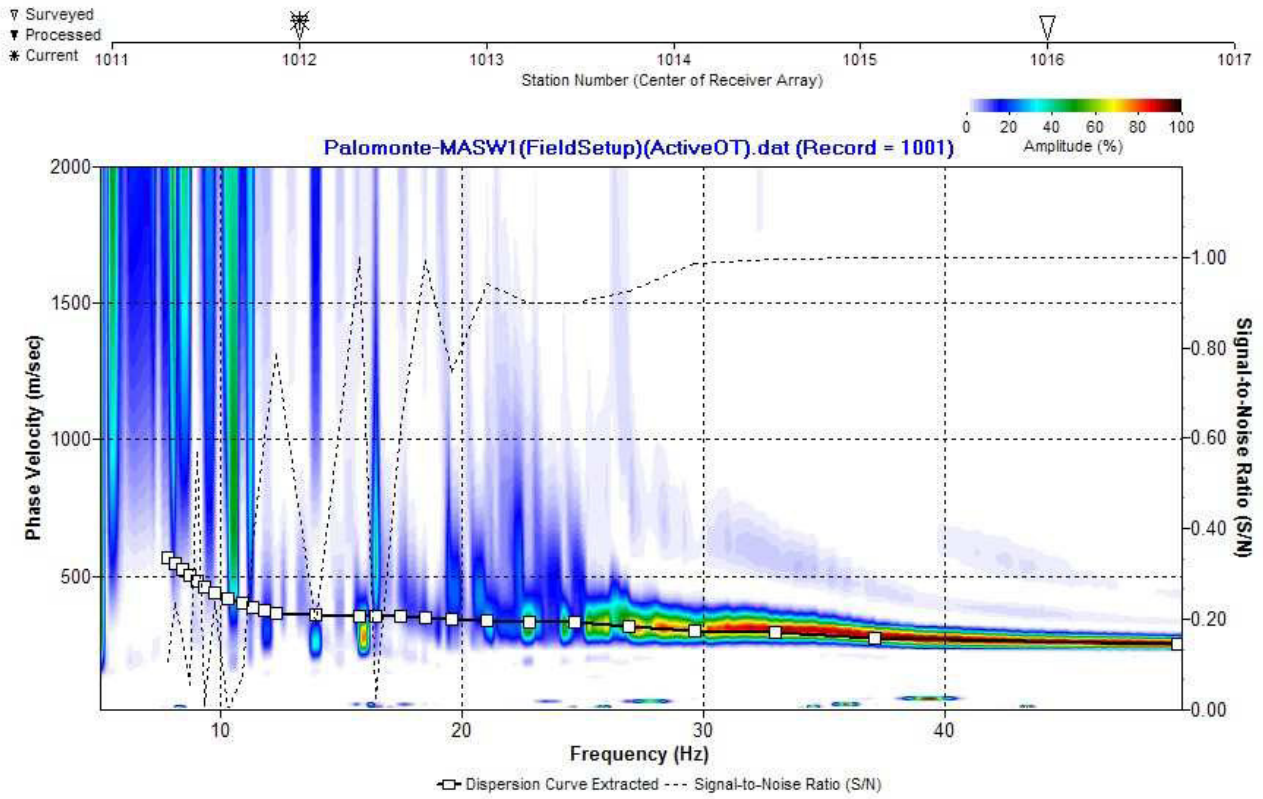


Fig. 24 – Curva di dispersione della velocità di fase delle onde superficiali di Rayleigh ottenuta dall'indagine Sismica MASW n. 1: acquisizione n. 1.

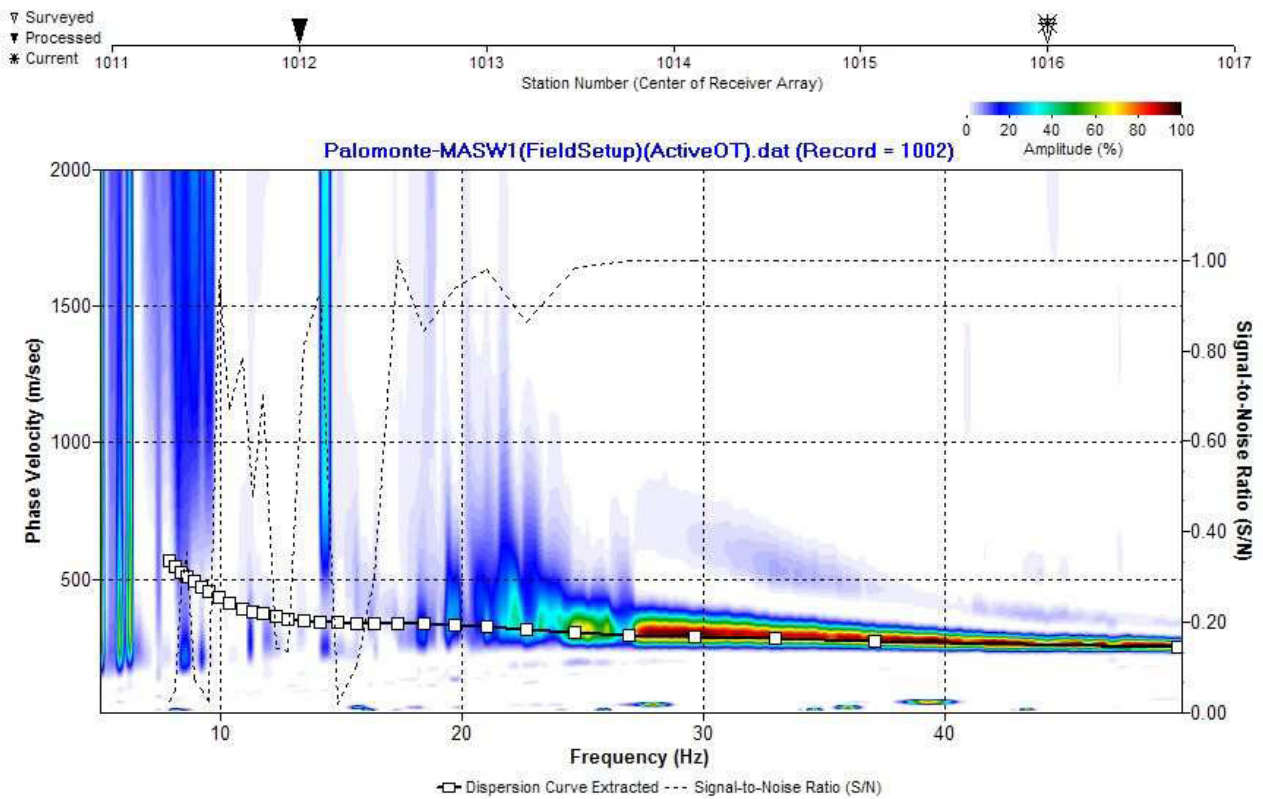


Fig. 25 – Curva di dispersione della velocità di fase delle onde superficiali di Rayleigh ottenuta dall'indagine Sismica MASW n. 1: acquisizione n. 2.

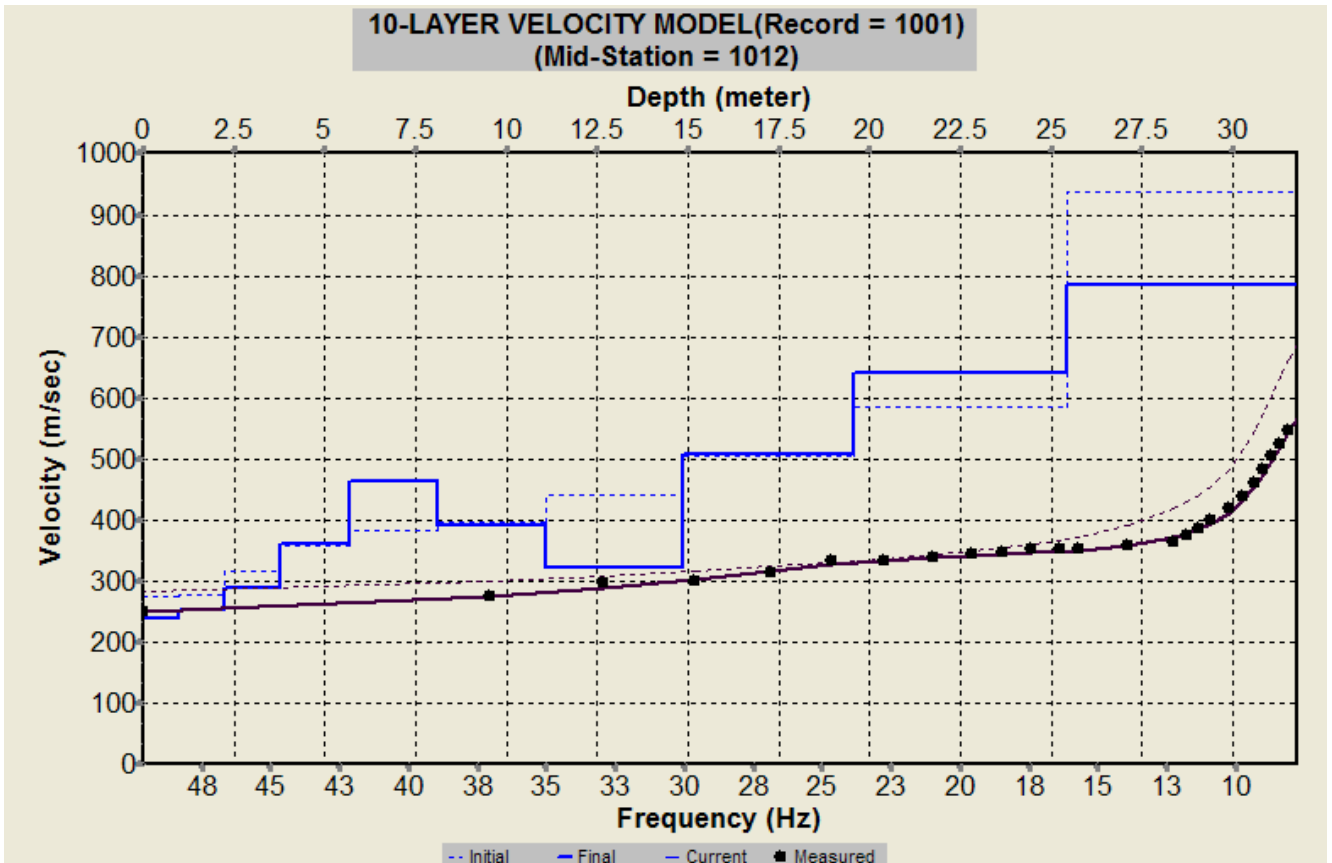


Fig. 26– Profilo verticale 1D delle V_S ottenuto dall’inversione della curva di dispersione della velocità di fase delle onde superficiali di Rayleigh: MASW n. 1 - acquisizione n. 1.

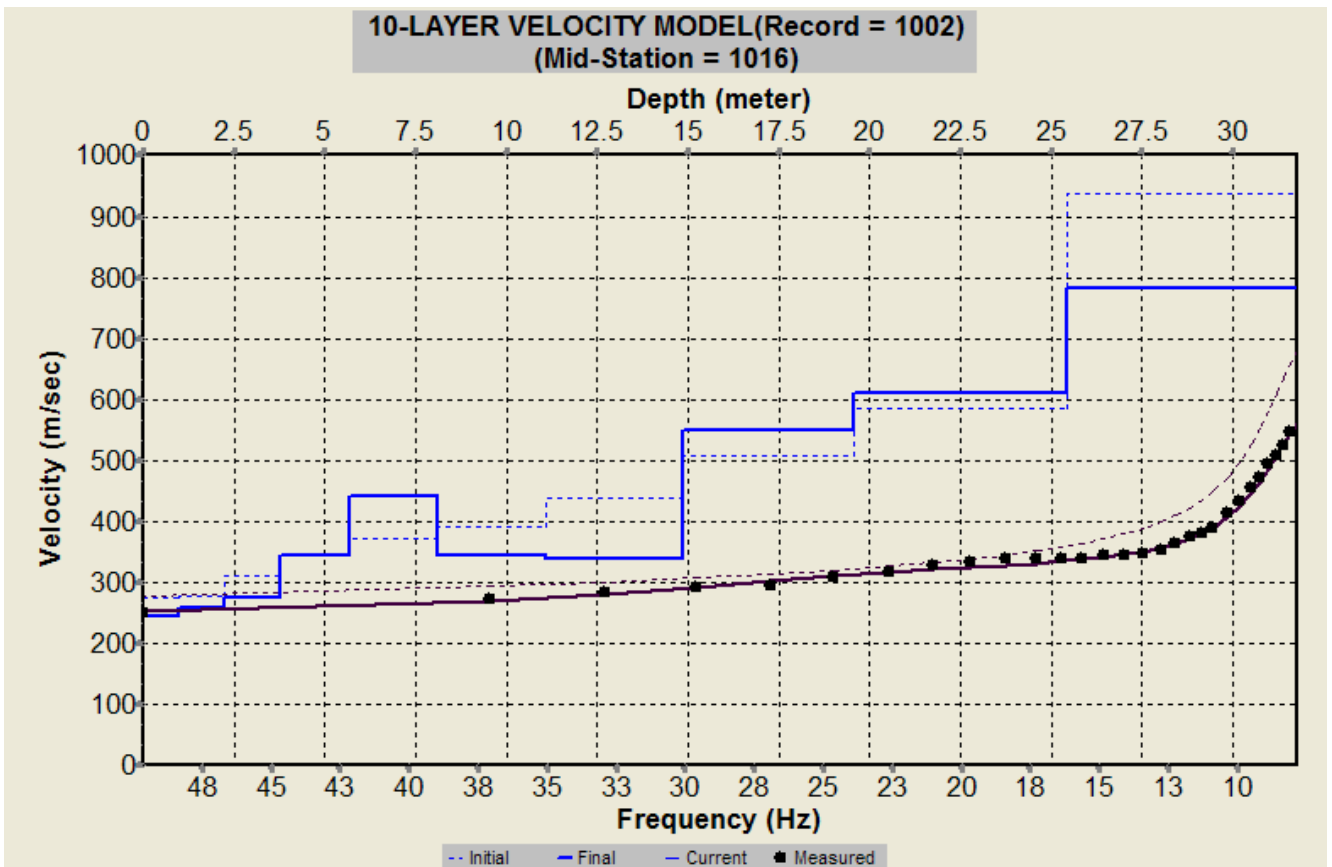


Fig. 27 – Profilo verticale 1D delle V_S ottenuto dall’inversione della curva di dispersione della velocità di fase delle onde superficiali di Rayleigh: MASW n. 1 - acquisizione n. 2.

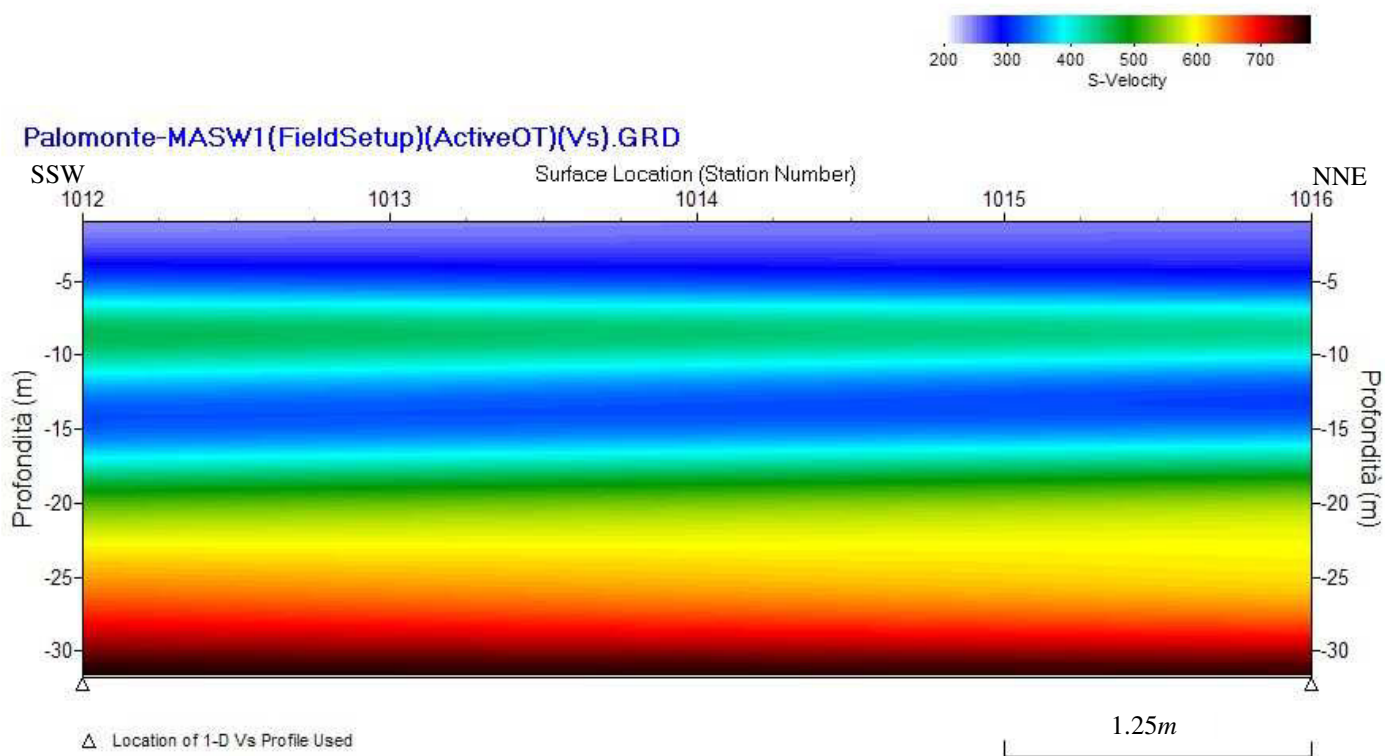


Fig. 28 – Modello sismostratigrafico 2D delle V_s ottenuto dall'indagine Sismica MASW n. 1.

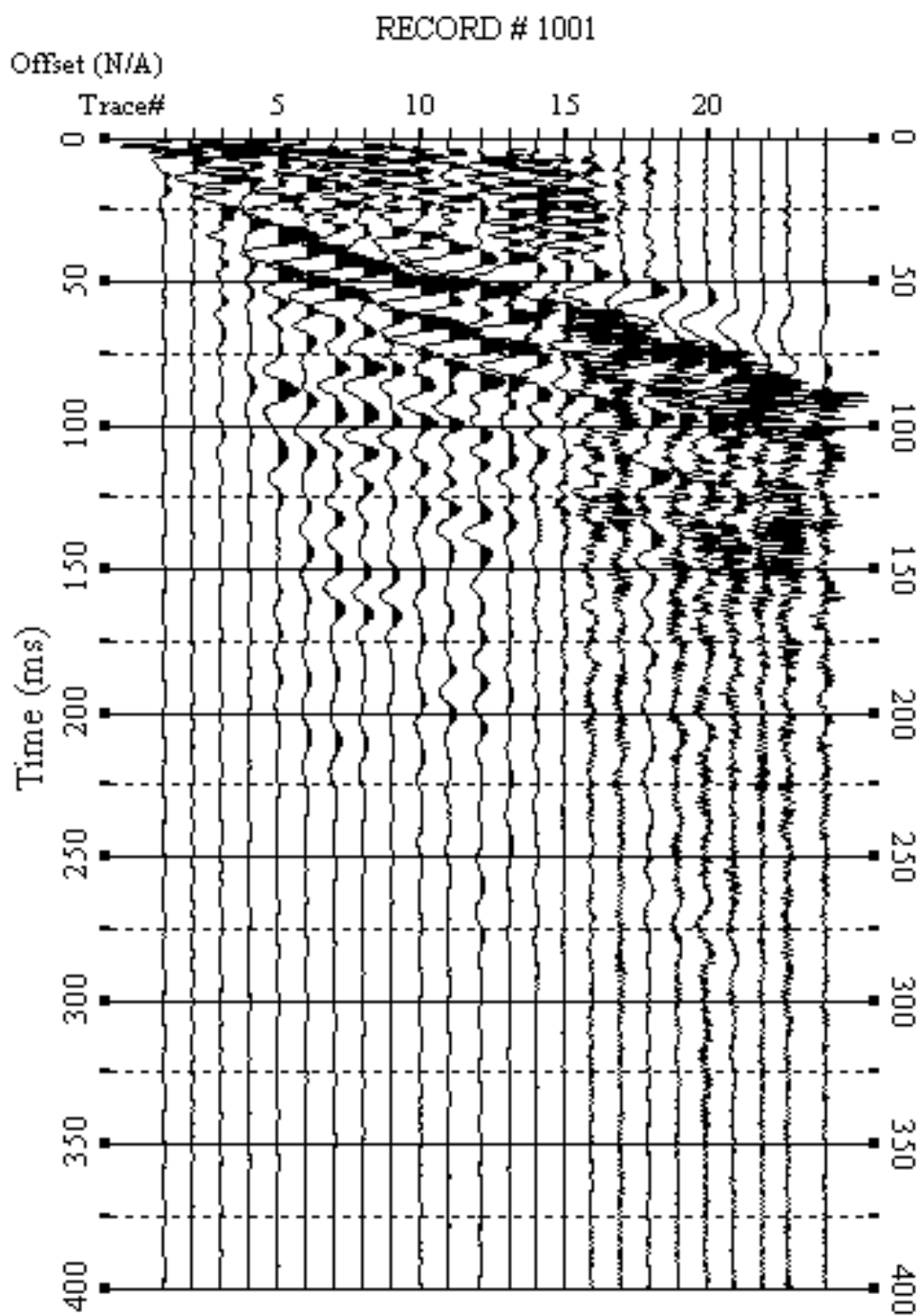


Fig. 29 – Sismogrammi relativi all'indagine Sismica MASW n. 2: acquisizione n. 1. Finestra temporale [0-400]ms.

RECORD # 1002

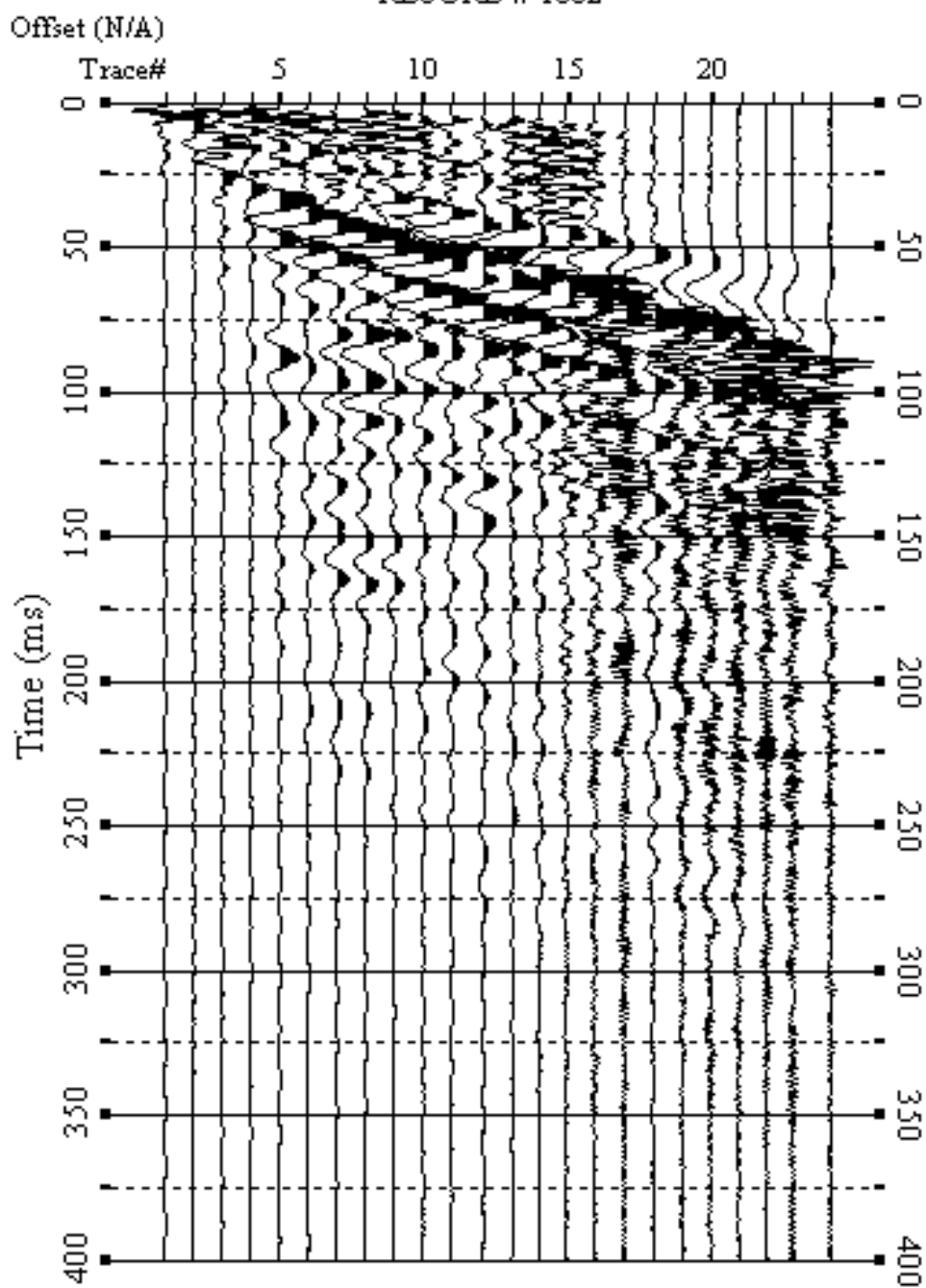


Fig. 30 – Sismogrammi relativi all'indagine Sismica MASW n. 2: acquisizione n. 2. Finestra temporale [0-400]ms.

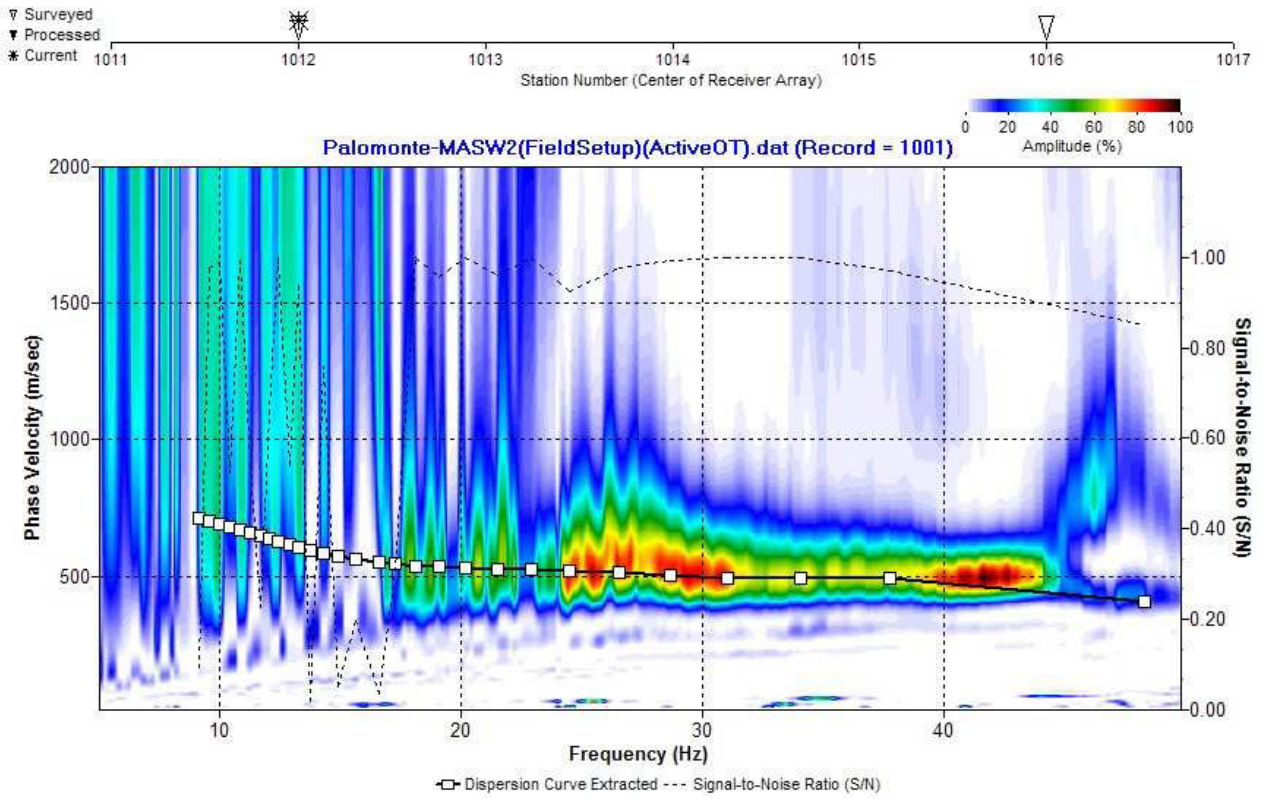


Fig. 31 – Curva di dispersione della velocità di fase delle onde superficiali di Rayleigh ottenuta dall'indagine Sismica MASW n. 2: acquisizione n. 1.

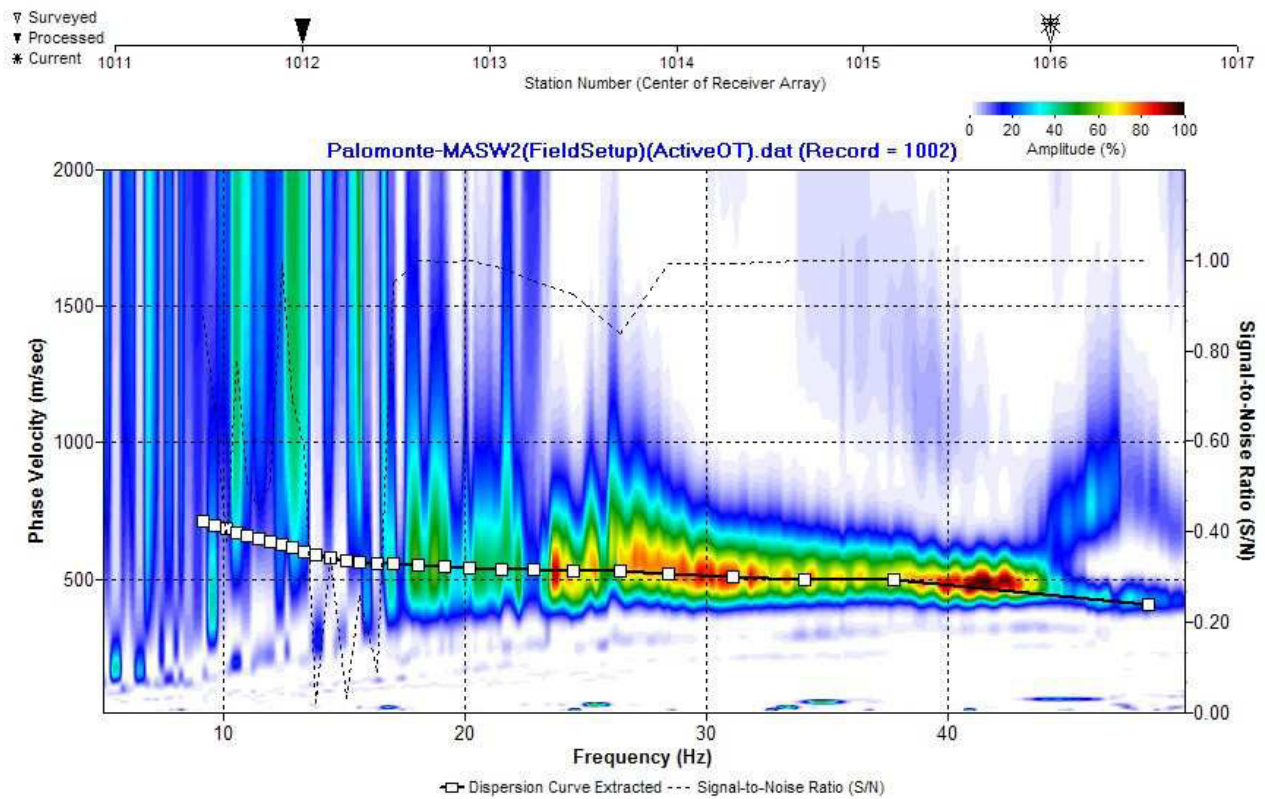


Fig. 32 – Curva di dispersione della velocità di fase delle onde superficiali di Rayleigh ottenuta dall'indagine Sismica MASW n. 2: acquisizione n. 2.

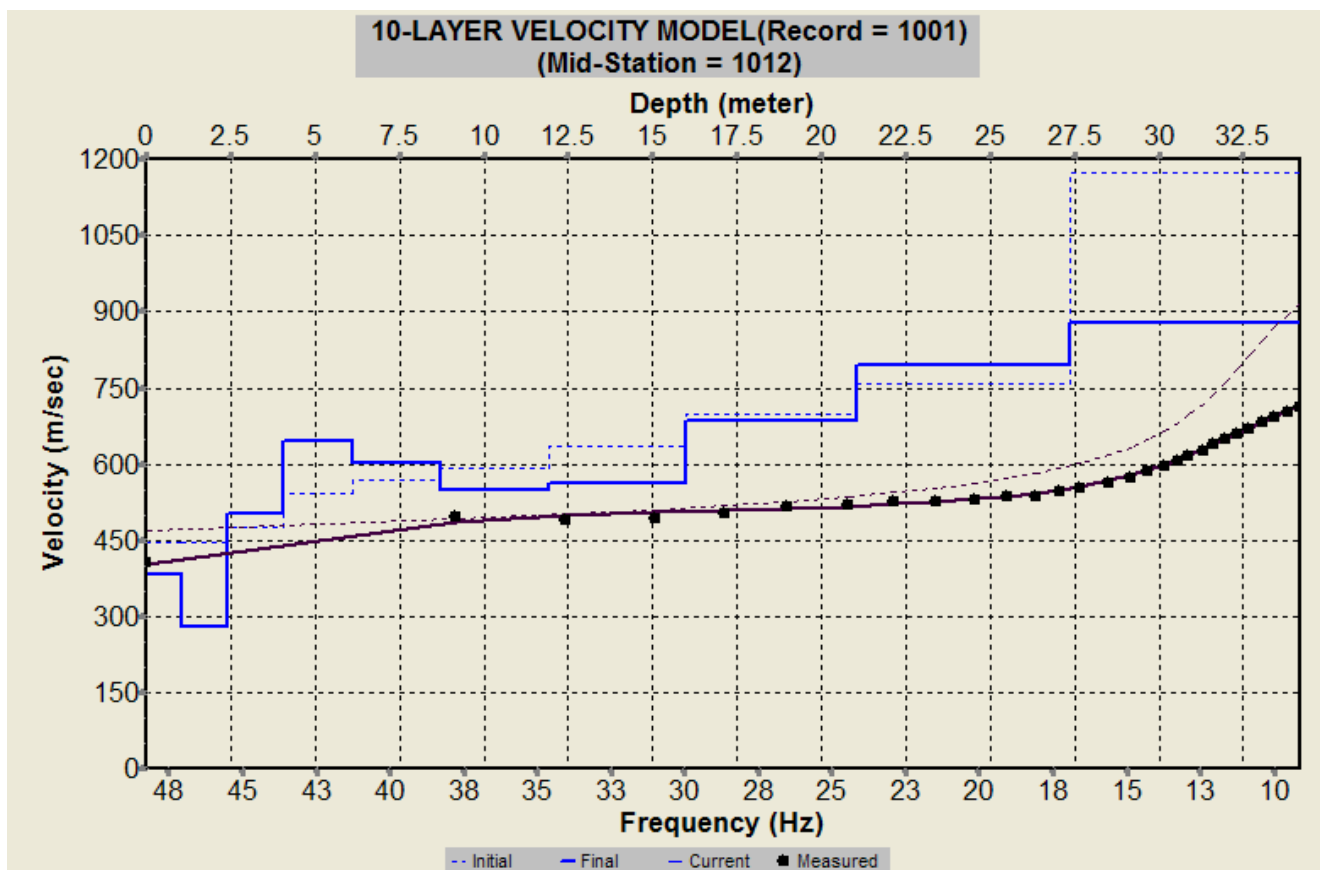


Fig. 33 – Profilo verticale 1D delle V_S ottenuto dall’inversione della curva di dispersione della velocità di fase delle onde superficiali di Rayleigh: MASW n. 2 - acquisizione n. 1.

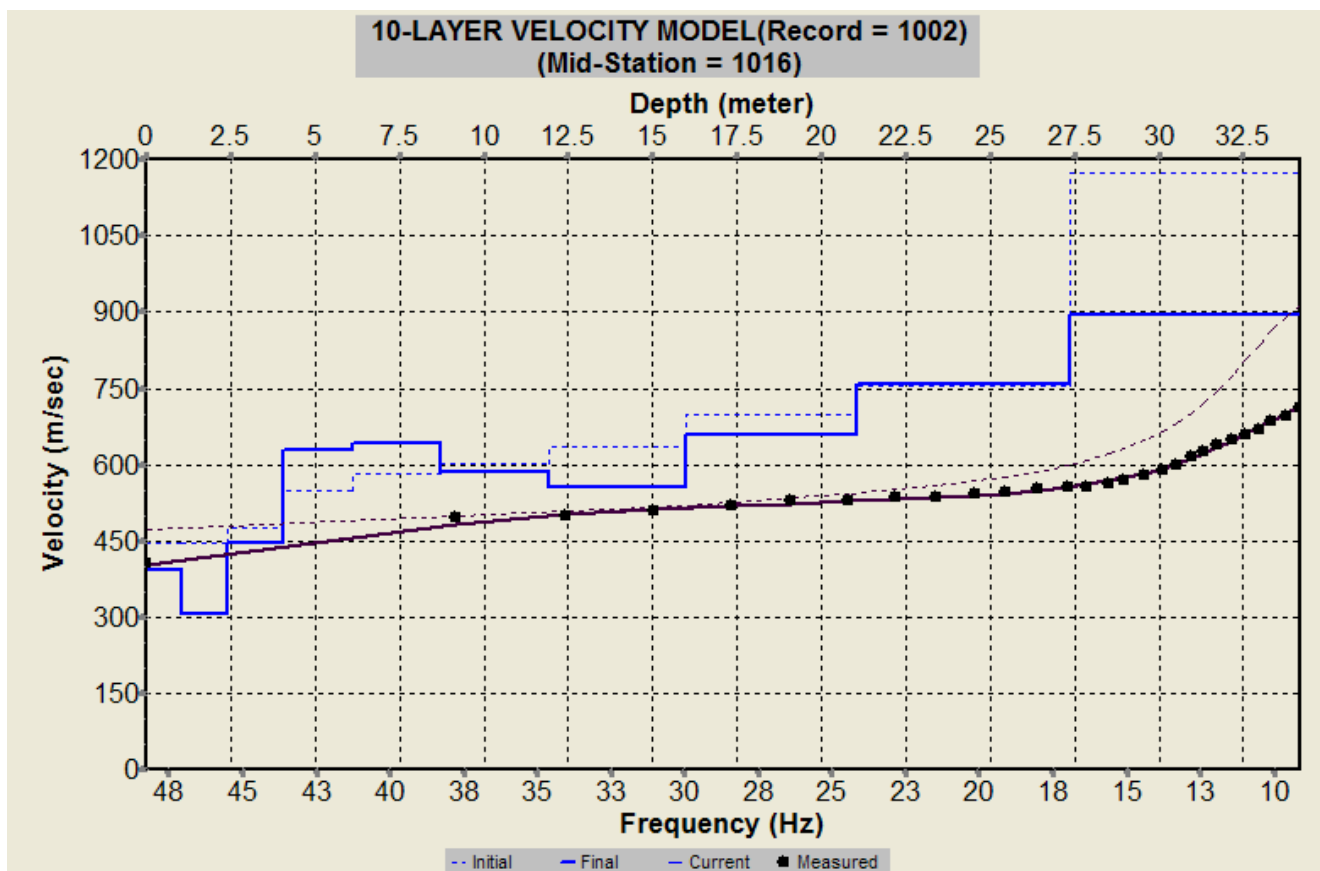


Fig. 34 – Profilo verticale 1D delle V_S ottenuto dall’inversione della curva di dispersione della velocità di fase delle onde superficiali di Rayleigh: MASW n. 2 - acquisizione n. 2.

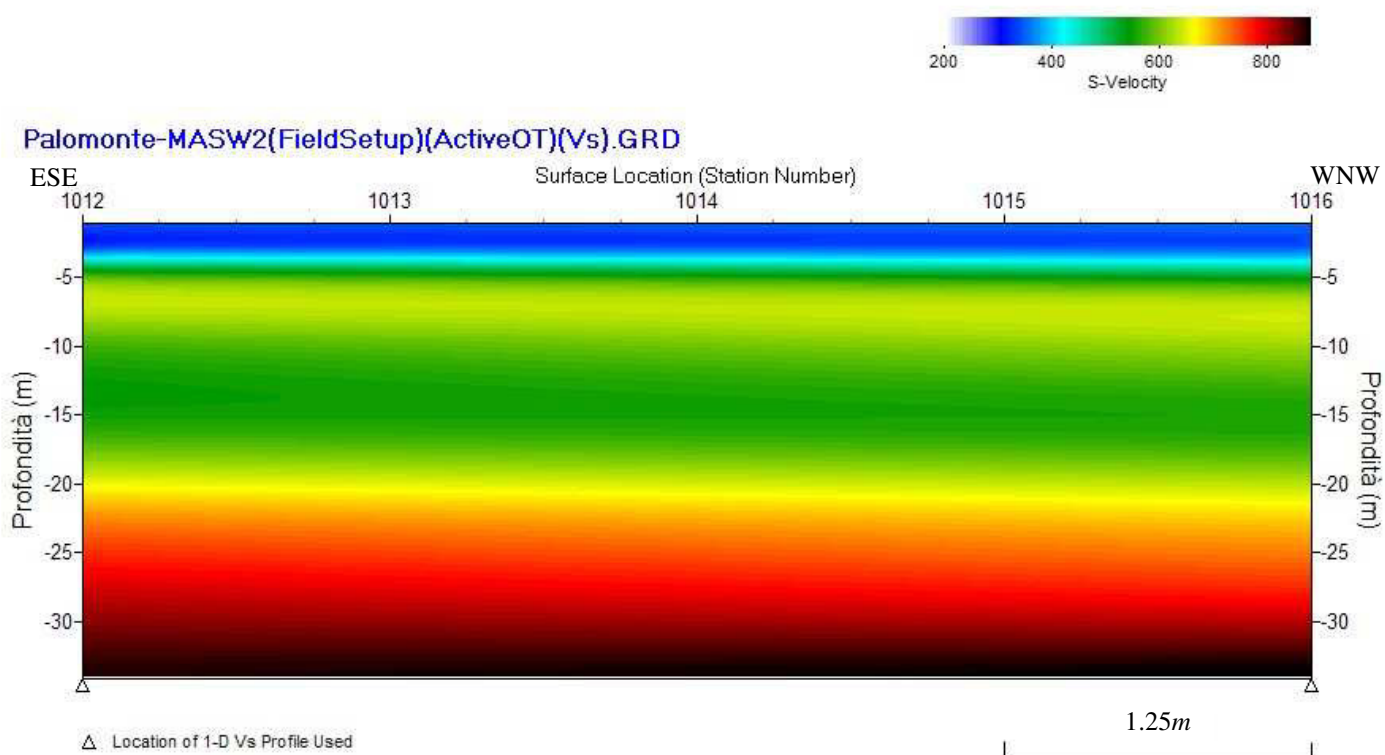


Fig. 35 – Modello sismostratigrafico 2D delle V_s ottenuto dall'indagine Sismica MASW n. 2.

RECORD # 1001

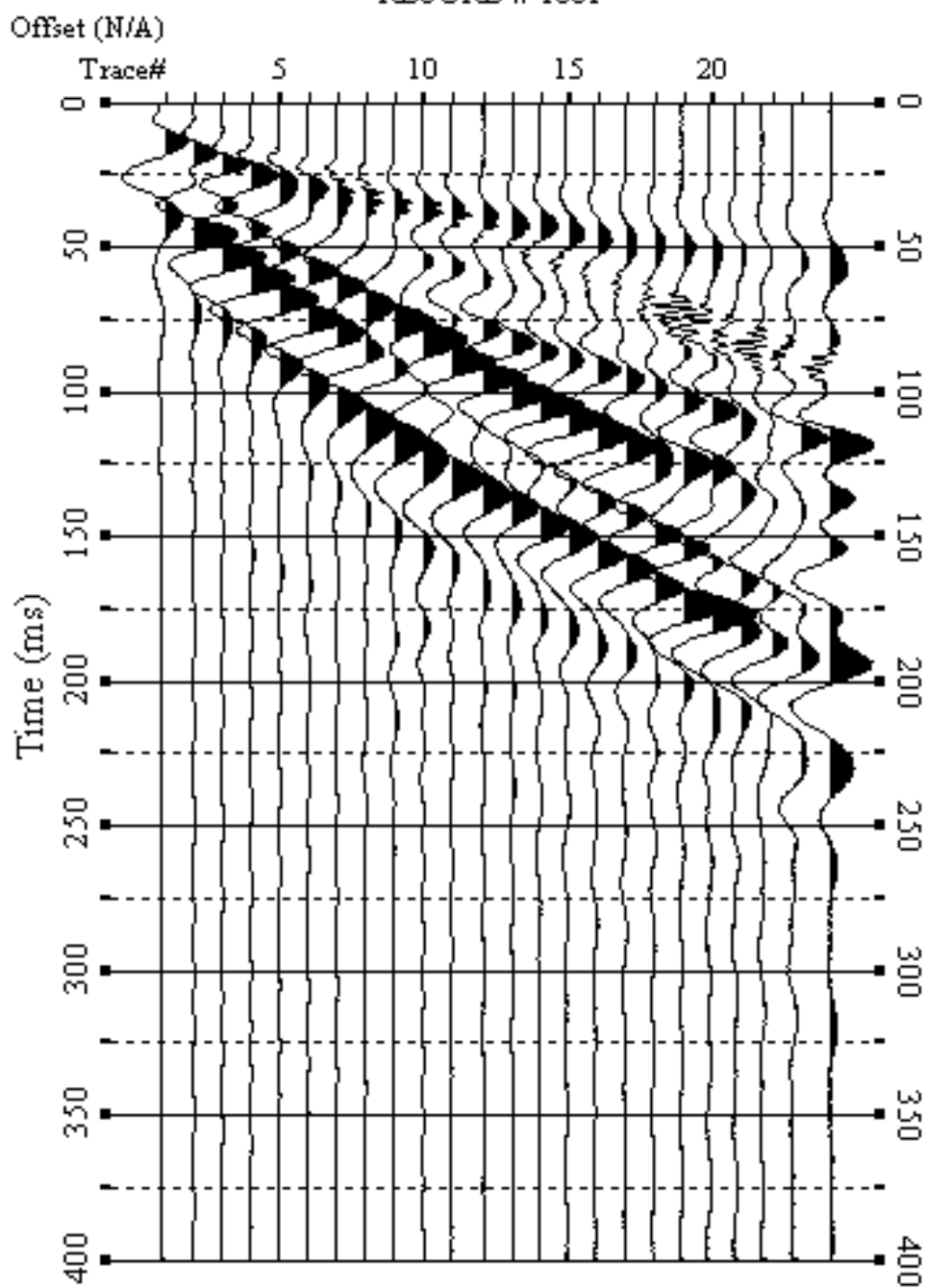


Fig. 36 – Sismogrammi relativi all’indagine Sismica MASW n. 3: acquisizione n. 1. Finestra temporale [0-400]ms.

RECORD # 1002

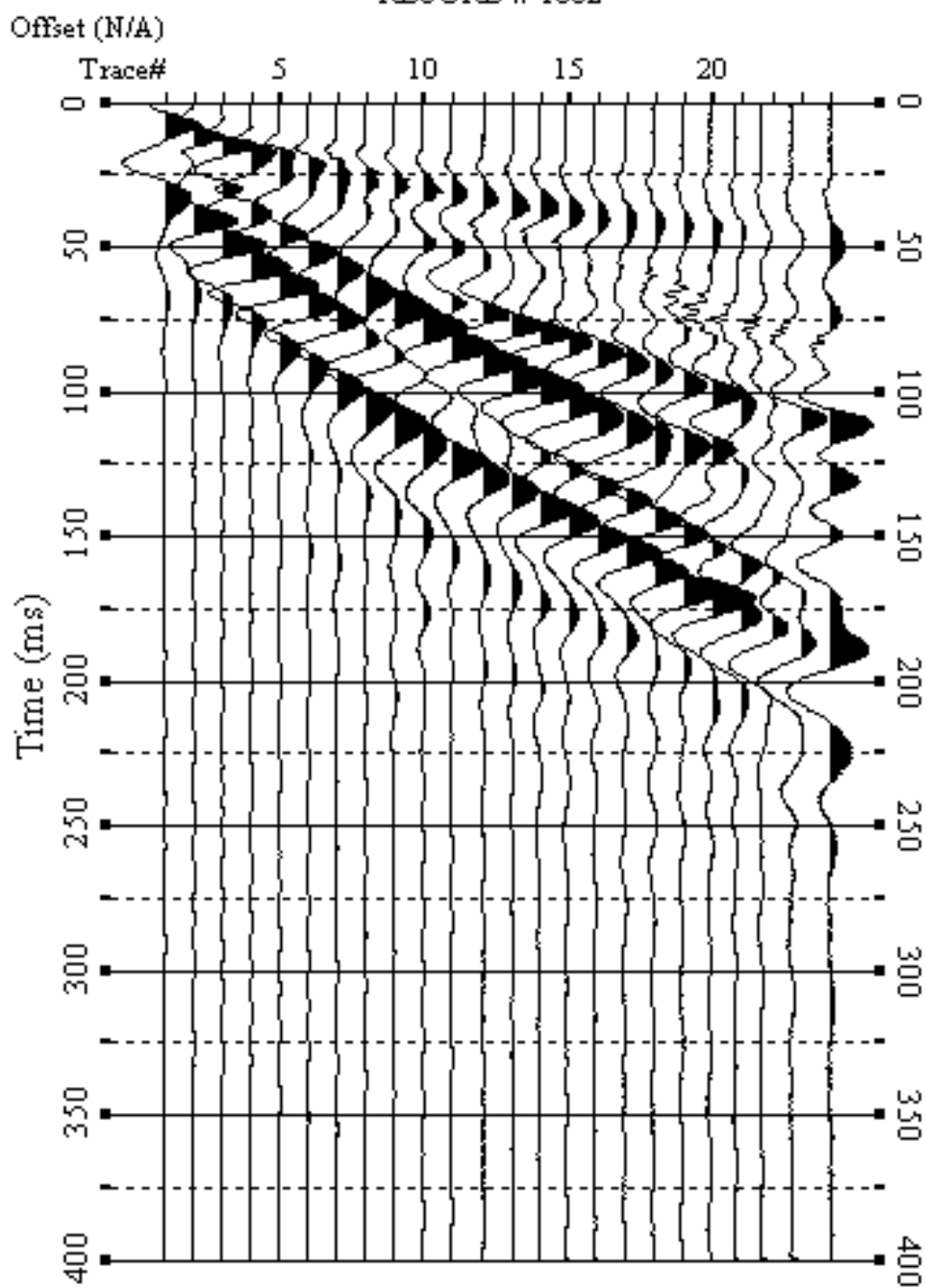


Fig. 37 – Sismogrammi relativi all'indagine Sismica MASW n. 3: acquisizione n. 2. Finestra temporale [0-400]ms.

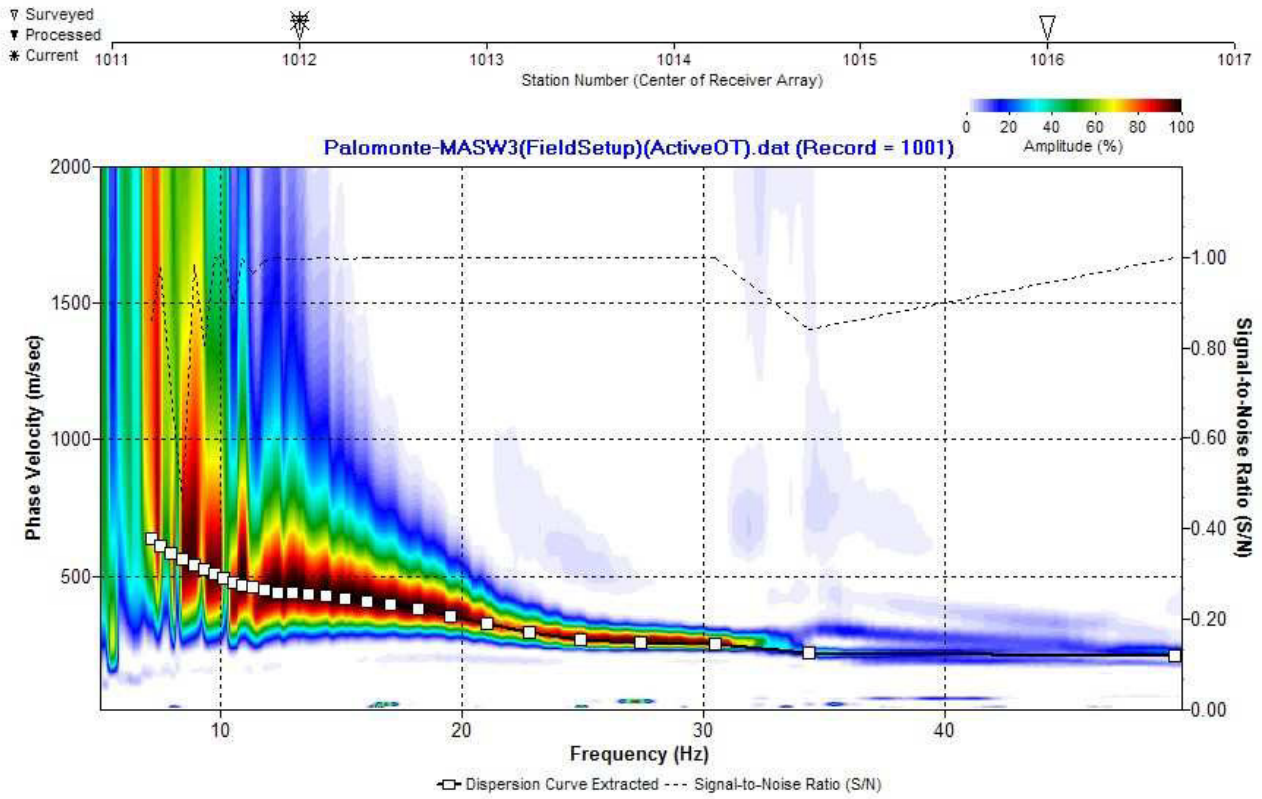


Fig. 38 – Curva di dispersione della velocità di fase delle onde superficiali di Rayleigh ottenuta dall'indagine Sismica MASW n. 3: acquisizione n. 1.

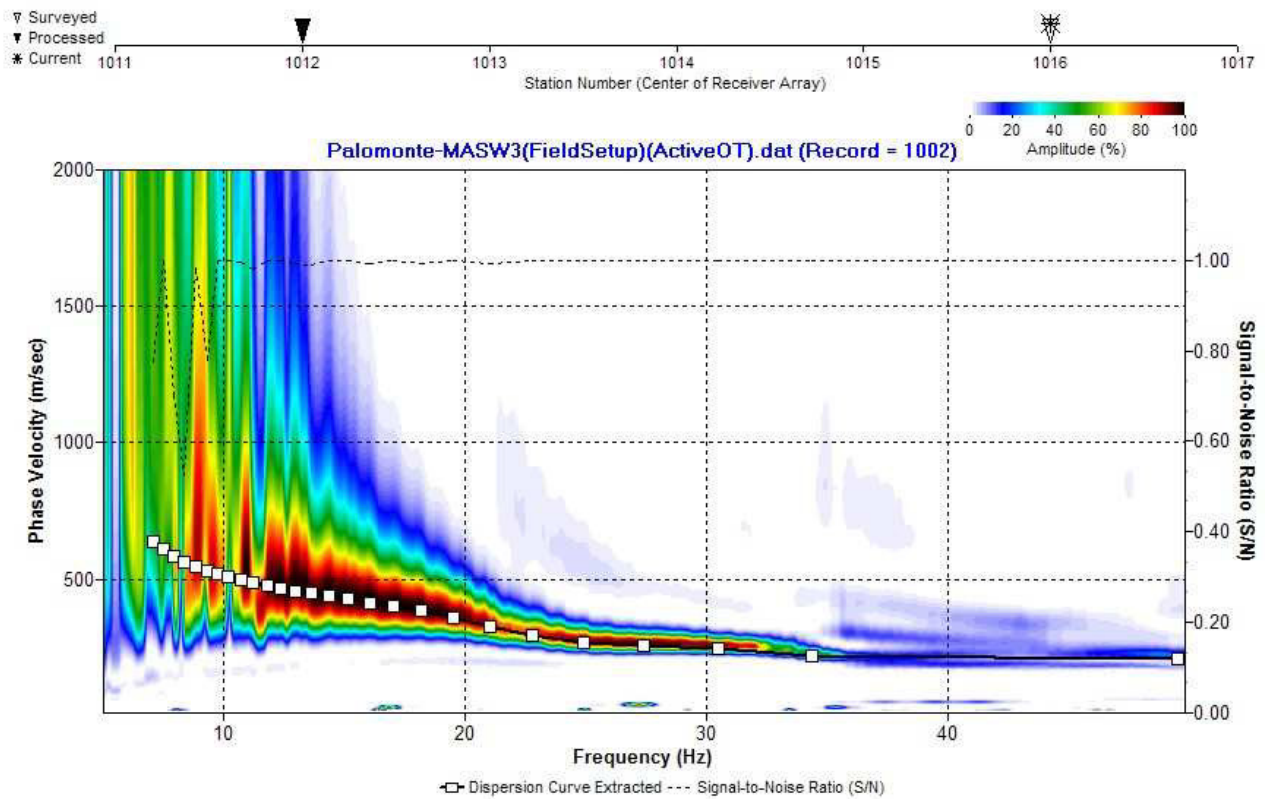


Fig. 39 – Curva di dispersione della velocità di fase delle onde superficiali di Rayleigh ottenuta dall'indagine Sismica MASW n. 3: acquisizione n. 2.

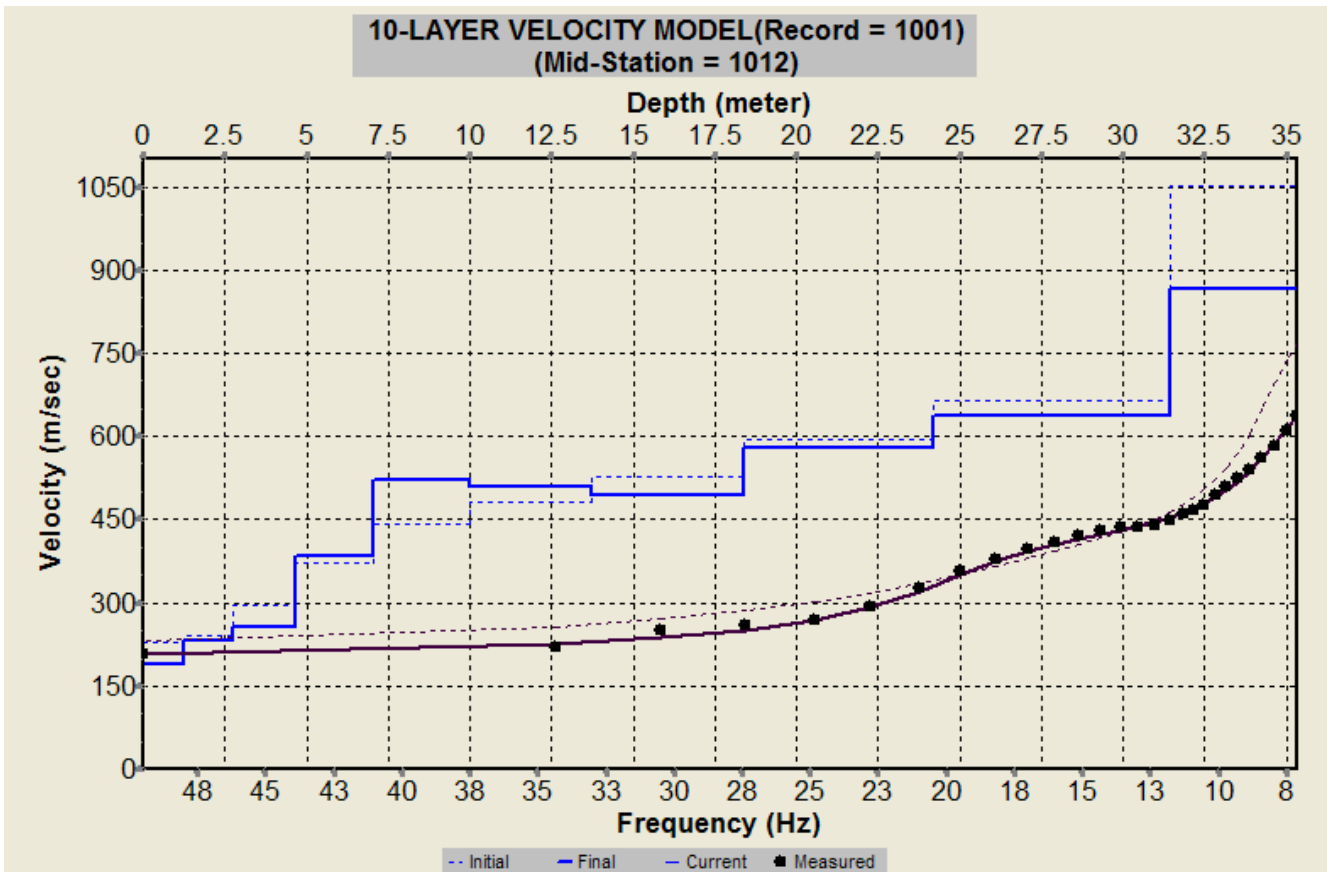


Fig. 40 – Profilo verticale 1D delle V_s ottenuto dall’inversione della curva di dispersione della velocità di fase delle onde superficiali di Rayleigh: MASW n. 3 - acquisizione n. 1.

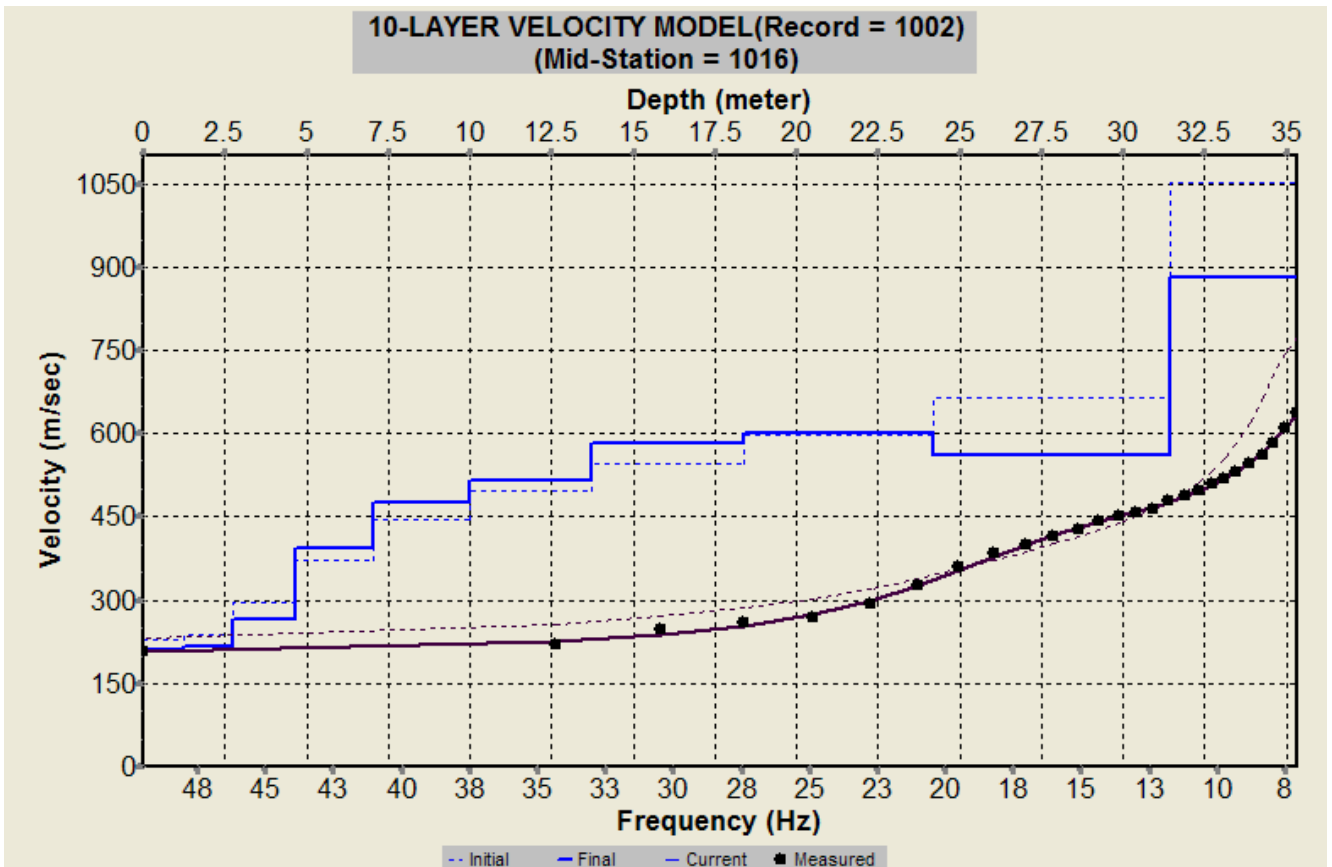


Fig. 41 – Profilo verticale 1D delle V_s ottenuto dall’inversione della curva di dispersione della velocità di fase delle onde superficiali di Rayleigh: MASW n. 3 - acquisizione n. 2.

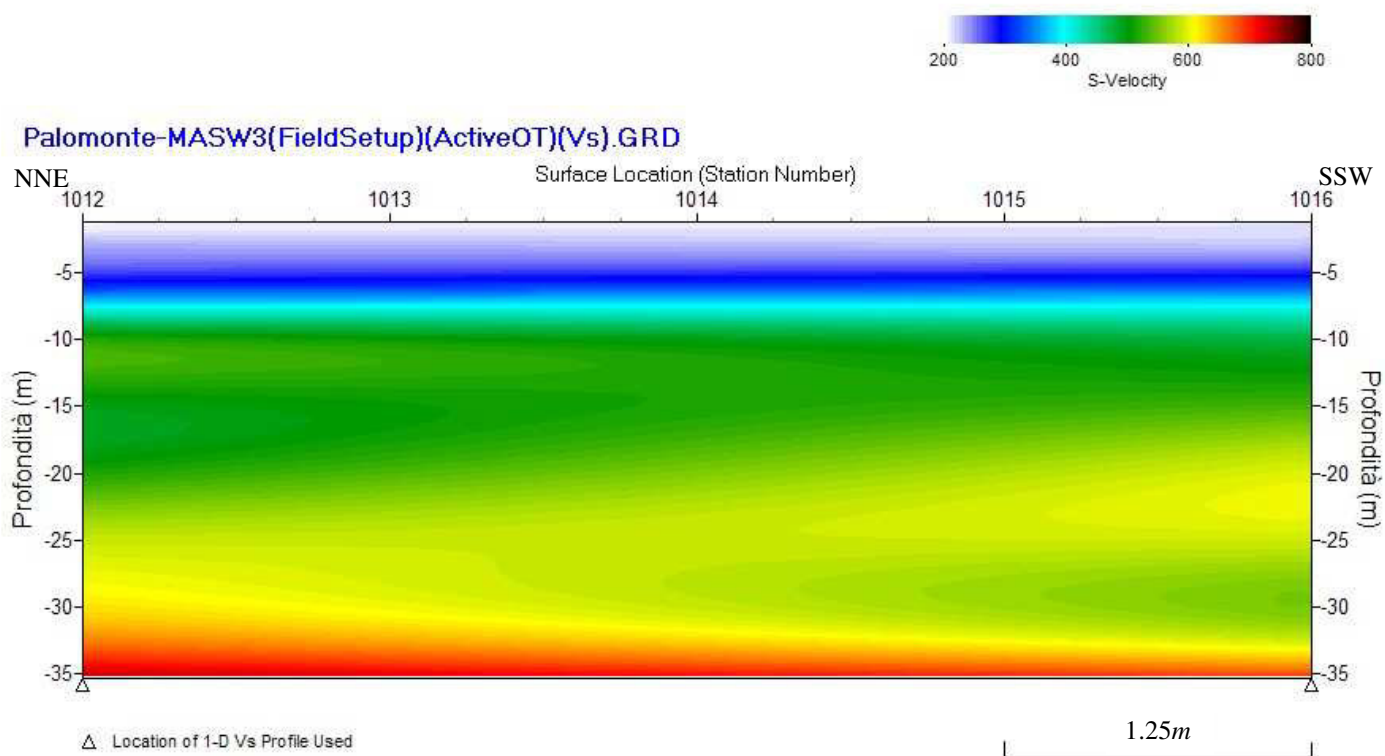


Fig. 42 – Modello sismostratigrafico 2D delle V_s ottenuto dall'indagine Sismica MASW n. 3.

RECORD # 1001

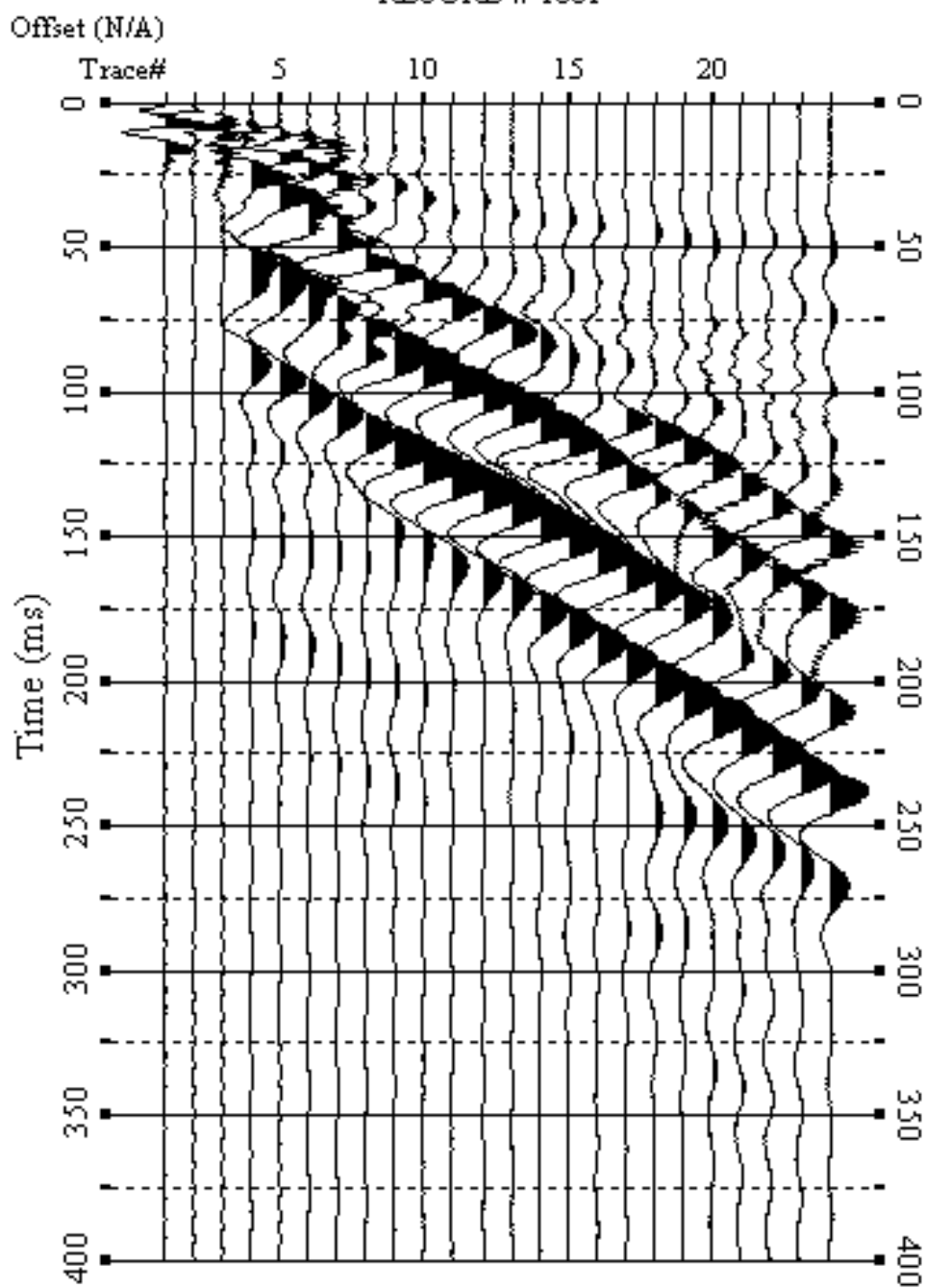


Fig. 43 – Sismogrammi relativi all’indagine Sismica MASW n. 4: acquisizione n. 1. Finestra temporale [0-400]ms.

RECORD # 1002

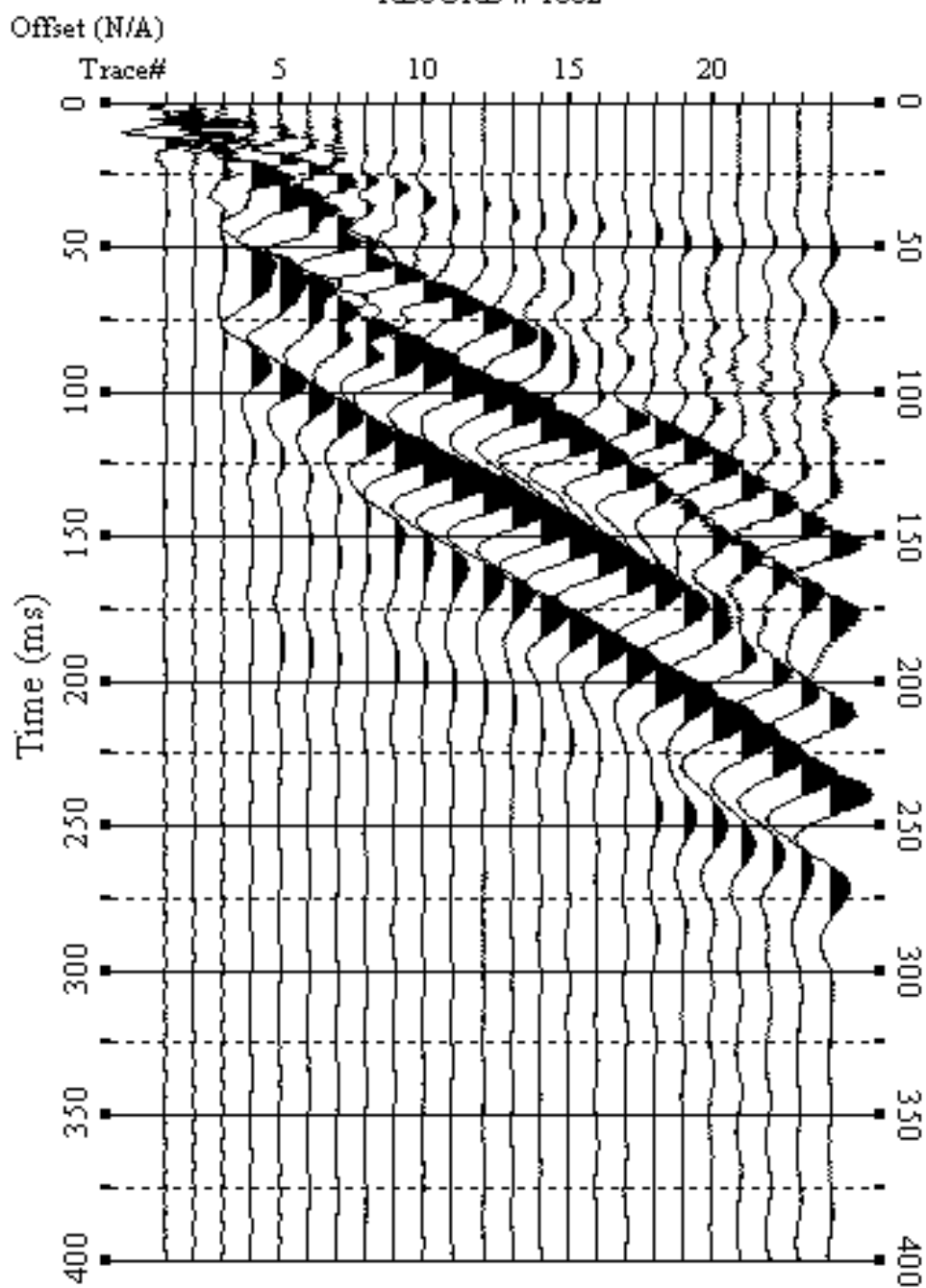


Fig. 44 – Sismogrammi relativi all’indagine Sismica MASW n. 4: acquisizione n. 2. Finestra temporale [0-400]ms.

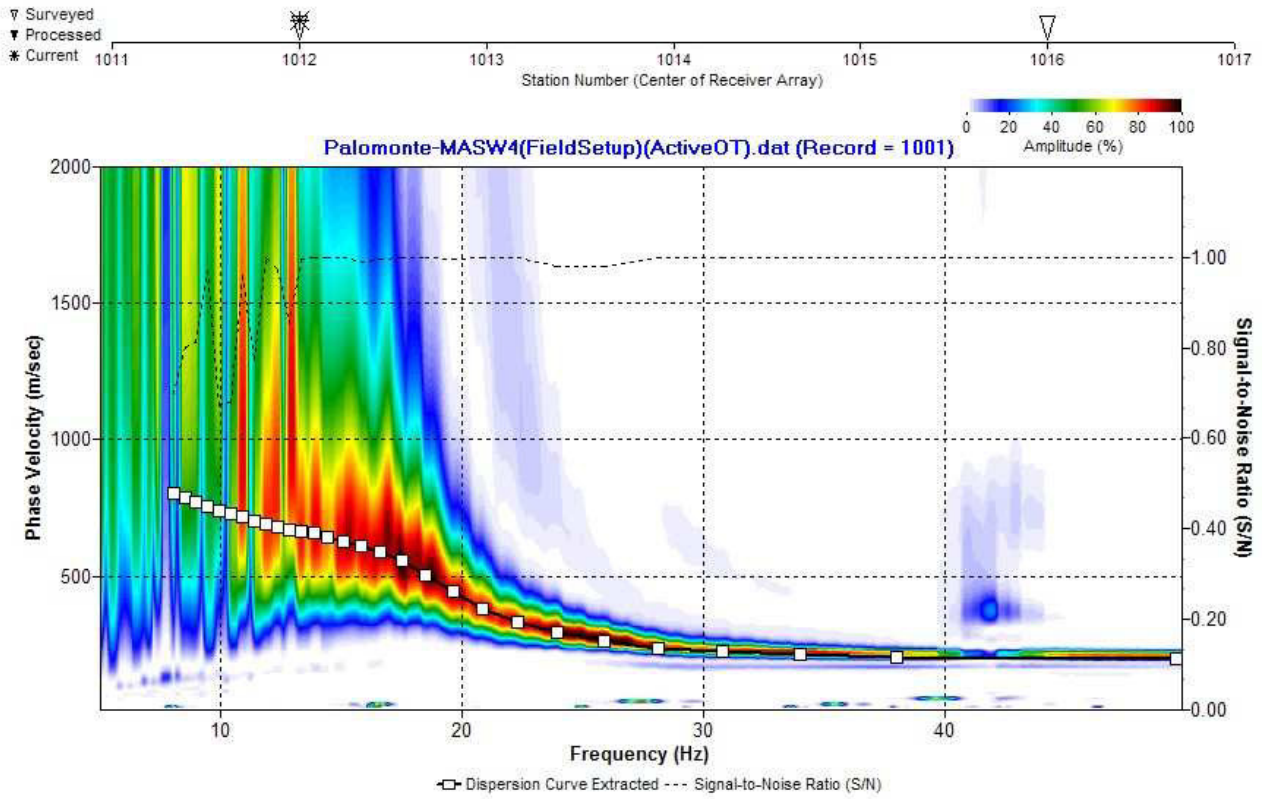


Fig. 45 – Curva di dispersione della velocità di fase delle onde superficiali di Rayleigh ottenuta dall'indagine Sismica MASW n. 4: acquisizione n. 1.

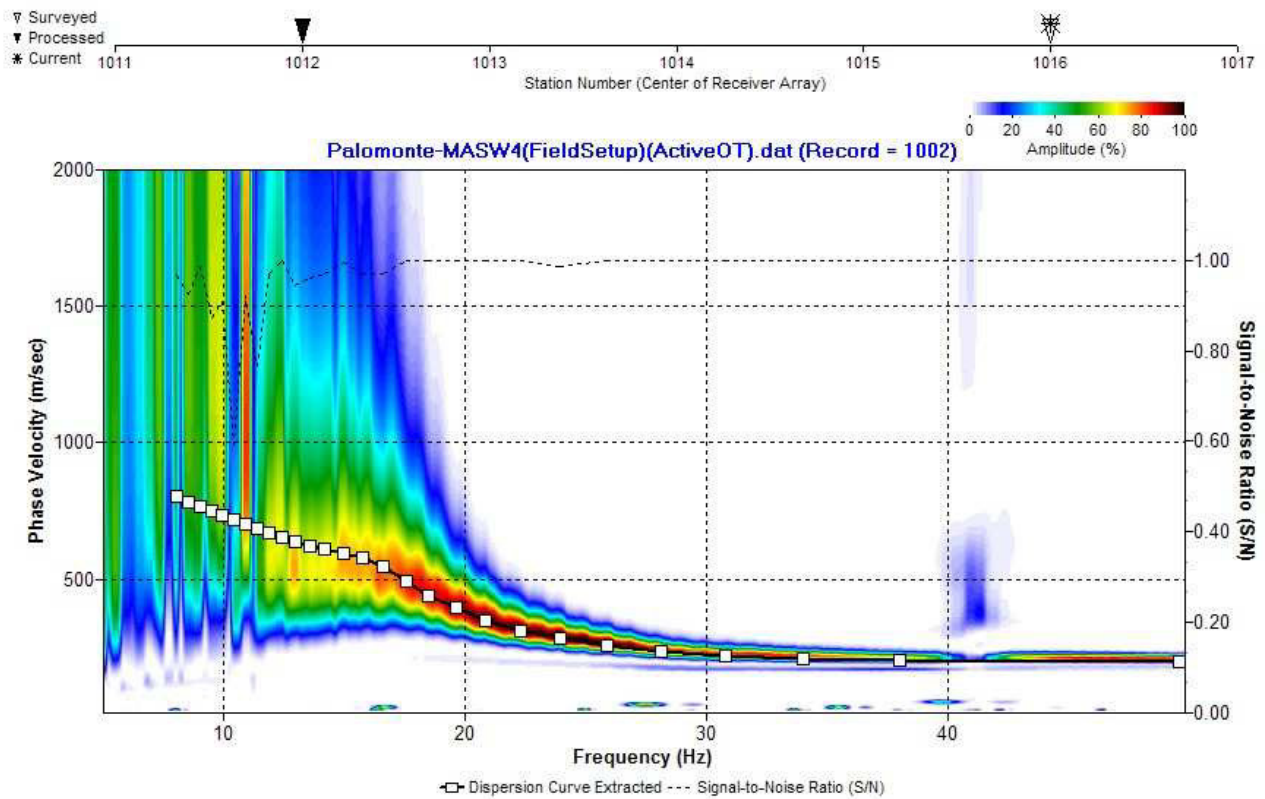


Fig. 46 – Curva di dispersione della velocità di fase delle onde superficiali di Rayleigh ottenuta dall'indagine Sismica MASW n. 4: acquisizione n. 2.

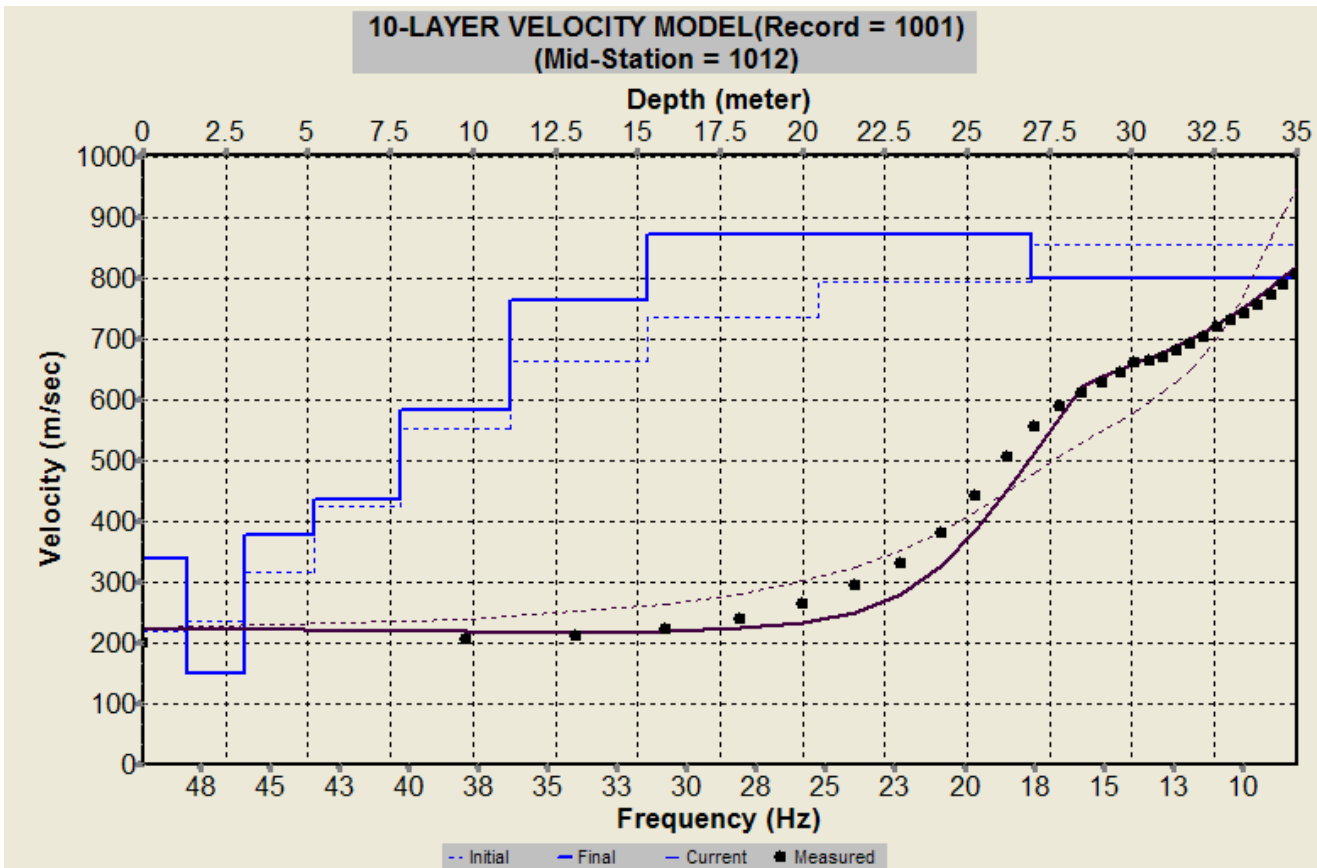


Fig. 47 – Profilo verticale 1D delle V_S ottenuto dall’inversione della curva di dispersione della velocità di fase delle onde superficiali di Rayleigh: MASW n. 4 - acquisizione n. 1.

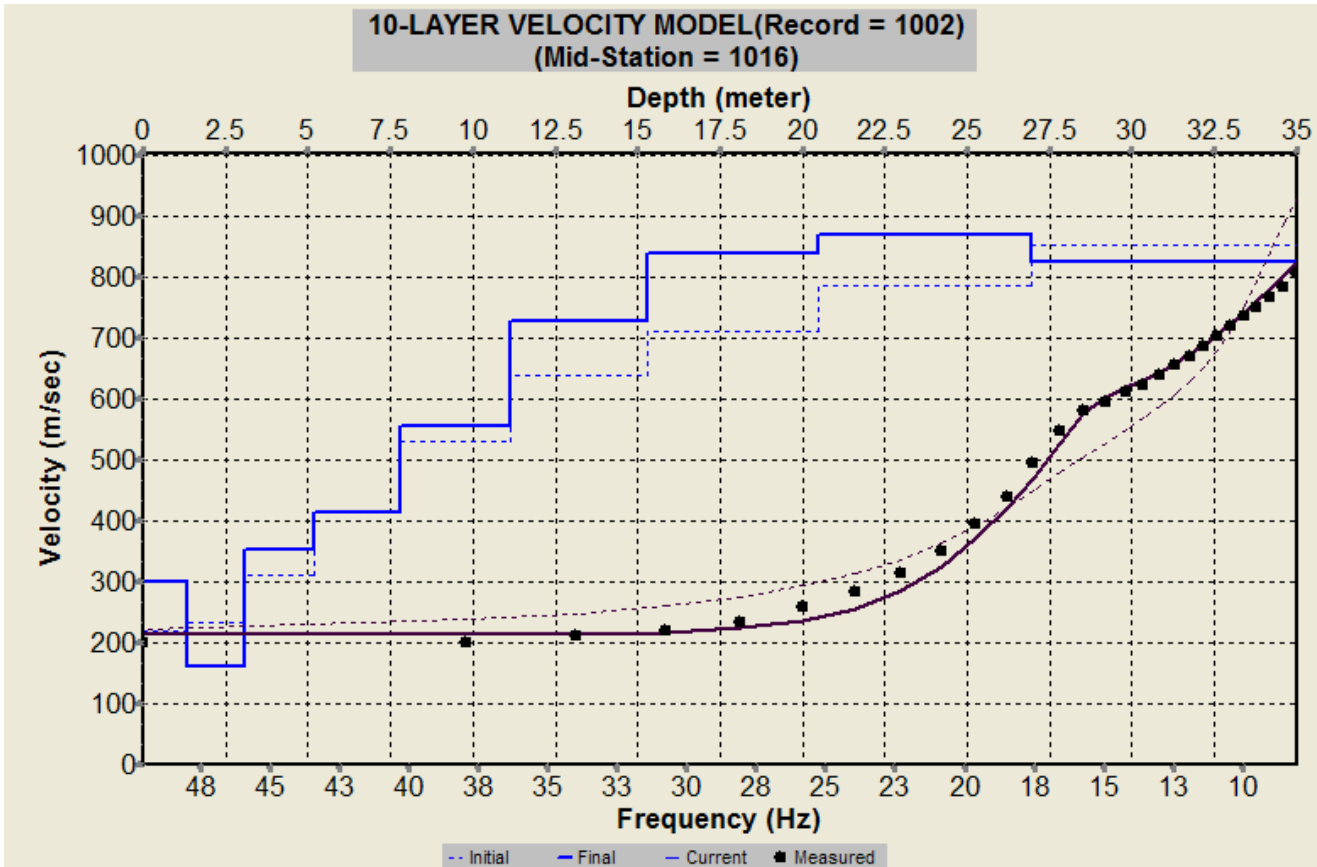


Fig. 48 – Profilo verticale 1D delle V_S ottenuto dall’inversione della curva di dispersione della velocità di fase delle onde superficiali di Rayleigh: MASW n. 4 - acquisizione n. 2.

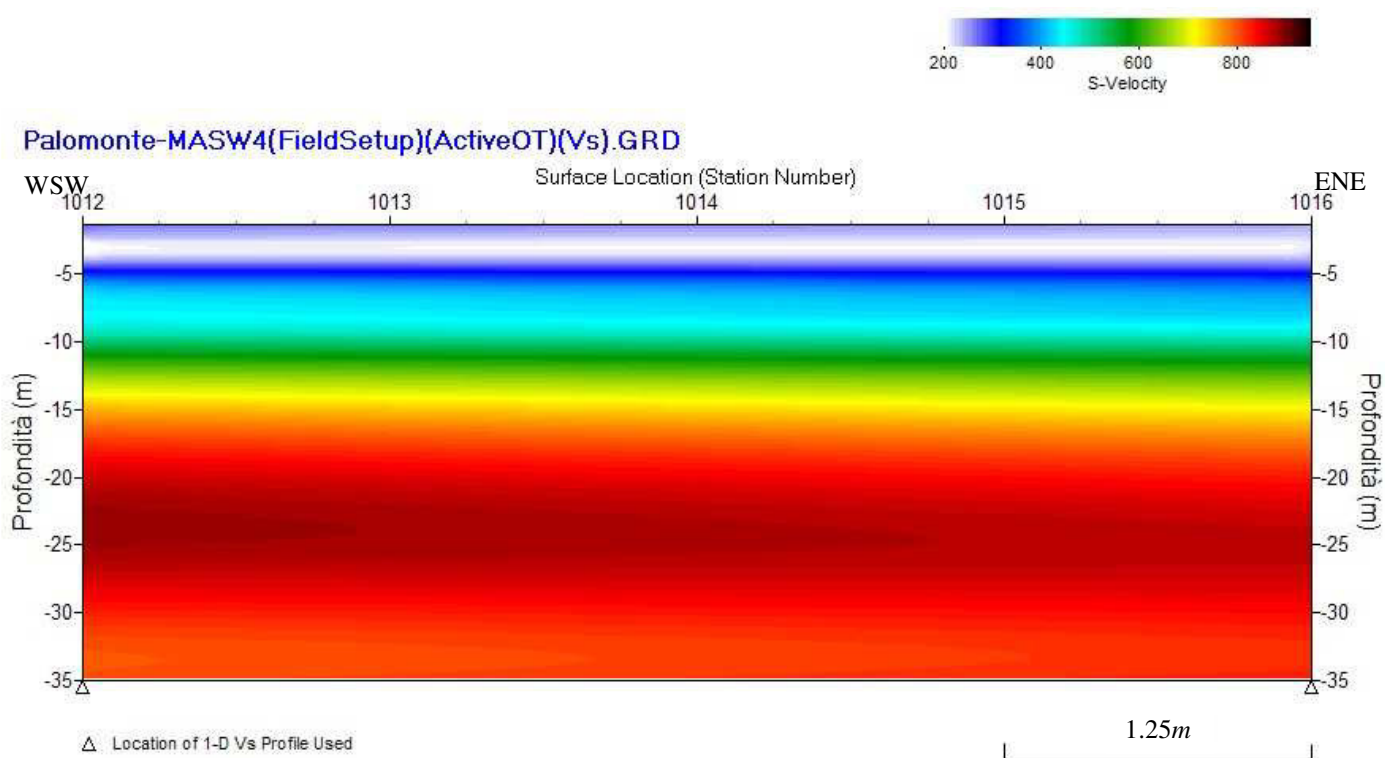


Fig. 49 – Modello sismostratigrafico 2D delle V_s ottenuto dall'indagine Sismica MASW n. 4.

RECORD # 1001

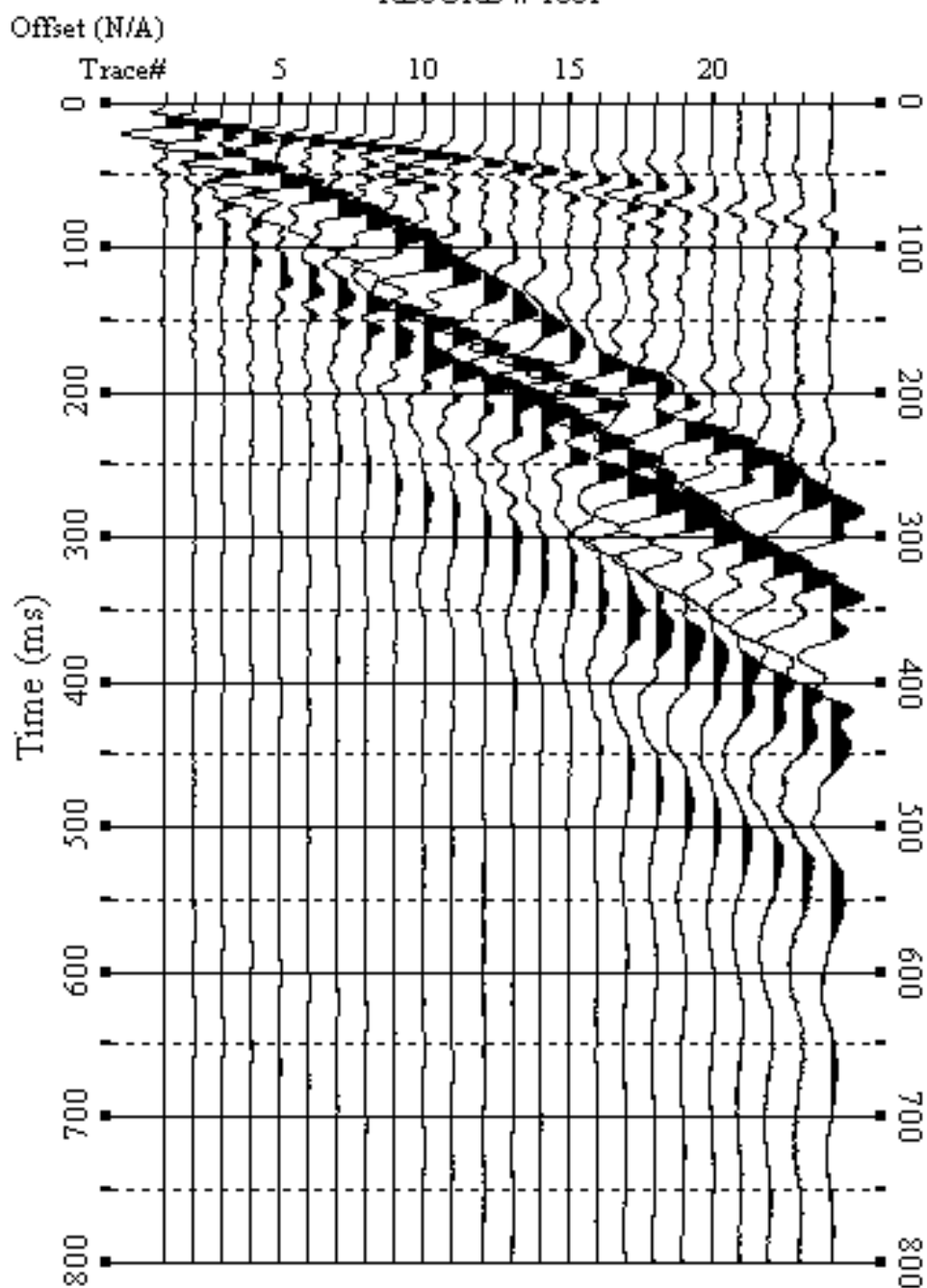


Fig. 50 – Sismogrammi relativi all’indagine Sismica MASW n. 5: acquisizione n. 1. Finestra temporale [0-800]ms.

RECORD # 1002

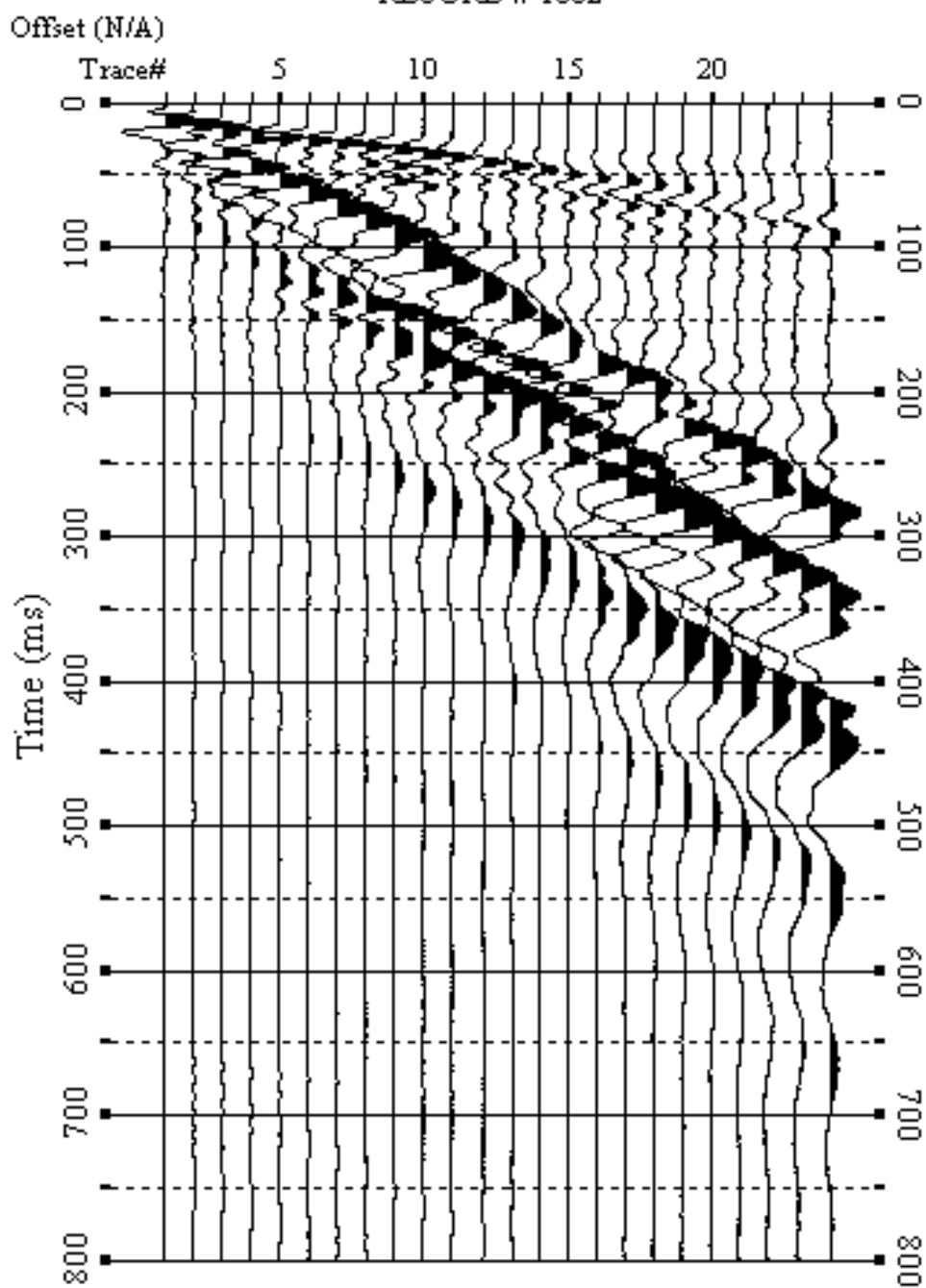


Fig. 51 – Sismogrammi relativi all’indagine Sismica MASW n. 5: acquisizione n. 2. Finestra temporale [0-800]ms.

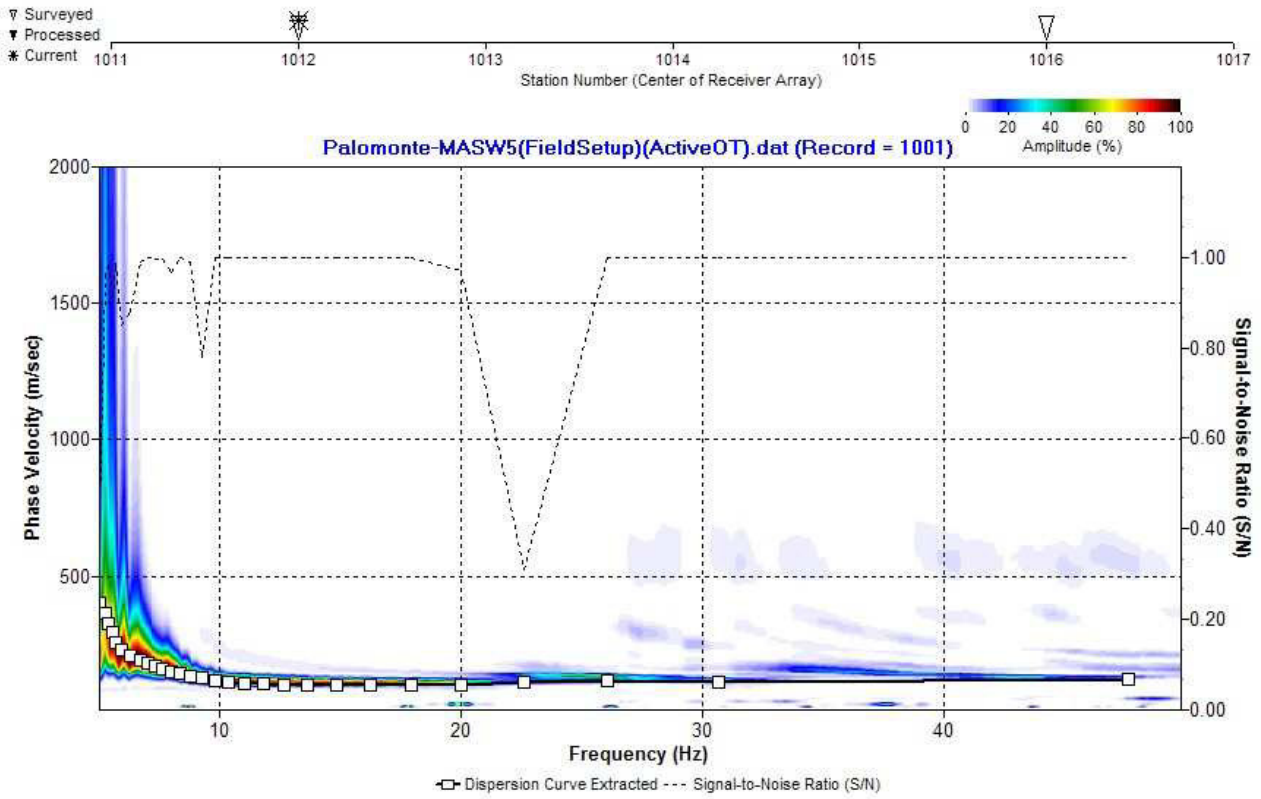


Fig. 52 – Curva di dispersione della velocità di fase delle onde superficiali di Rayleigh ottenuta dall'indagine Sismica MASW n. 5: acquisizione n. 1.

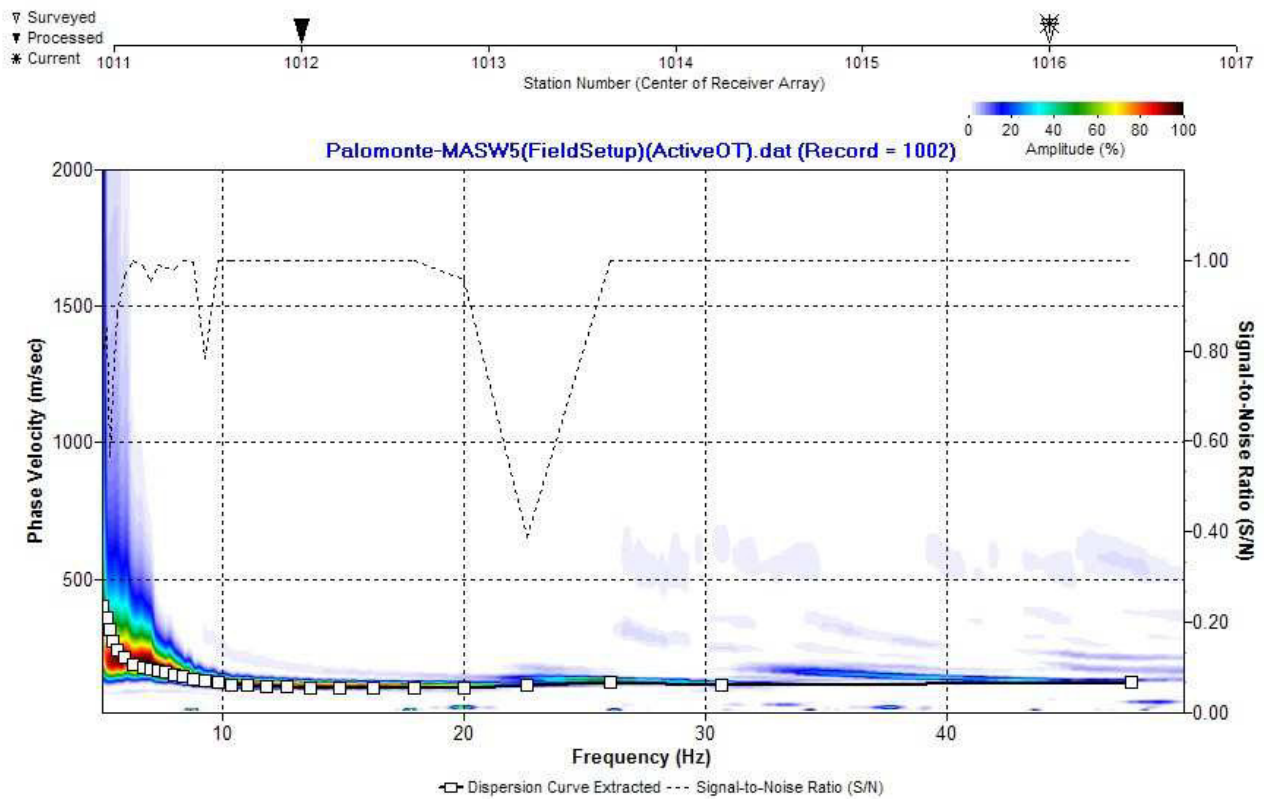


Fig. 53 – Curva di dispersione della velocità di fase delle onde superficiali di Rayleigh ottenuta dall'indagine Sismica MASW n. 5: acquisizione n. 2.

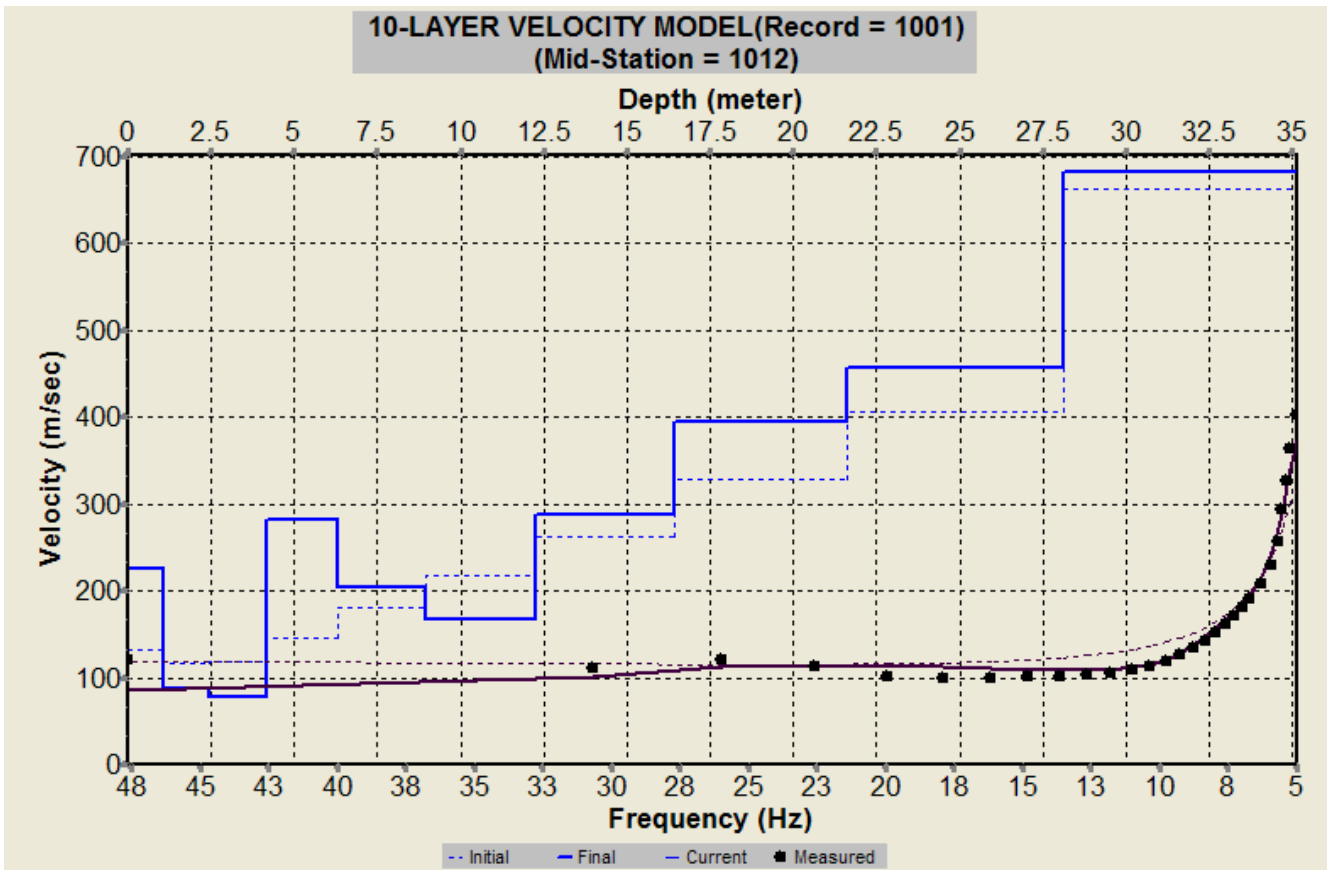


Fig. 54 – Profilo verticale 1D delle V_S ottenuto dall’inversione della curva di dispersione della velocità di fase delle onde superficiali di Rayleigh: MASW n. 5 - acquisizione n. 1.

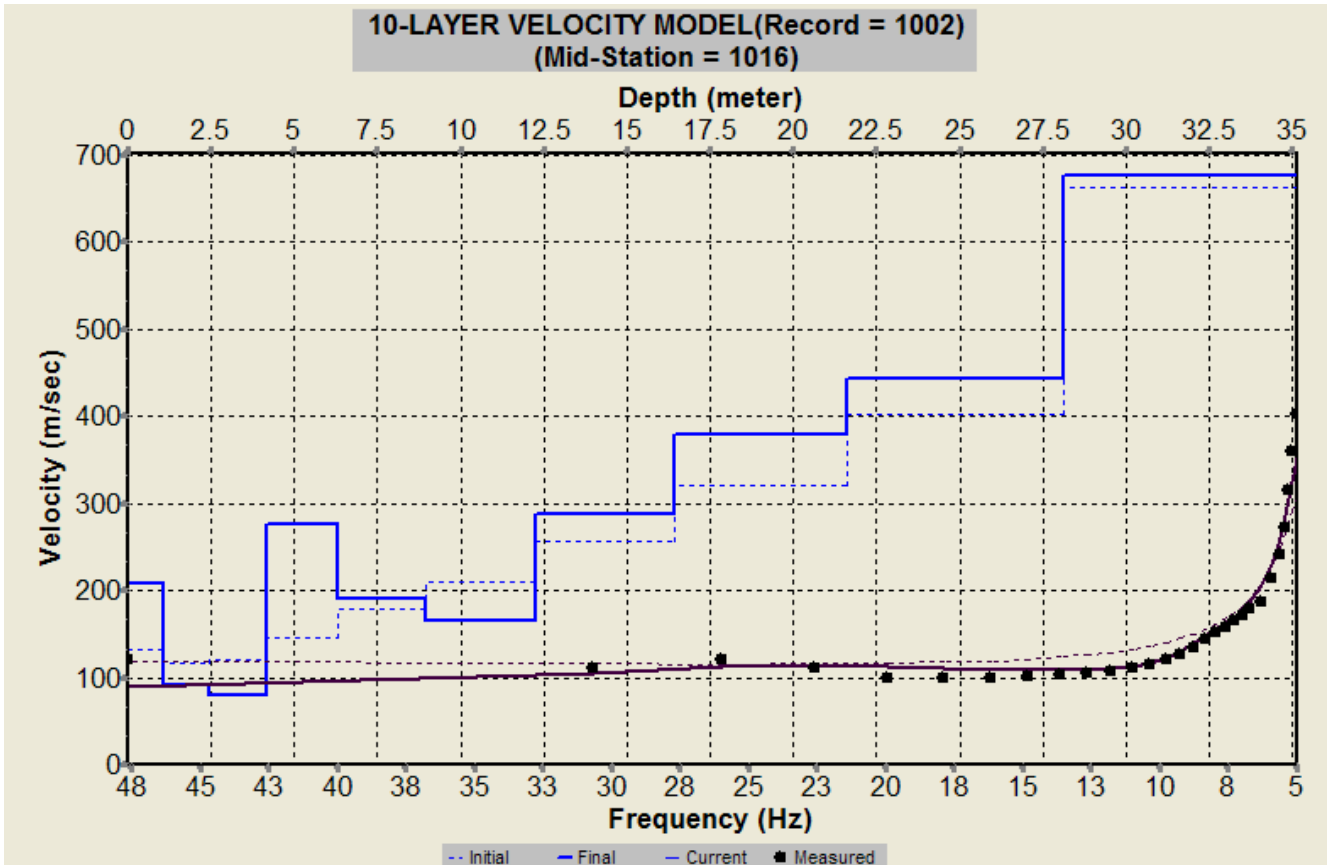


Fig. 55 – Profilo verticale 1D delle V_S ottenuto dall’inversione della curva di dispersione della velocità di fase delle onde superficiali di Rayleigh: MASW n. 5 - acquisizione n. 2.

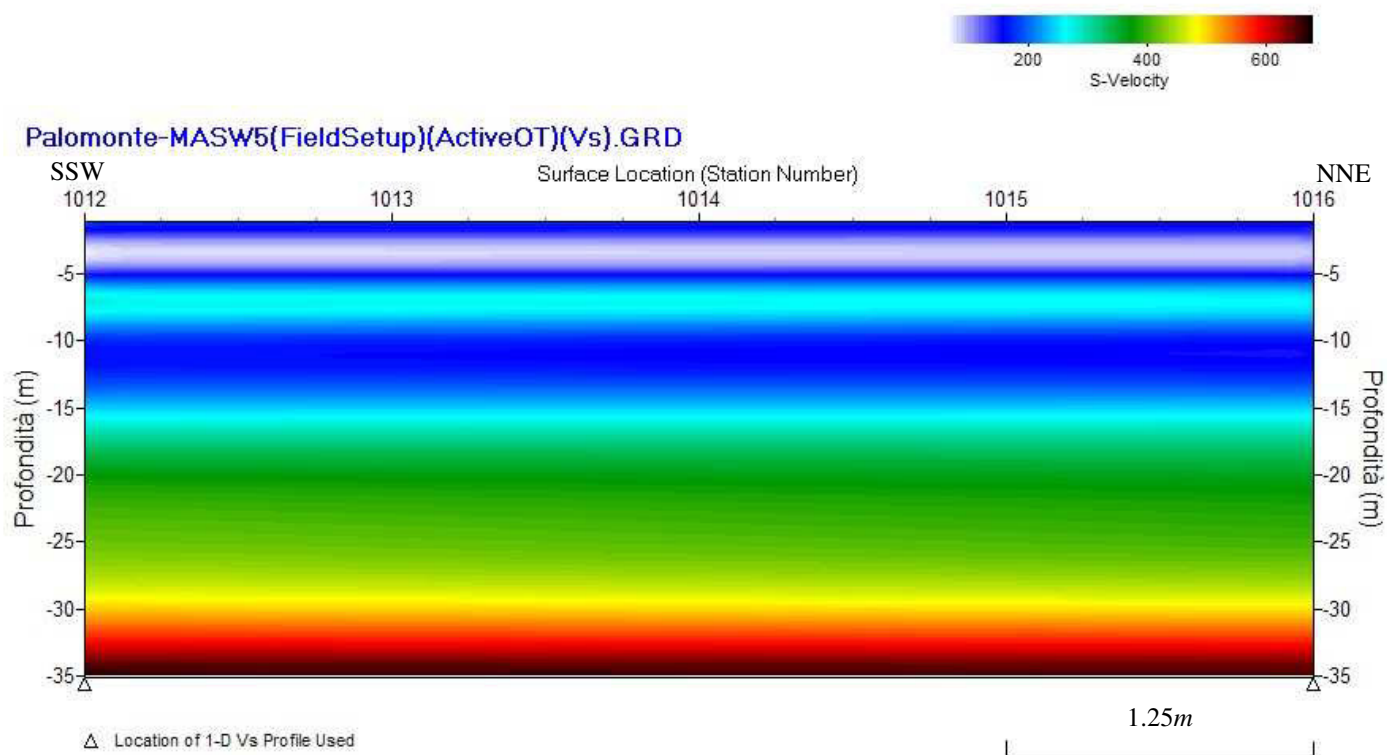


Fig. 56 – Modello sismostratigrafico 2D delle V_s ottenuto dall'indagine Sismica MASW n. 5.

RECORD # 1001

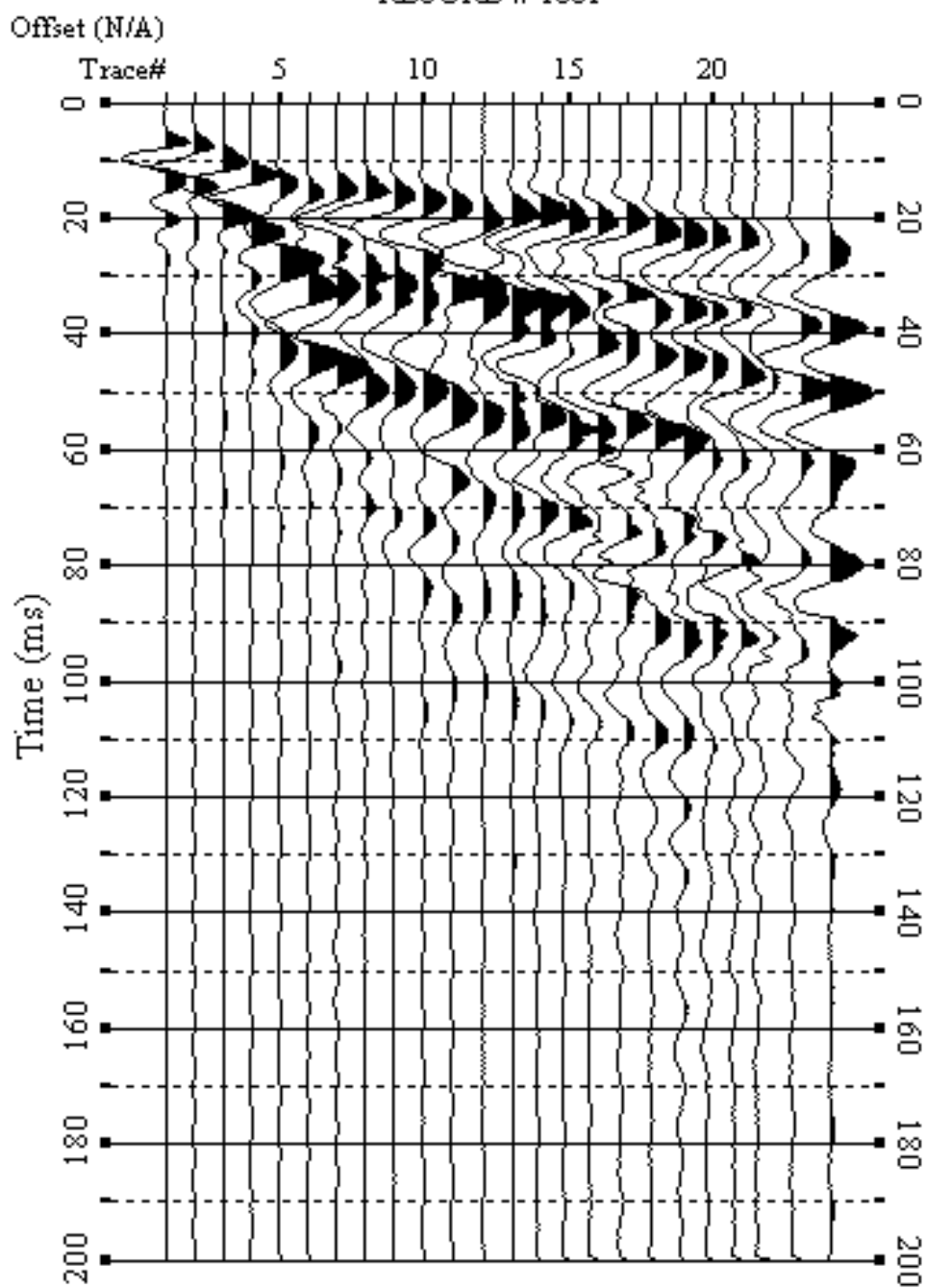


Fig. 57 – Sismogrammi relativi all'indagine Sismica MASW n. 6: acquisizione n. 1. Finestra temporale [0-200]ms.

RECORD # 1002

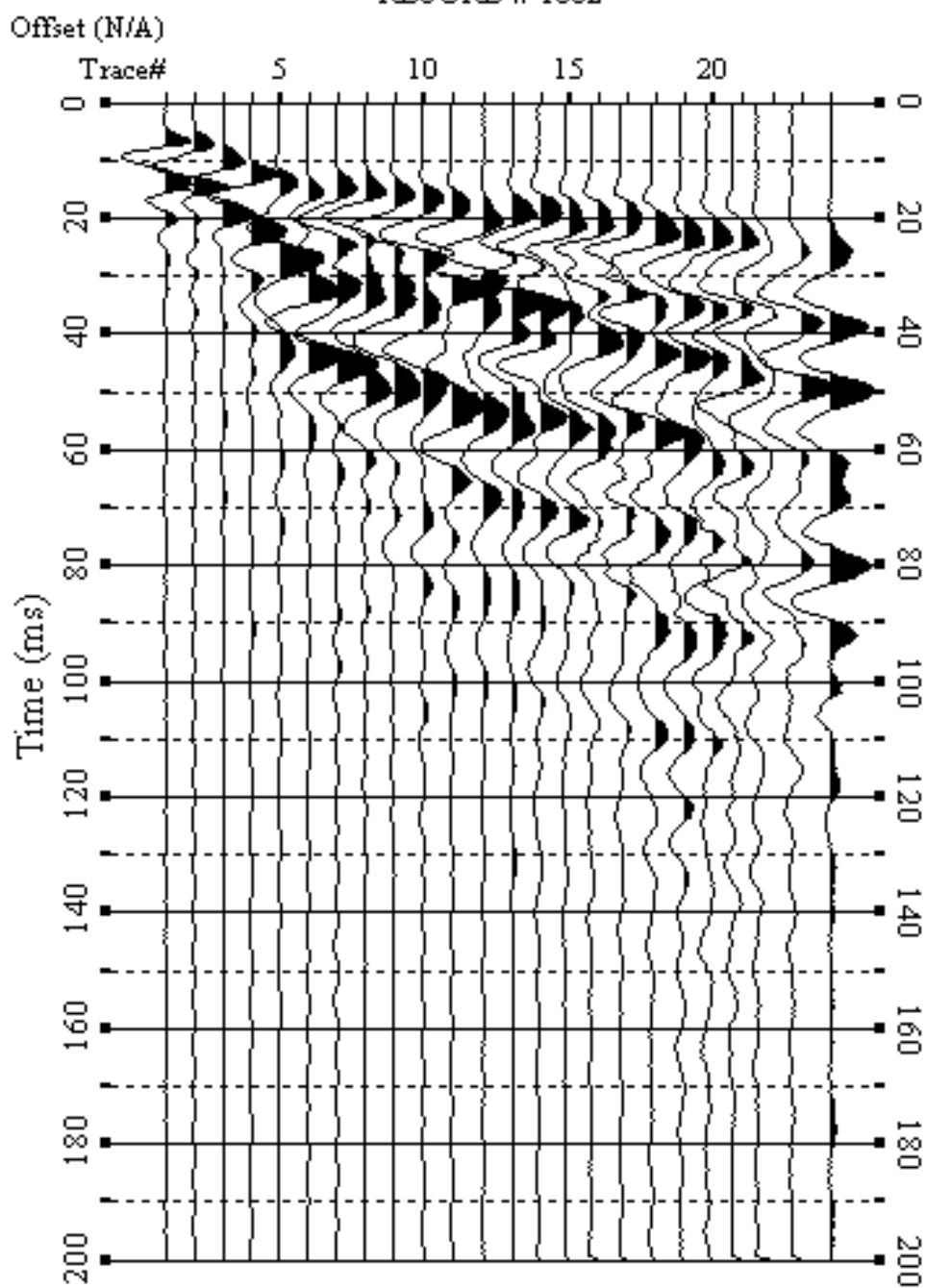


Fig. 58 – Sismogrammi relativi all'indagine Sismica MASW n. 6: acquisizione n. 2. Finestra temporale [0-200]ms.

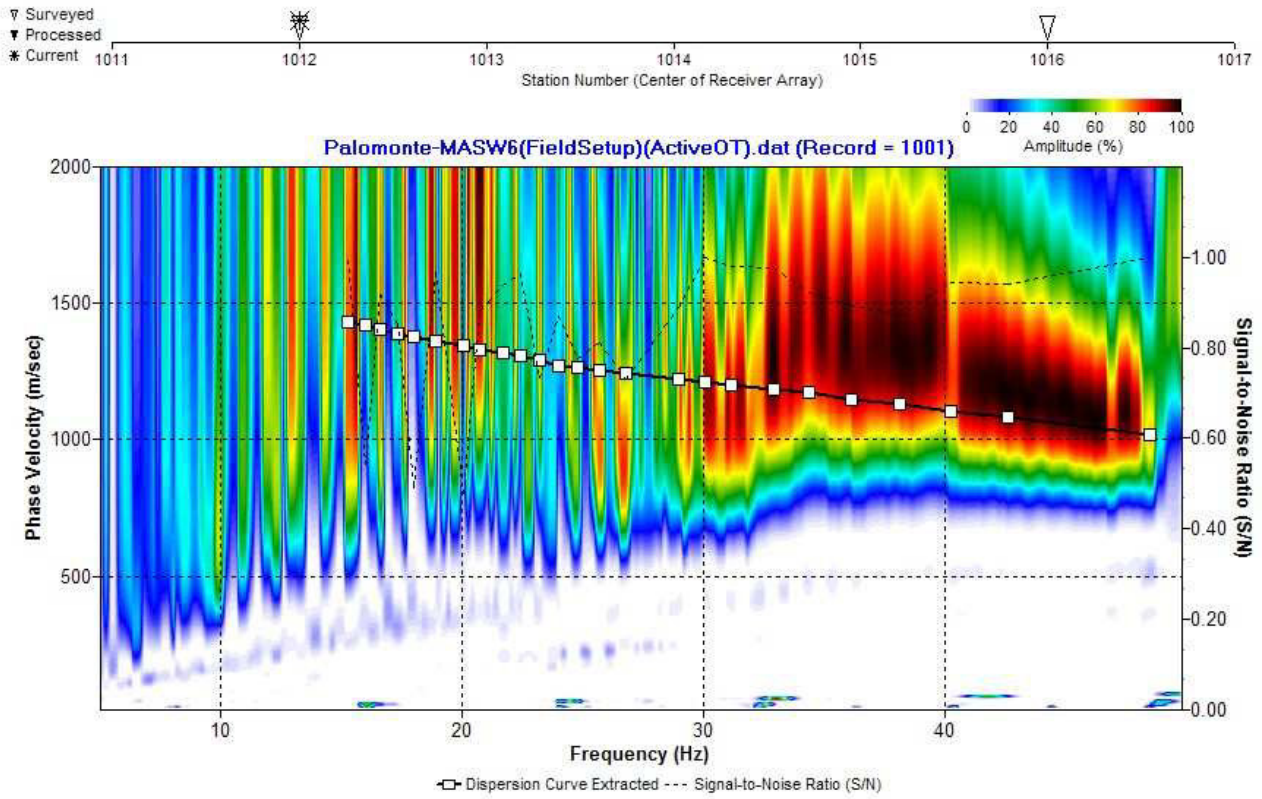


Fig. 59 – Curva di dispersione della velocità di fase delle onde superficiali di Rayleigh ottenuta dall'indagine Sismica MASW n. 6: acquisizione n. 1.

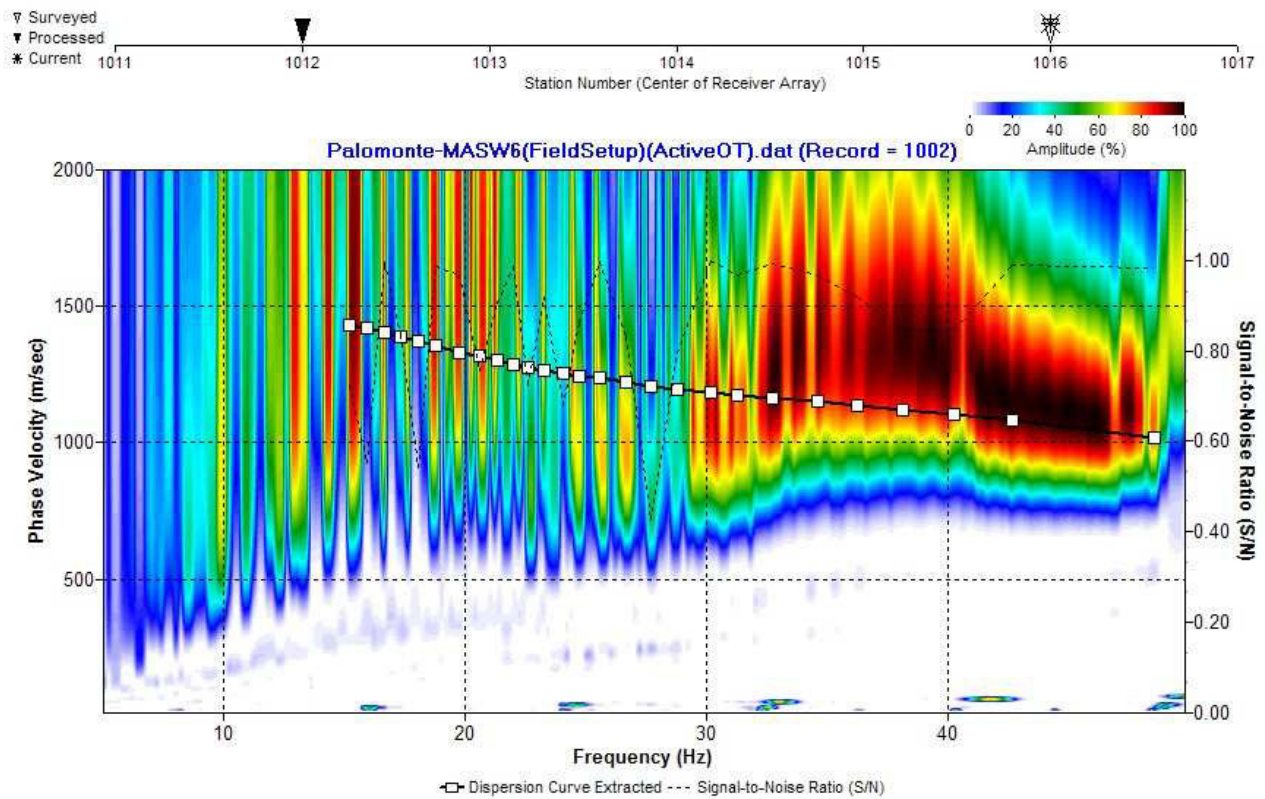


Fig. 60 – Curva di dispersione della velocità di fase delle onde superficiali di Rayleigh ottenuta dall'indagine Sismica MASW n. 6: acquisizione n. 2.

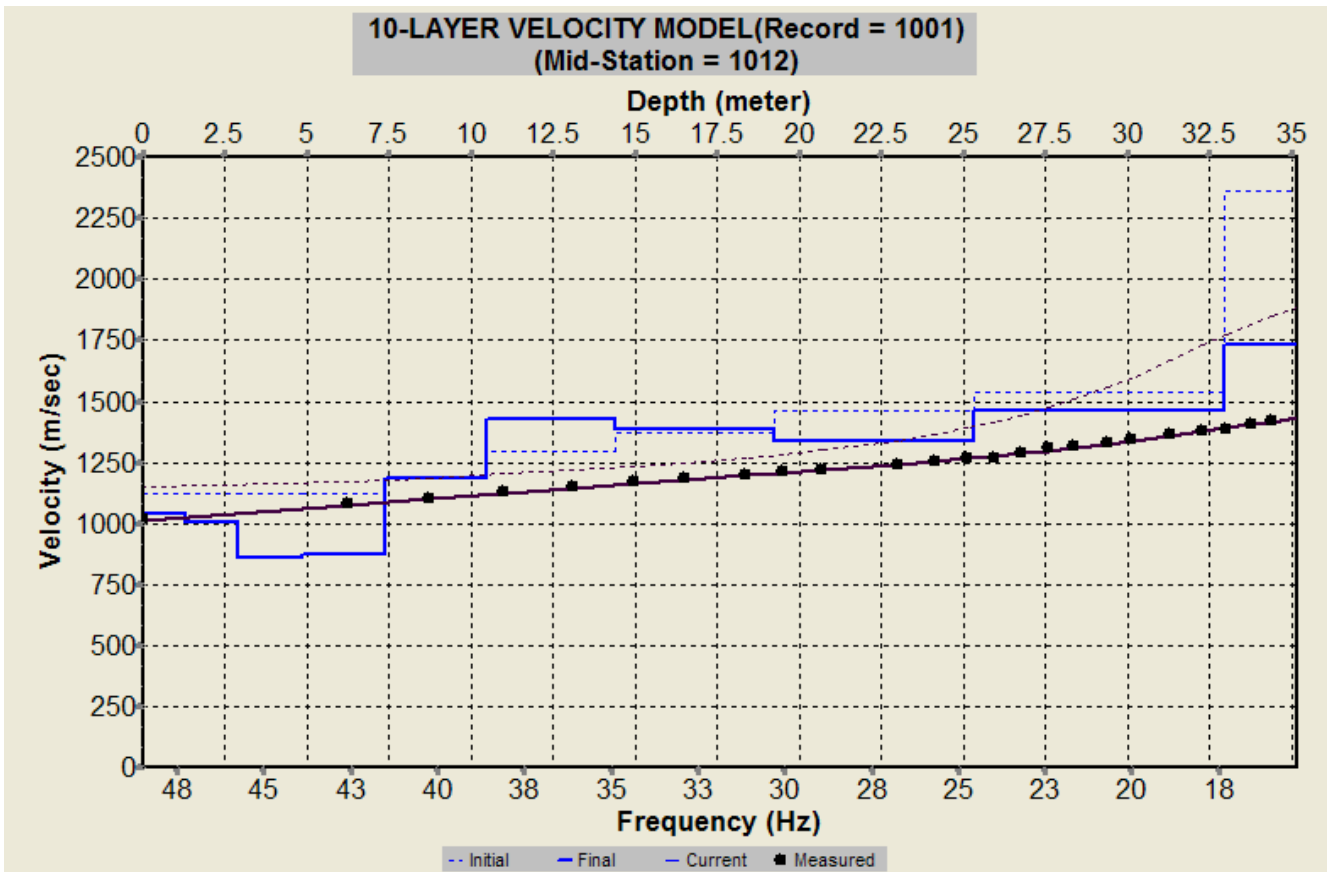


Fig. 61 – Profilo verticale 1D delle V_S ottenuto dall’inversione della curva di dispersione della velocità di fase delle onde superficiali di Rayleigh: MASW n. 6 - acquisizione n. 1.

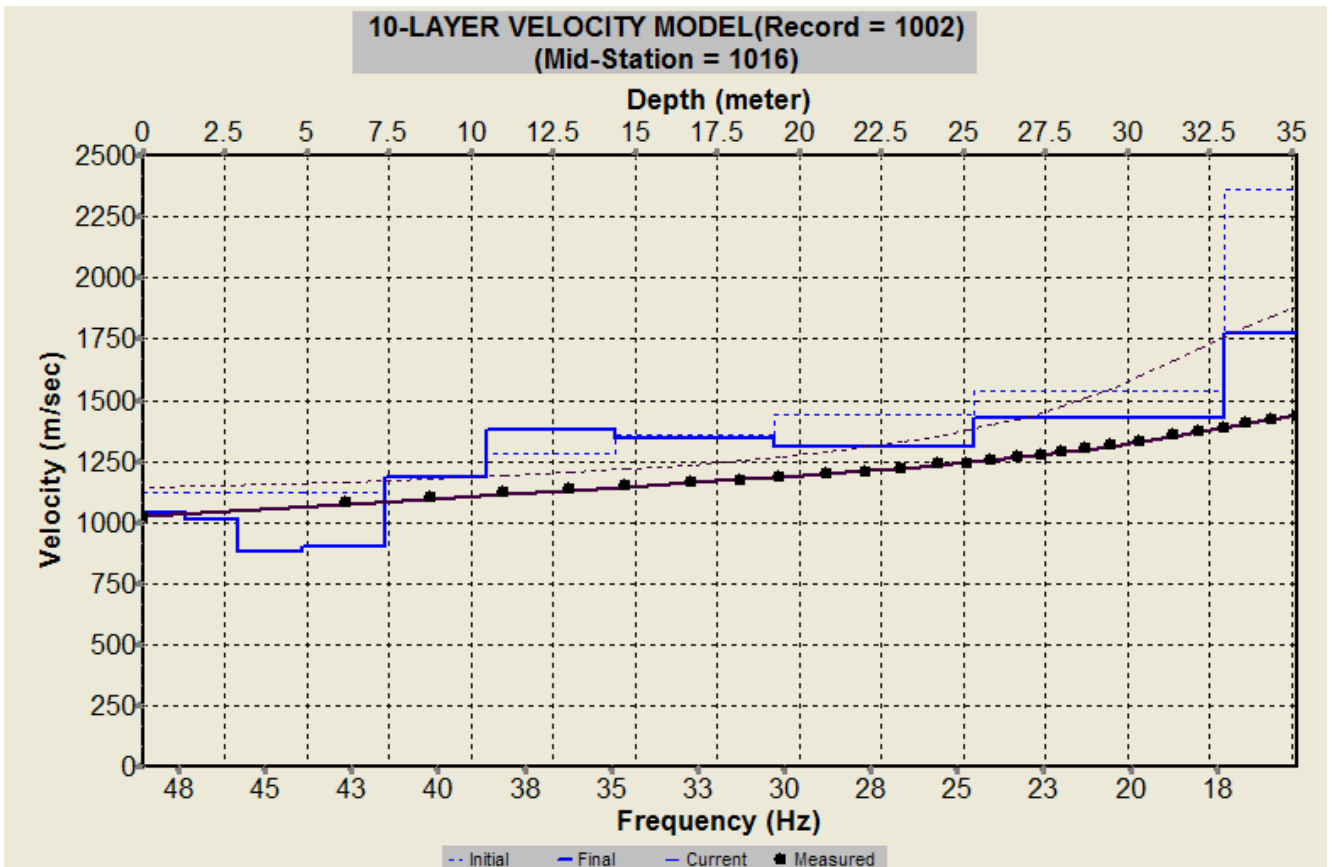


Fig. 62 – Profilo verticale 1D delle V_S ottenuto dall’inversione della curva di dispersione della velocità di fase delle onde superficiali di Rayleigh: MASW n. 6 - acquisizione n. 2.

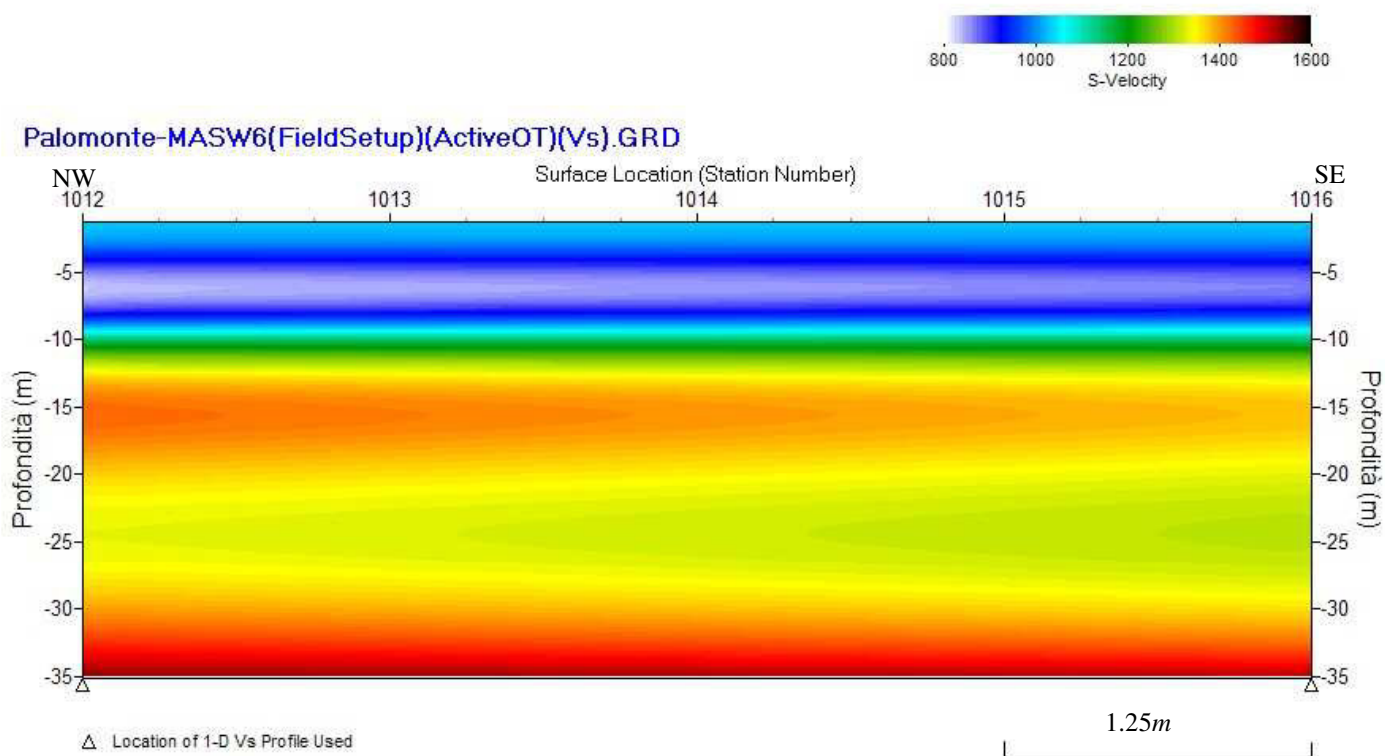


Fig. 63 – Modello sismostratigrafico 2D delle V_s ottenuto dall'indagine Sismica MASW n. 6.

RECORD # 1001

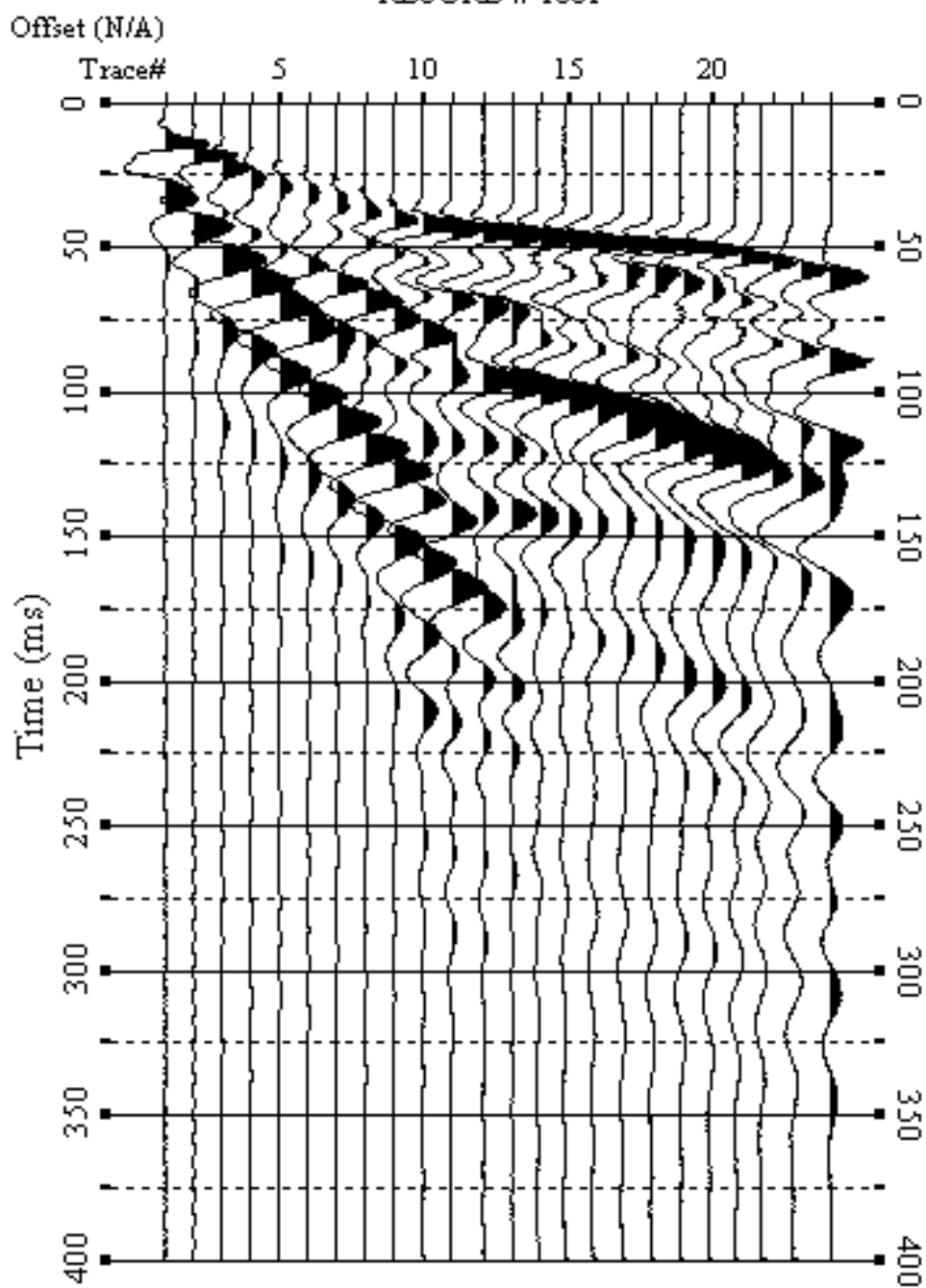


Fig. 64 – Sismogrammi relativi all'indagine Sismica MASW n. 7: acquisizione n. 1. Finestra temporale [0-400]ms.

RECORD # 1002

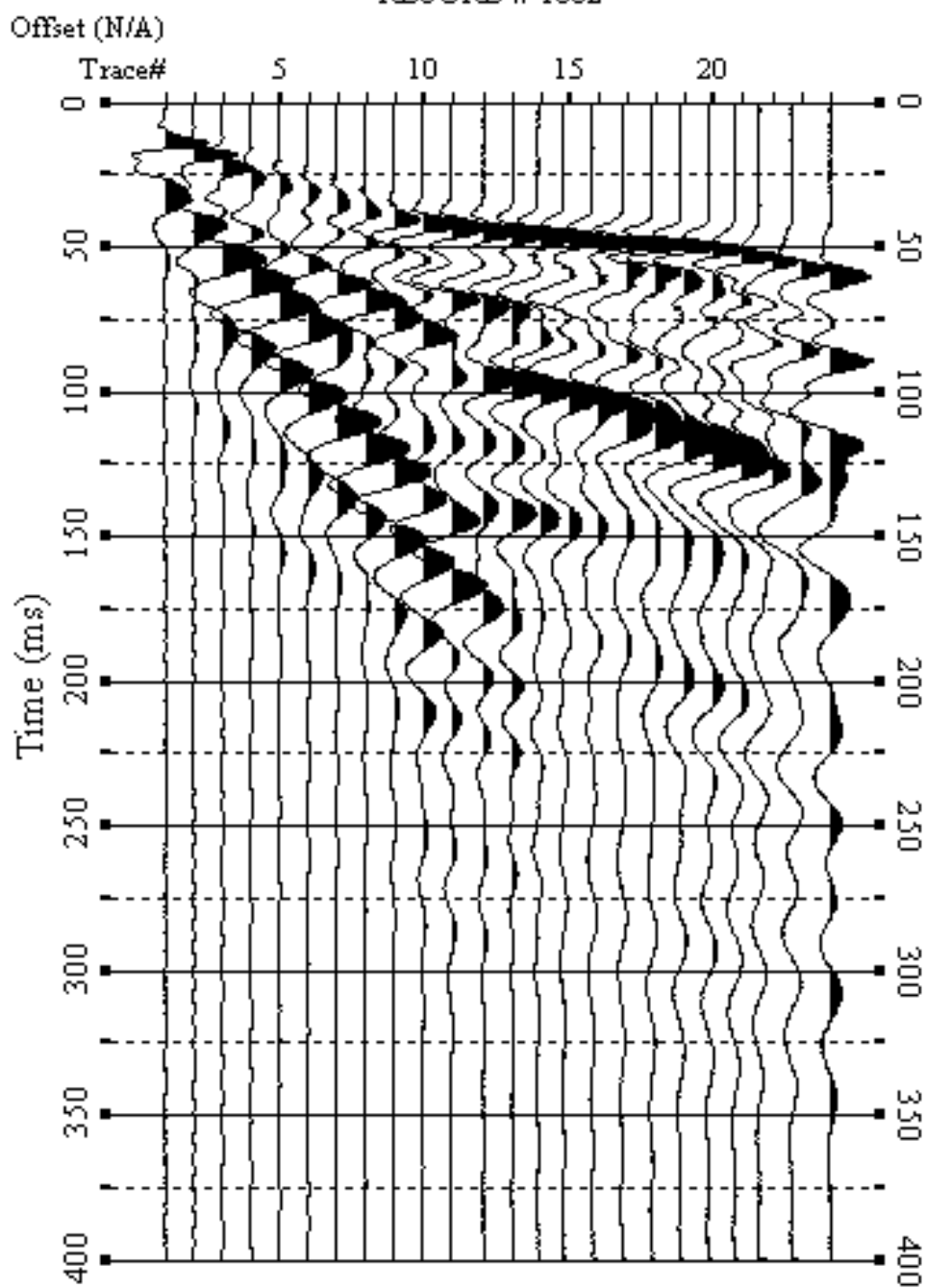


Fig. 65– Sismogrammi relativi all'indagine Sismica MASW n. 7: acquisizione n. 2. Finestra temporale [0-400]ms.

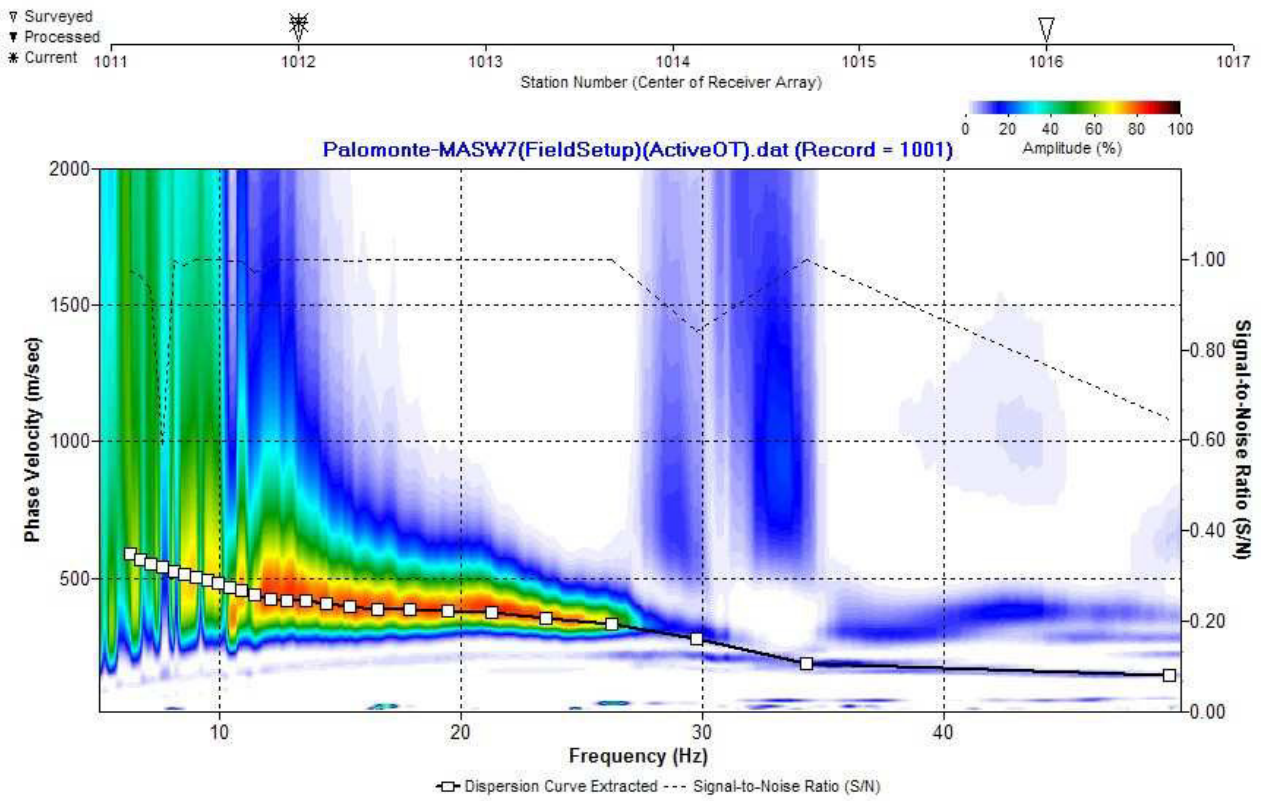


Fig. 66 – Curva di dispersione della velocità di fase delle onde superficiali di Rayleigh ottenuta dall'indagine Sismica MASW n. 7: acquisizione n. 1.

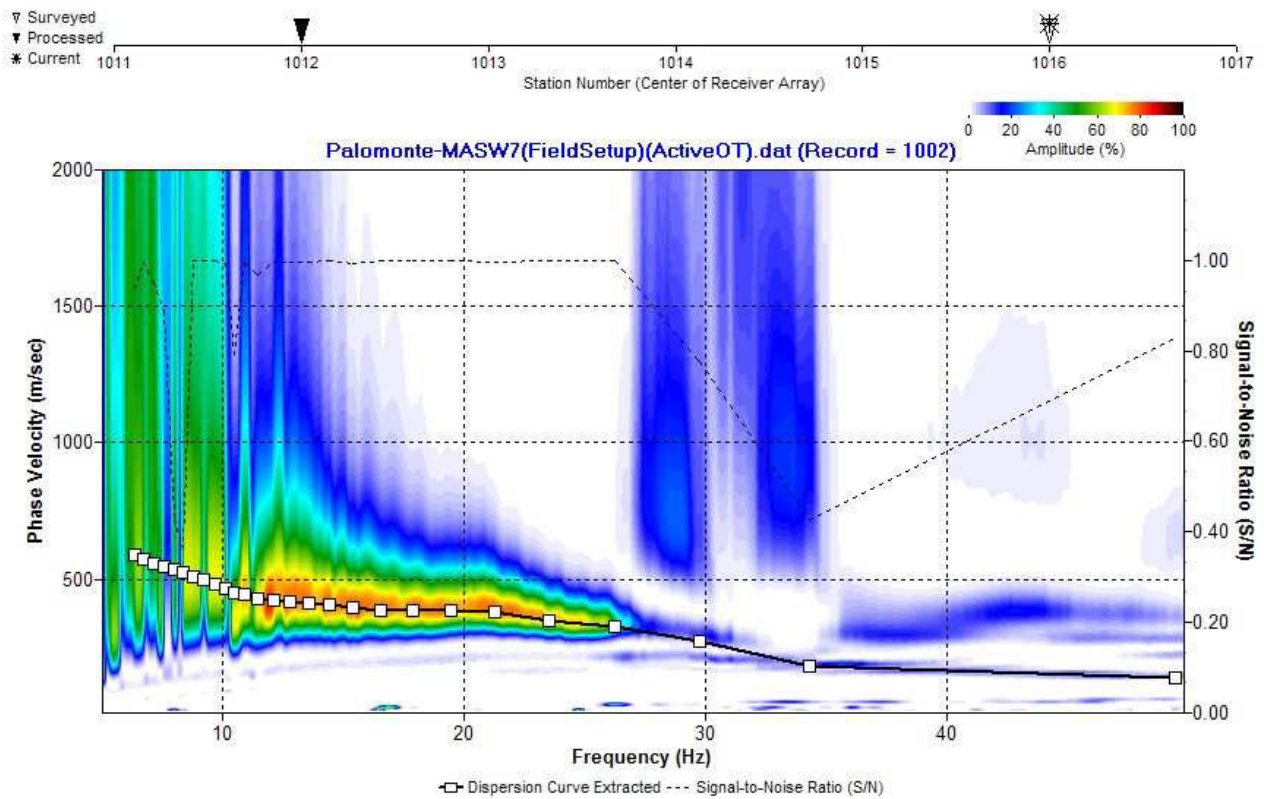


Fig. 67 – Curva di dispersione della velocità di fase delle onde superficiali di Rayleigh ottenuta dall'indagine Sismica MASW n. 7: acquisizione n. 2.

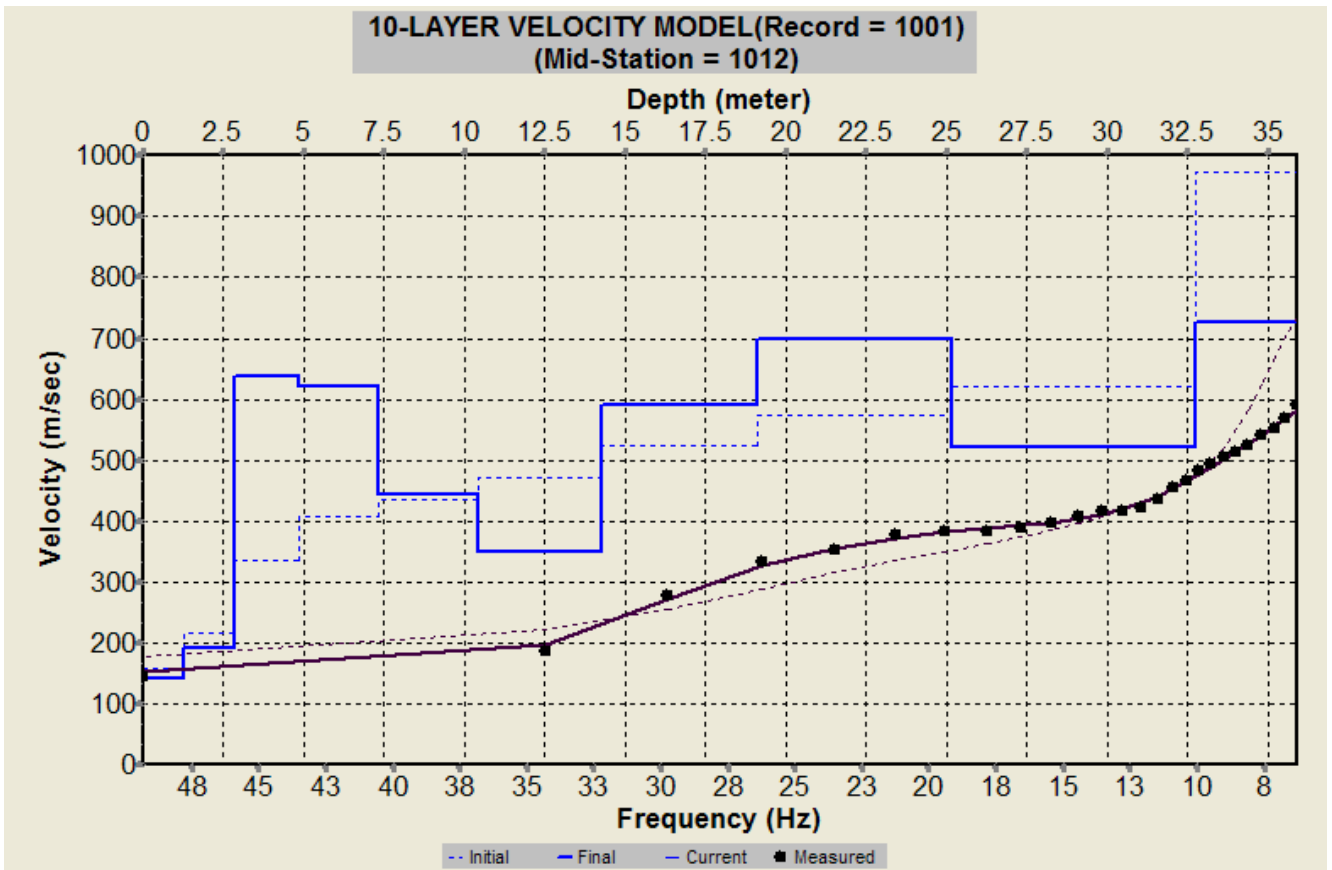


Fig. 68 – Profilo verticale 1D delle V_S ottenuto dall’inversione della curva di dispersione della velocità di fase delle onde superficiali di Rayleigh: MASW n. 7 - acquisizione n. 1.

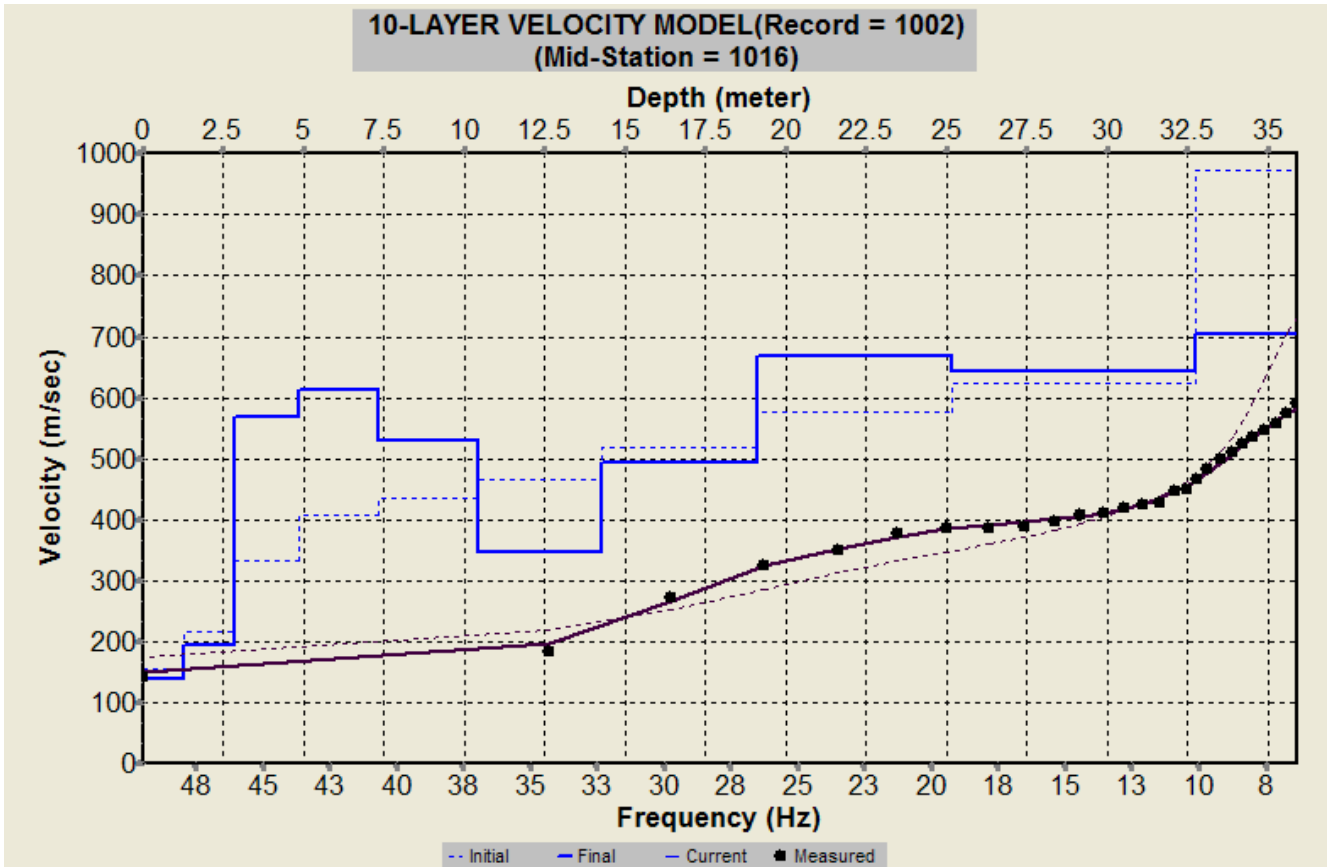


Fig. 69 – Profilo verticale 1D delle V_S ottenuto dall’inversione della curva di dispersione della velocità di fase delle onde superficiali di Rayleigh: MASW n. 7 - acquisizione n. 2.

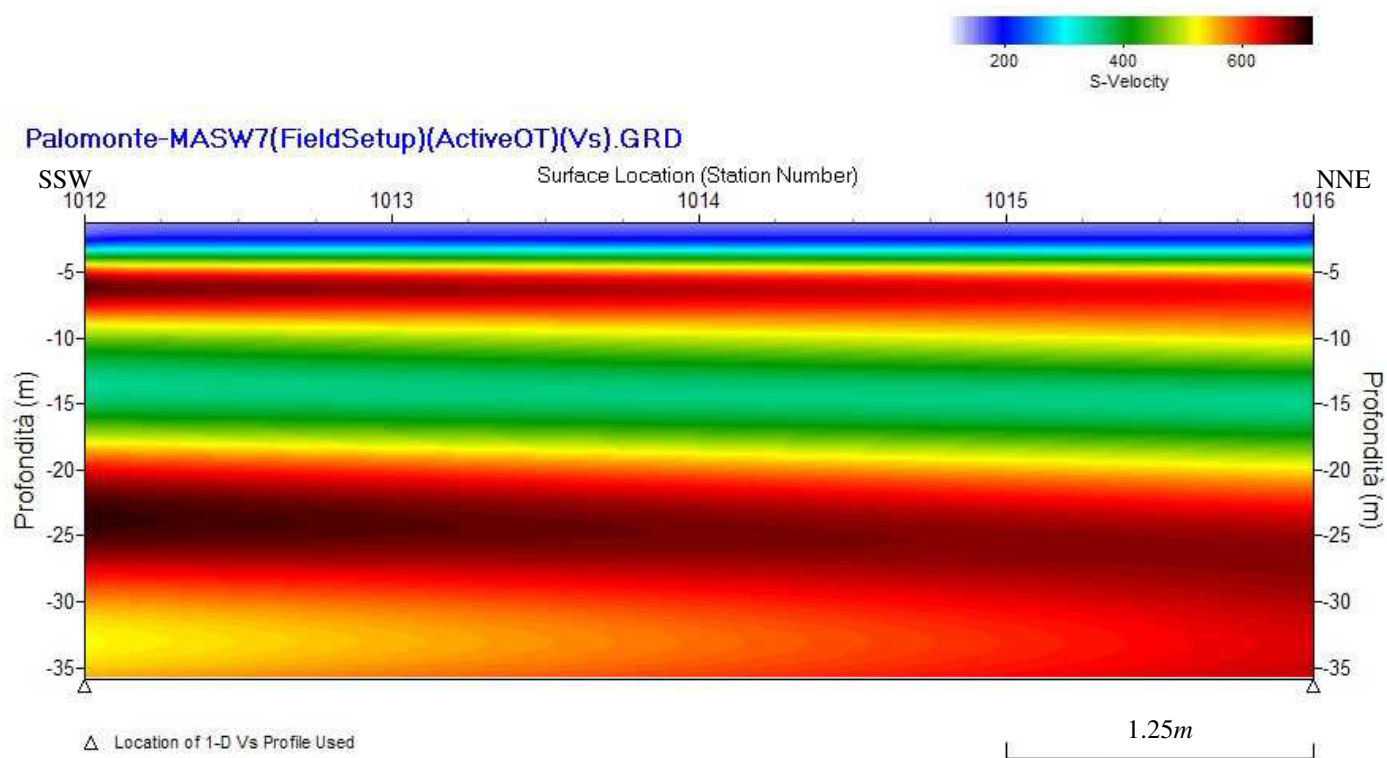


Fig. 70 – Modello sismostratigrafico 2D delle V_s ottenuto dall'indagine Sismica MASW n. 7.

RECORD # 1001

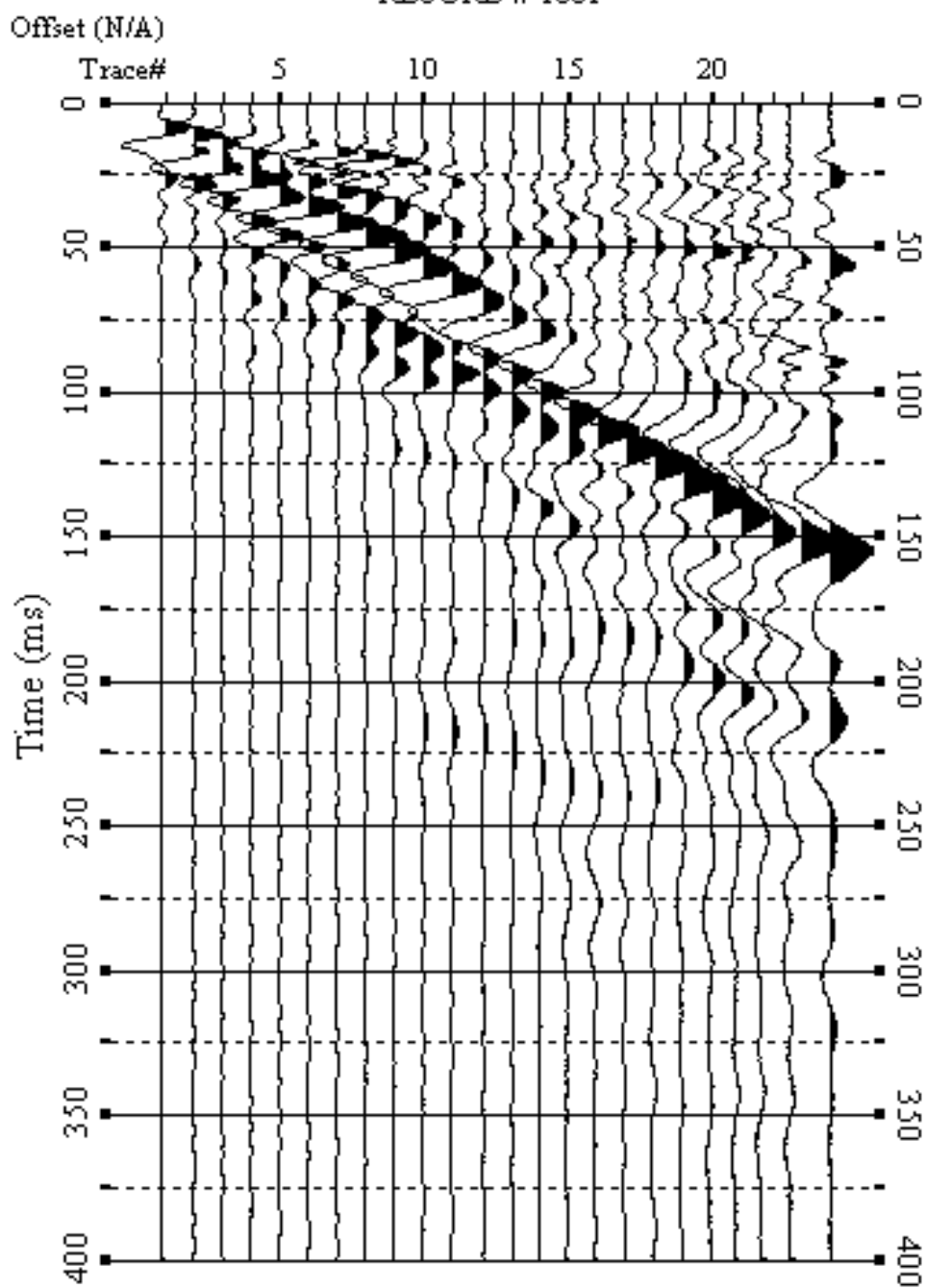


Fig. 71 – Sismogrammi relativi all'indagine Sismica MASW n. 8: acquisizione n. 1. Finestra temporale [0-400]ms.

RECORD # 1002

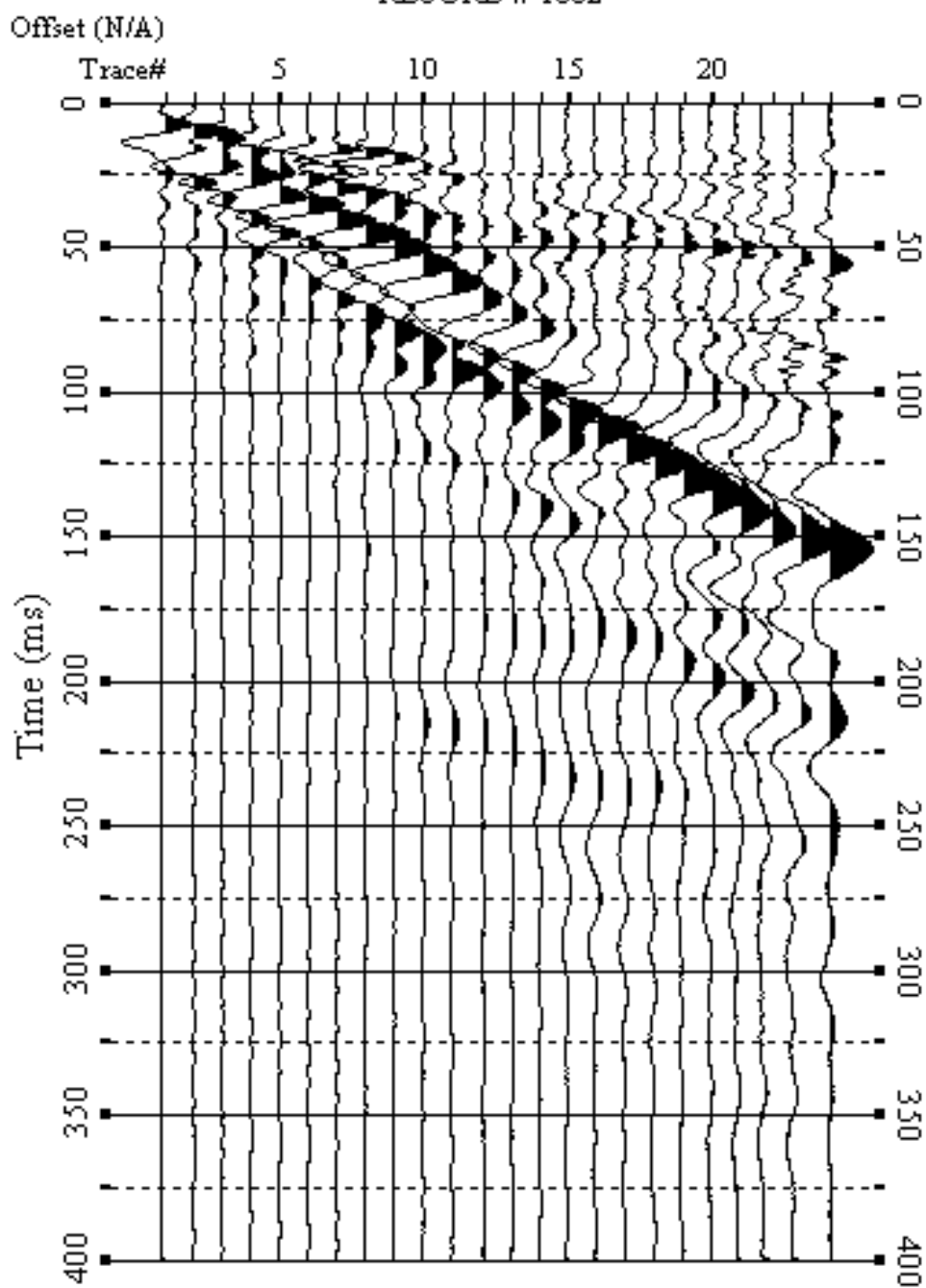


Fig. 72 – Sismogrammi relativi all’indagine Sismica MASW n. 8: acquisizione n. 2. Finestra temporale [0-400]ms.

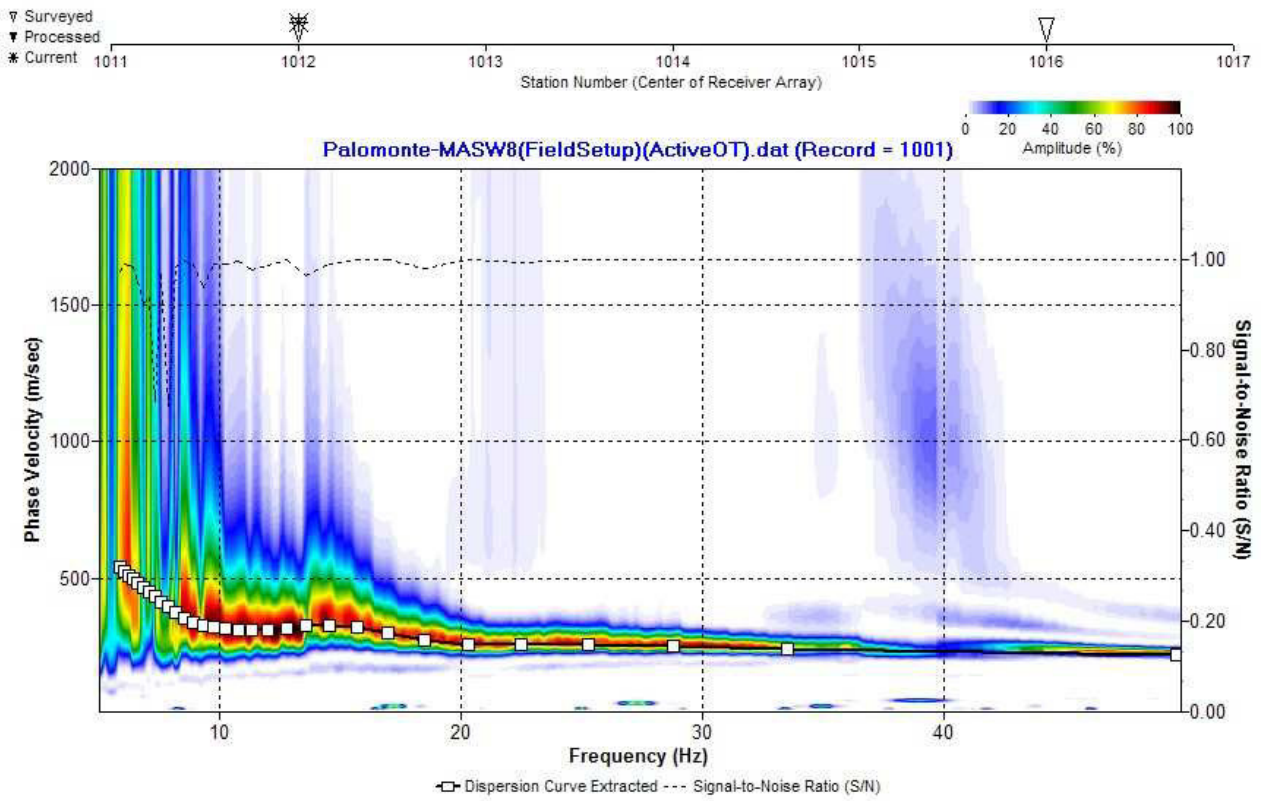


Fig. 73 – Curva di dispersione della velocità di fase delle onde superficiali di Rayleigh ottenuta dall’indagine Sismica MASW n. 8: acquisizione n. 1.

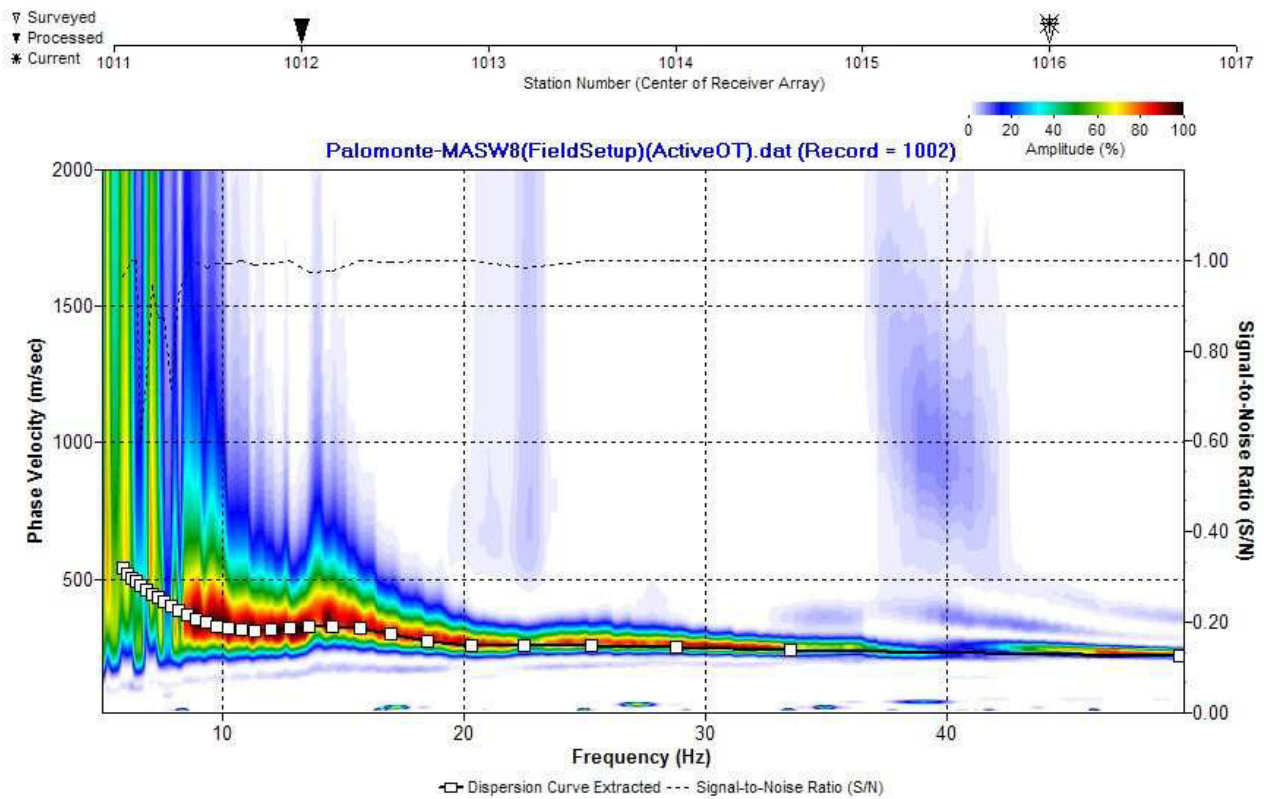


Fig. 74– Curva di dispersione della velocità di fase delle onde superficiali di Rayleigh ottenuta dall’indagine Sismica MASW n. 8: acquisizione n. 2.

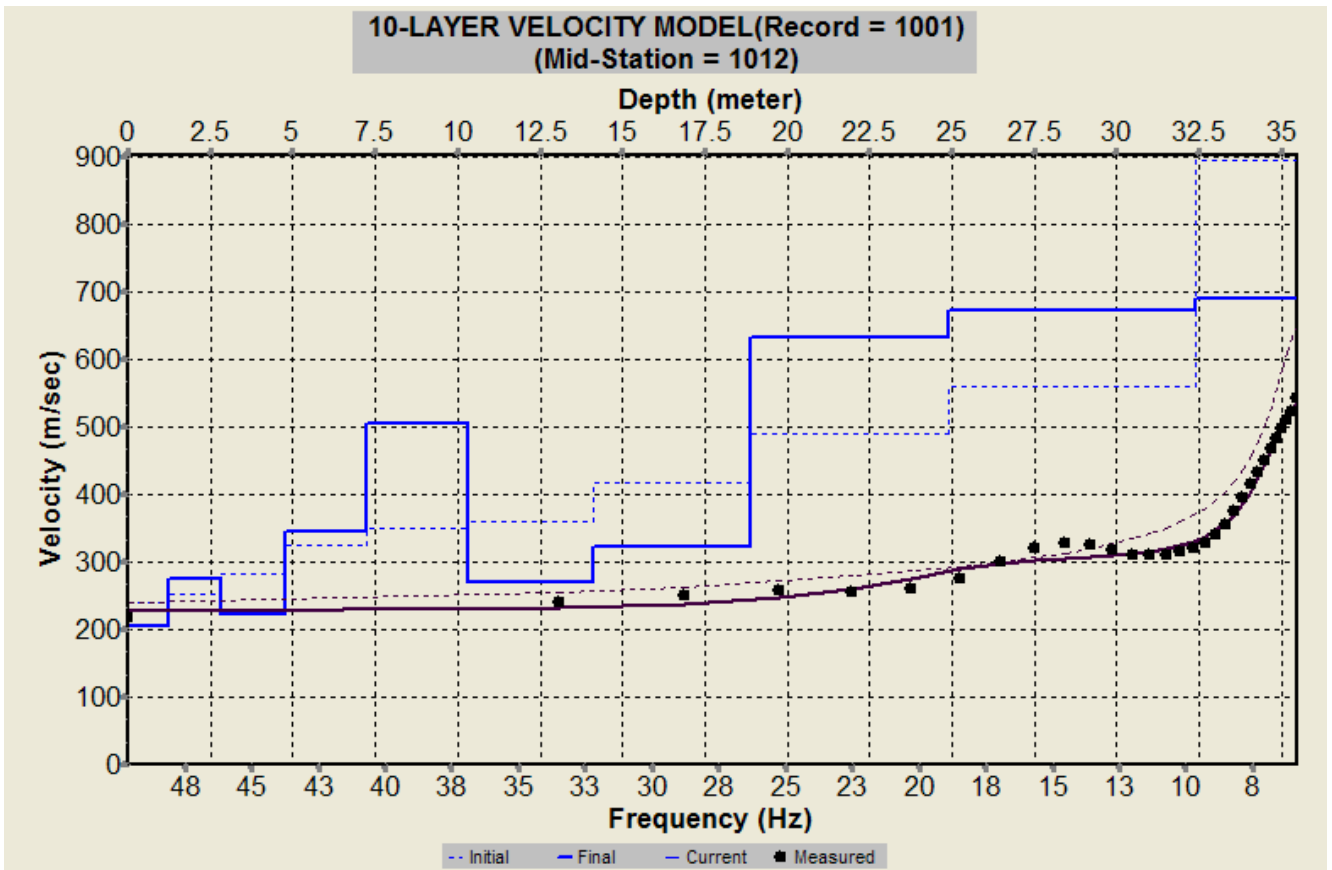


Fig. 75– Profilo verticale 1D delle V_s ottenuto dall'inversione della curva di dispersione della velocità di fase delle onde superficiali di Rayleigh: MASW n. 8 - acquisizione n. 1.

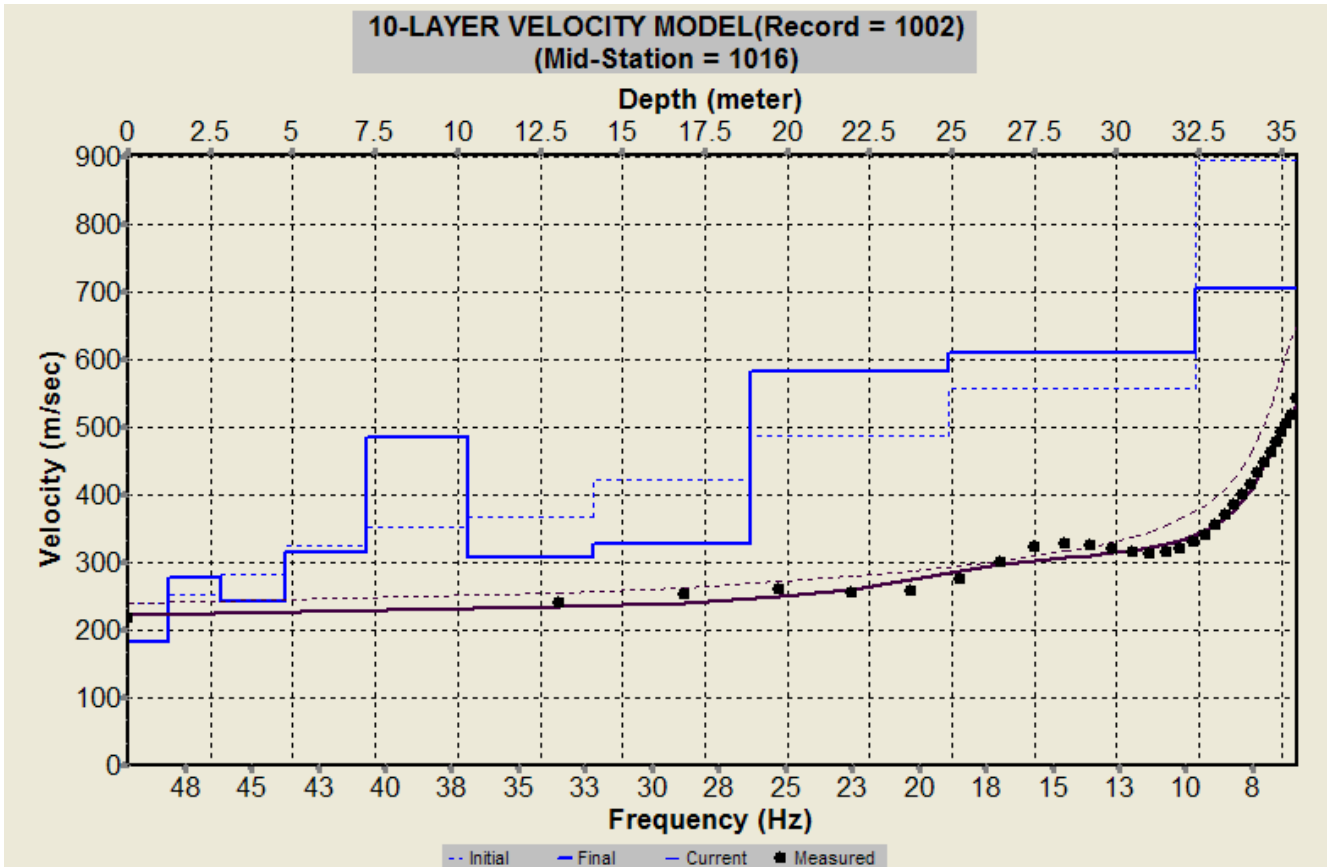


Fig. 76 – Profilo verticale 1D delle V_s ottenuto dall'inversione della curva di dispersione della velocità di fase delle onde superficiali di Rayleigh: MASW n. 8 - acquisizione n. 2.

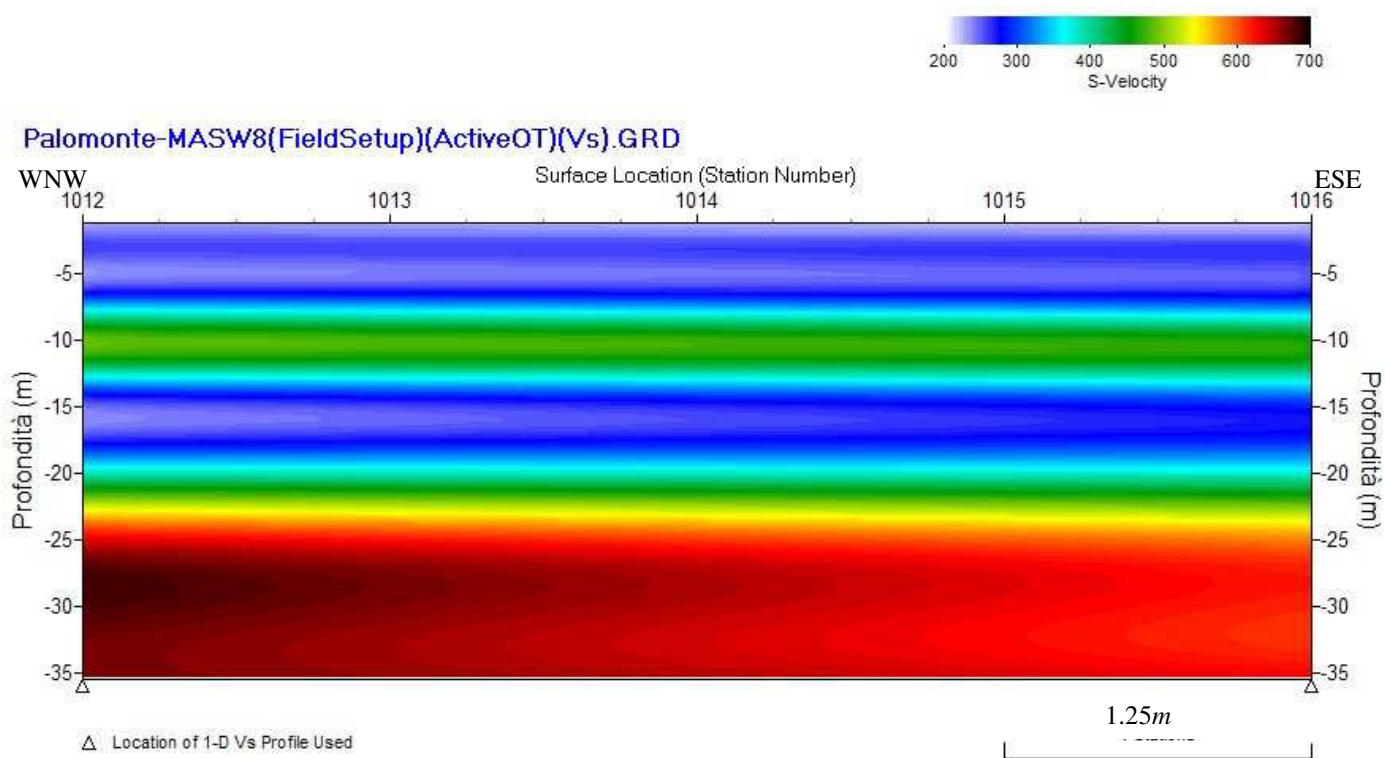


Fig. 77 – Modello sismostratigrafico 2D delle V_S ottenuto dall'indagine Sismica MASW n. 8.

RECORD # 1001

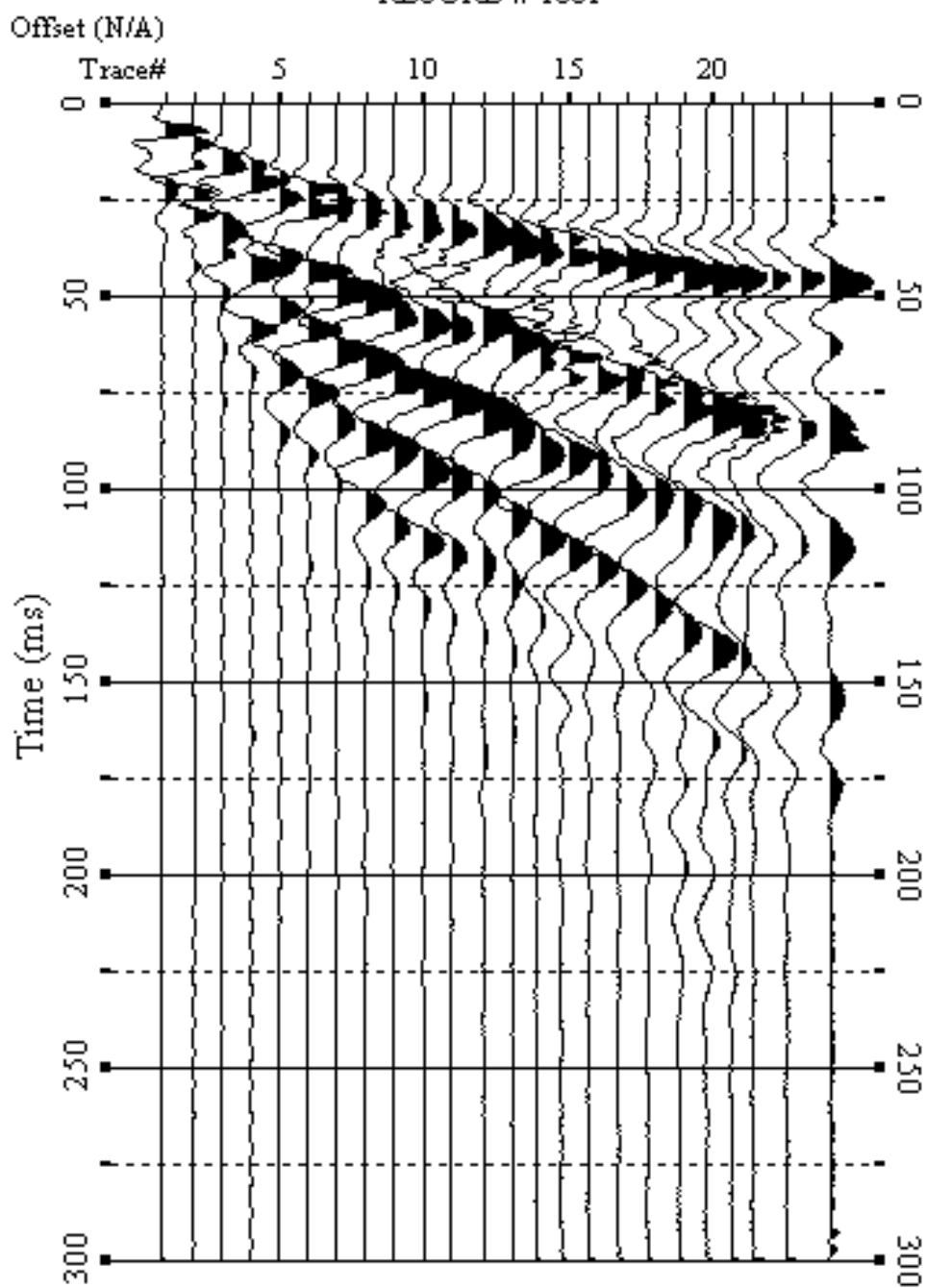


Fig. 78 – Sismogrammi relativi all'indagine Sismica MASW n. 9: acquisizione n. 1. Finestra temporale [0-300]ms.

RECORD # 1002

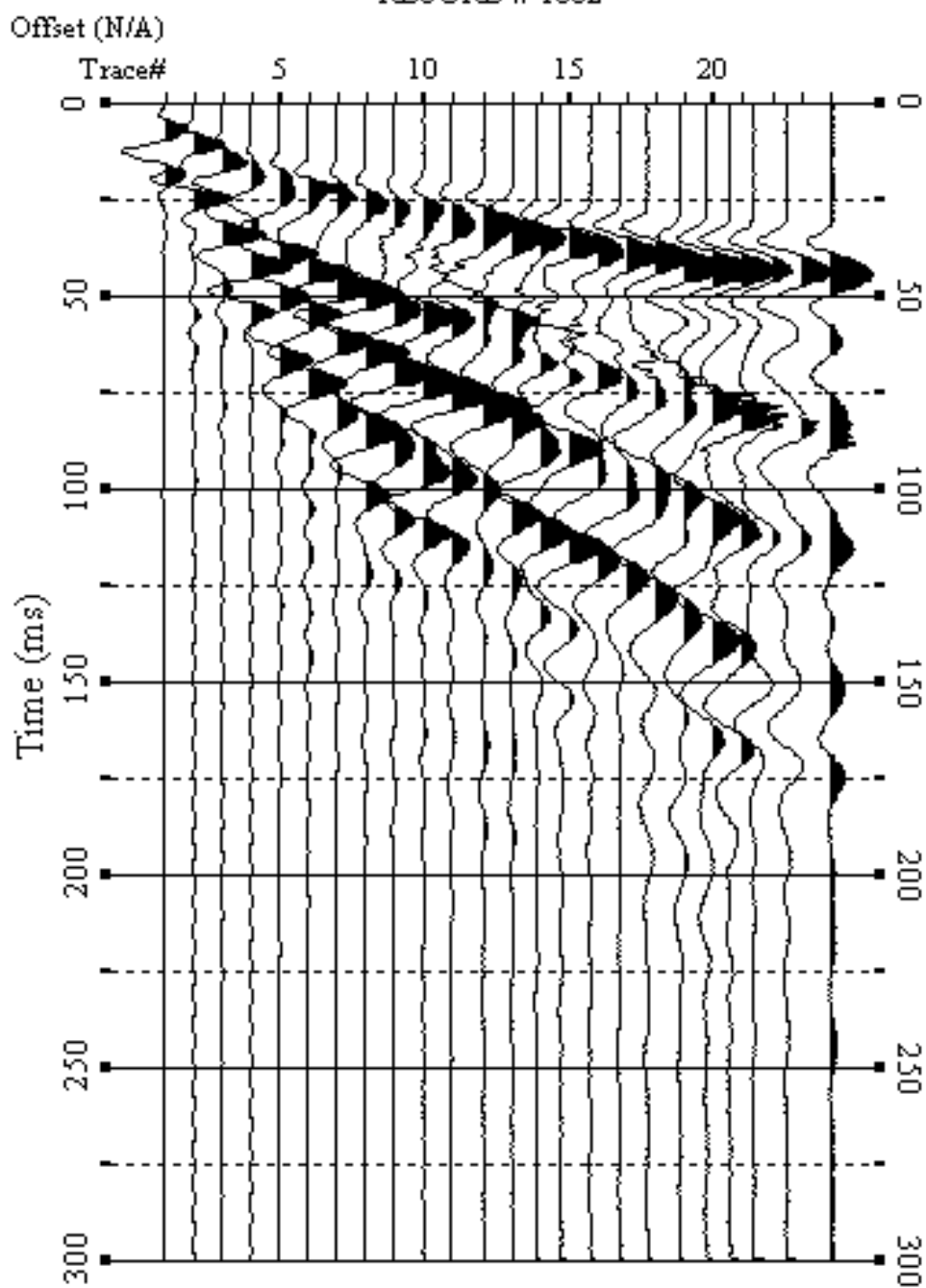


Fig. 79 – Sismogrammi relativi all'indagine Sismica MASW n. 9: acquisizione n. 2. Finestra temporale [0-300]ms.

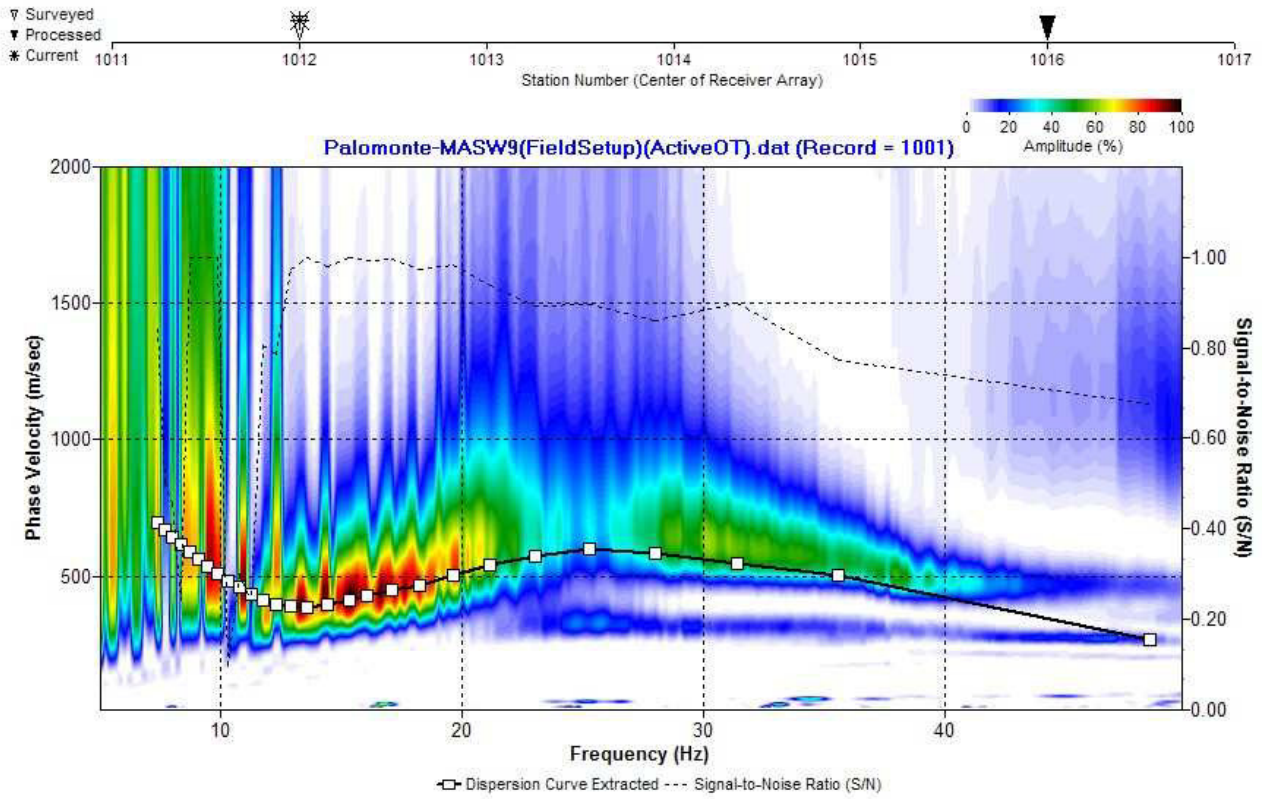


Fig. 80 – Curva di dispersione della velocità di fase delle onde superficiali di Rayleigh ottenuta dall'indagine Sismica MASW n. 9: acquisizione n. 1.

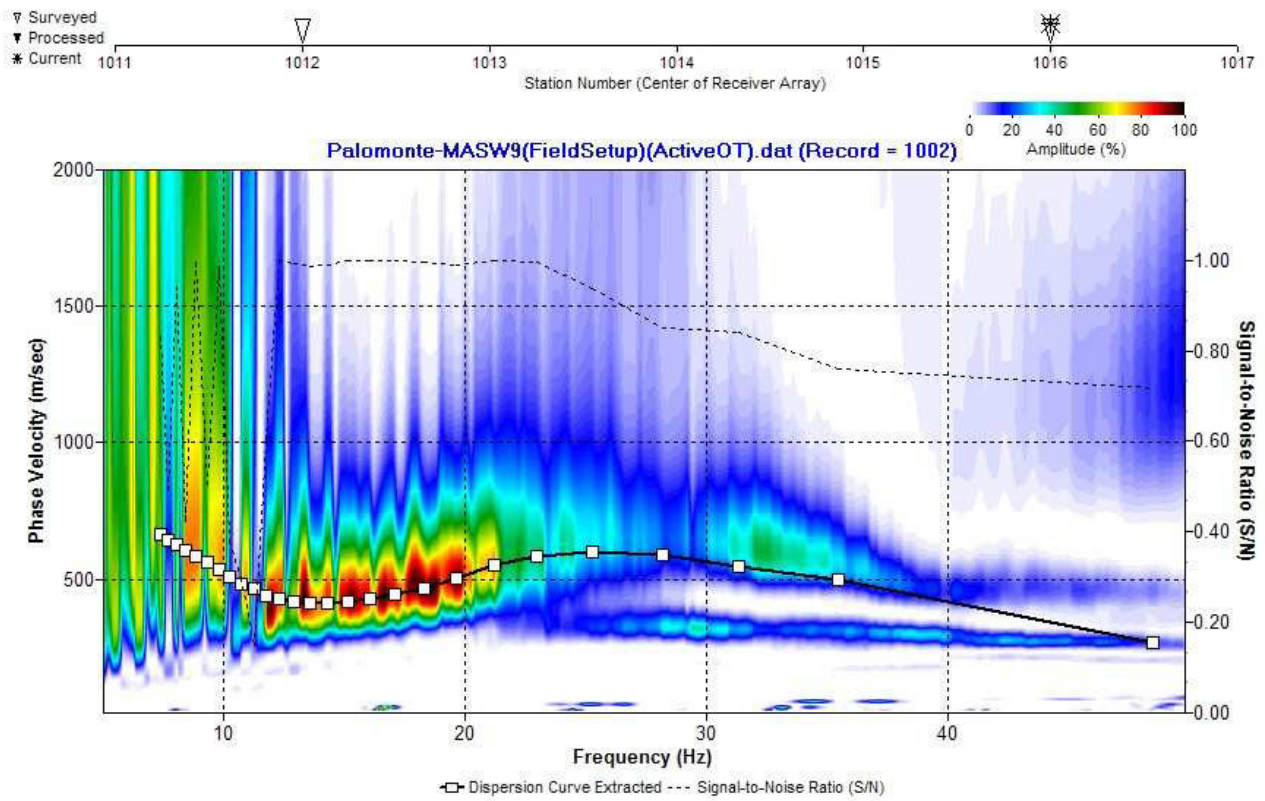


Fig. 81 – Curva di dispersione della velocità di fase delle onde superficiali di Rayleigh ottenuta dall'indagine Sismica MASW n. 9: acquisizione n. 2.

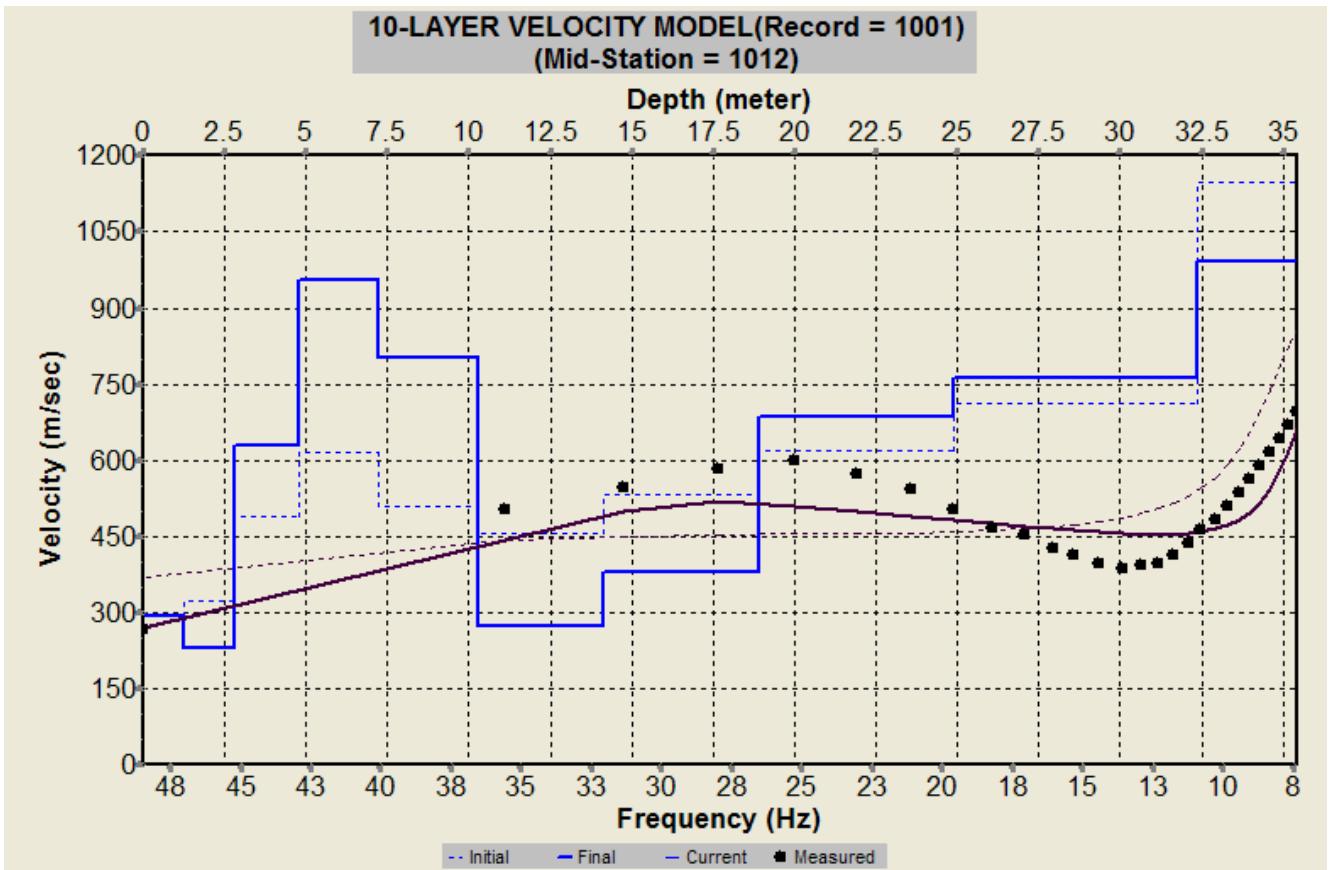


Fig. 82 – Profilo verticale 1D delle V_S ottenuto dall’inversione della curva di dispersione della velocità di fase delle onde superficiali di Rayleigh: MASW n. 9 - acquisizione n. 1.

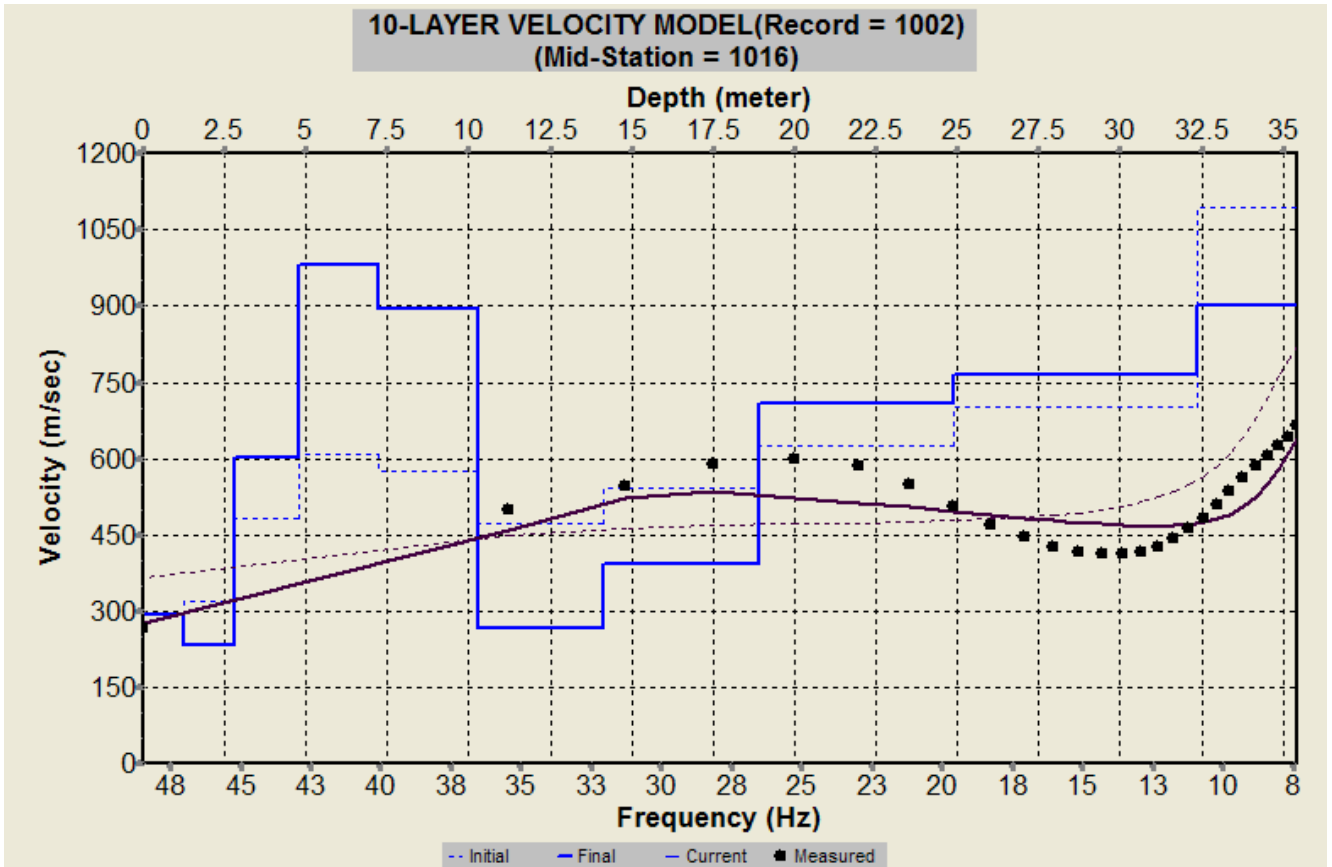


Fig. 83 – Profilo verticale 1D delle V_S ottenuto dall’inversione della curva di dispersione della velocità di fase delle onde superficiali di Rayleigh: MASW n. 9 - acquisizione n. 2.

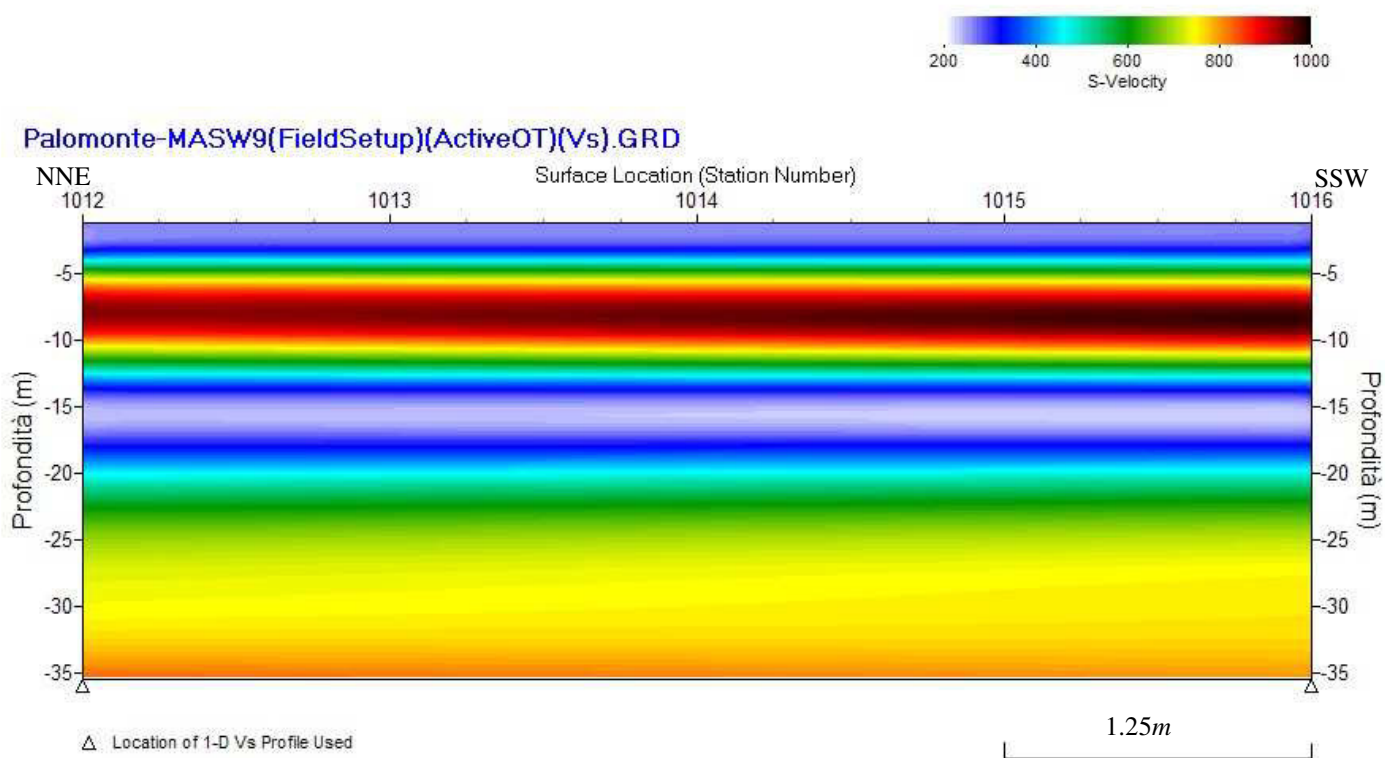


Fig. 84 – Modello sismostratigrafico 2D delle V_s ottenuto dall'indagine Sismica MASW n. 9.

RECORD # 1001

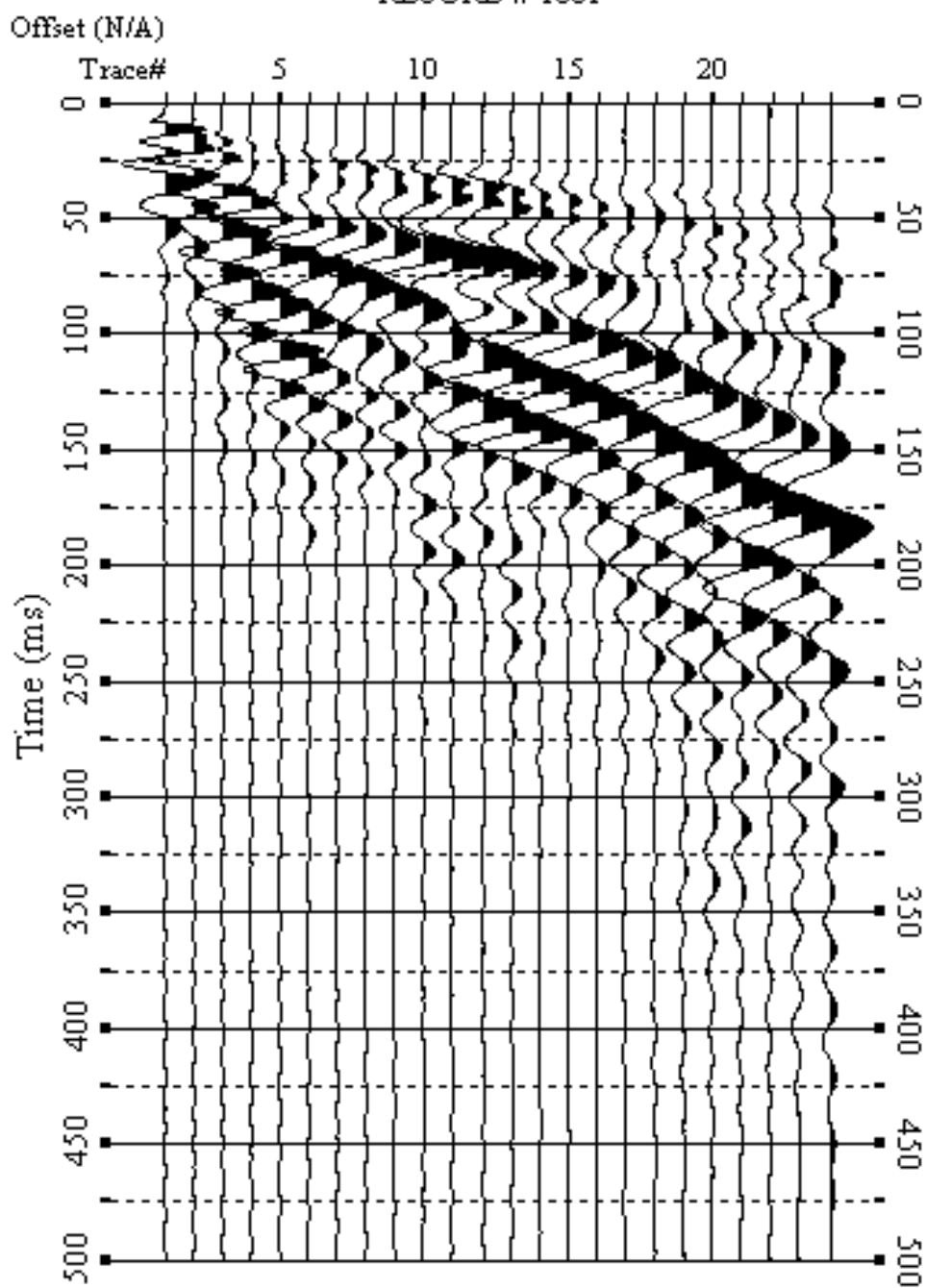


Fig. 85 – Sismogrammi relativi all'indagine Sismica MASW n. 10: acquisizione n. 1. Finestra temporale [0-500]ms.

RECORD # 1002

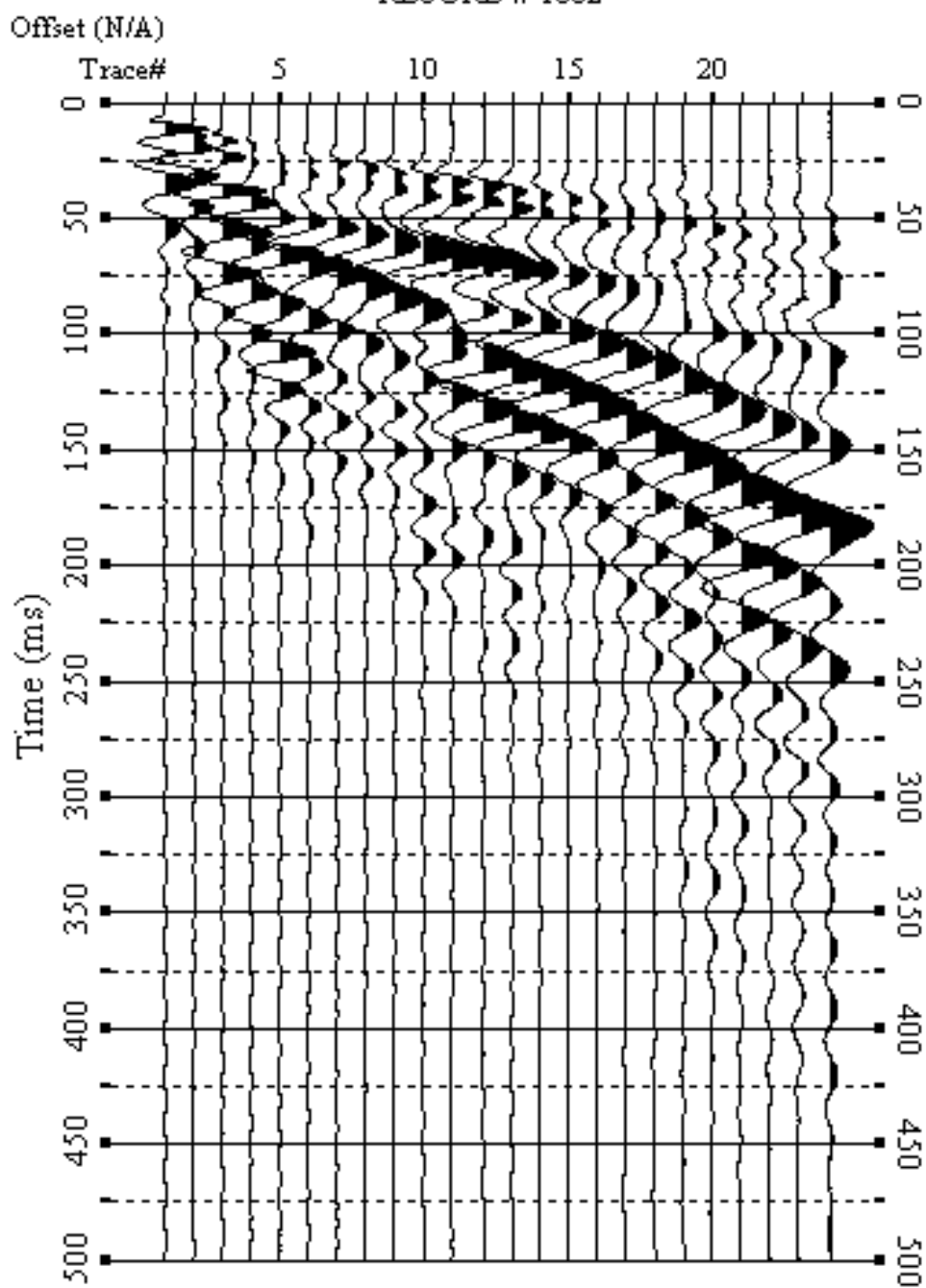


Fig. 86 – Sismogrammi relativi all'indagine Sismica MASW n. 10: acquisizione n. 2. Finestra temporale [0-500]ms.

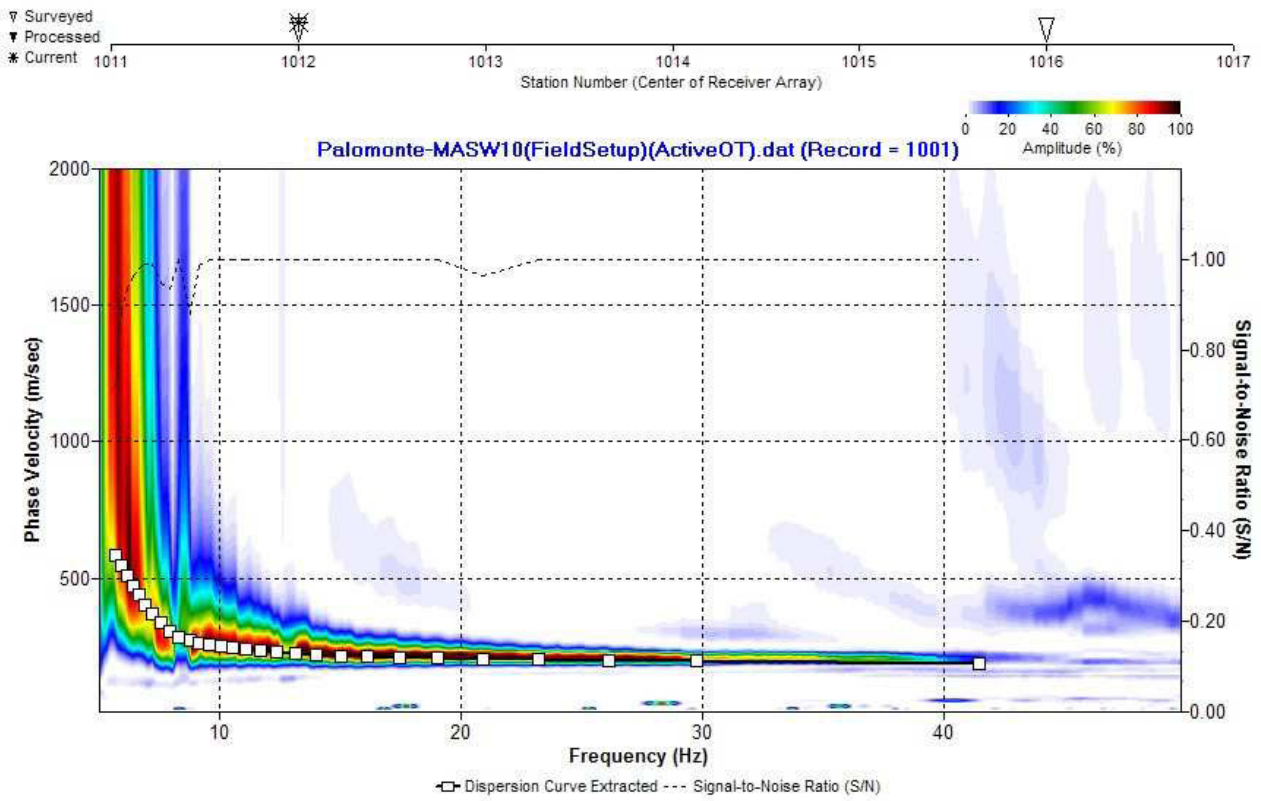


Fig. 87 – Curva di dispersione della velocità di fase delle onde superficiali di Rayleigh ottenuta dall'indagine Sismica MASW n. 10: acquisizione n. 1.

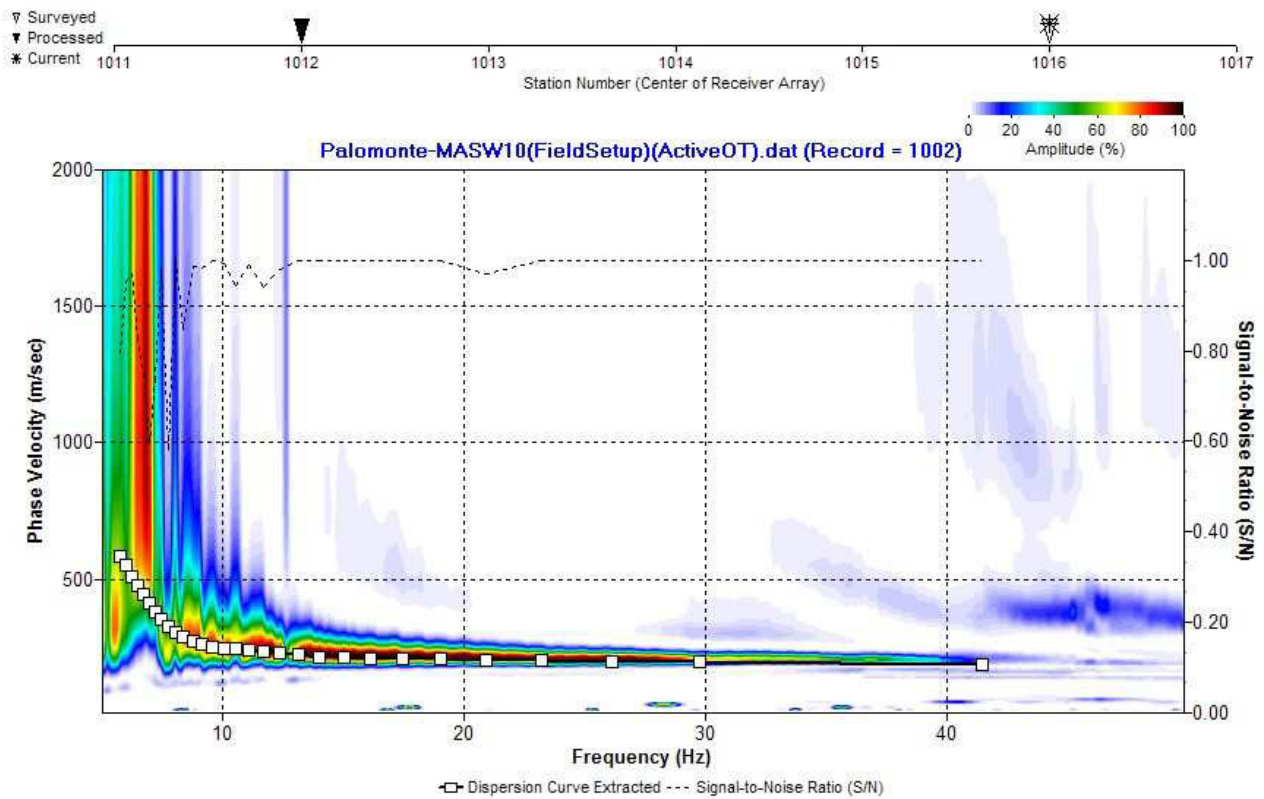


Fig. 88 – Curva di dispersione della velocità di fase delle onde superficiali di Rayleigh ottenuta dall'indagine Sismica MASW n. 10: acquisizione n. 2.

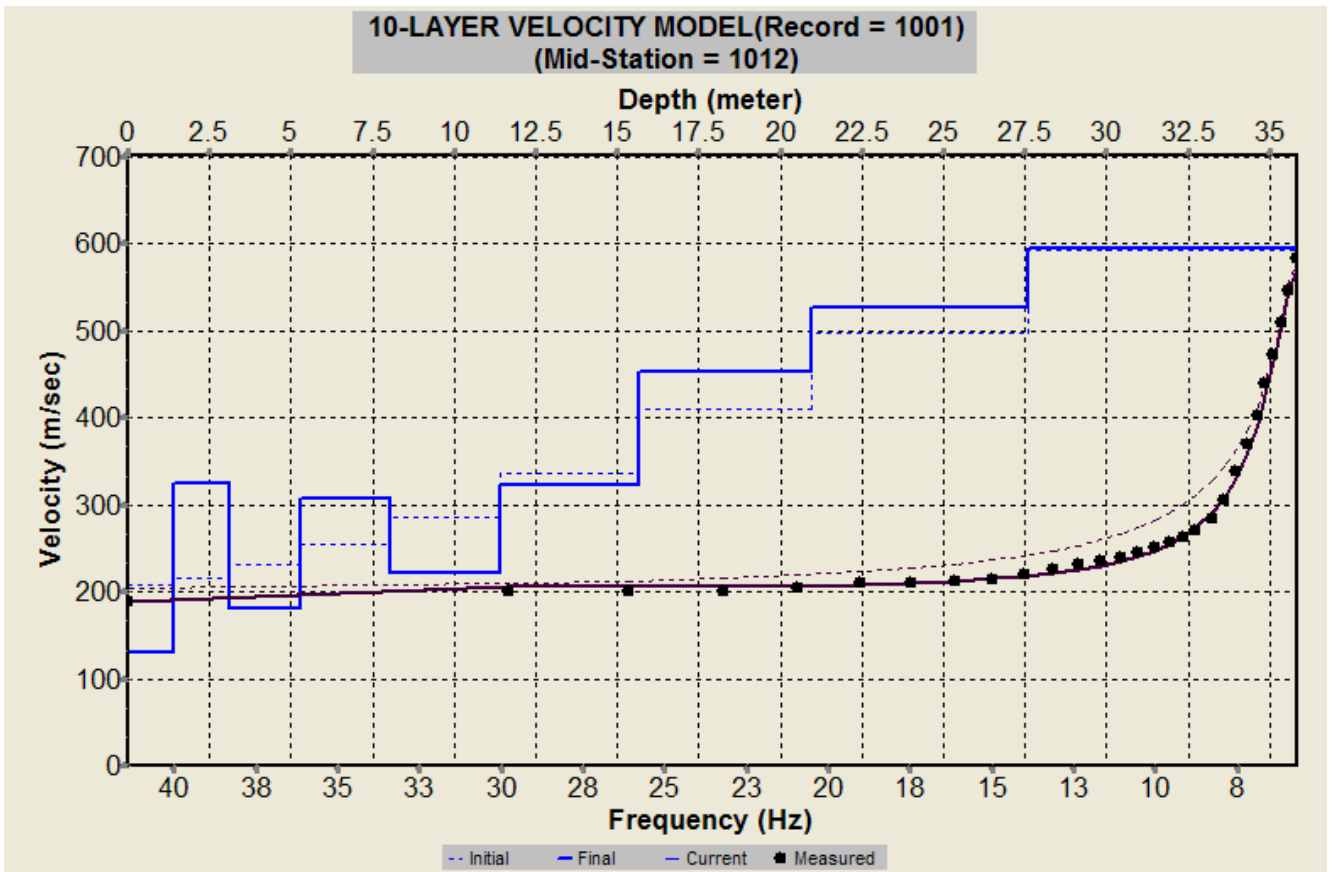


Fig. 89 – Profilo verticale 1D delle V_S ottenuto dall’inversione della curva di dispersione della velocità di fase delle onde superficiali di Rayleigh: MASW n. 10 - acquisizione n. 1.

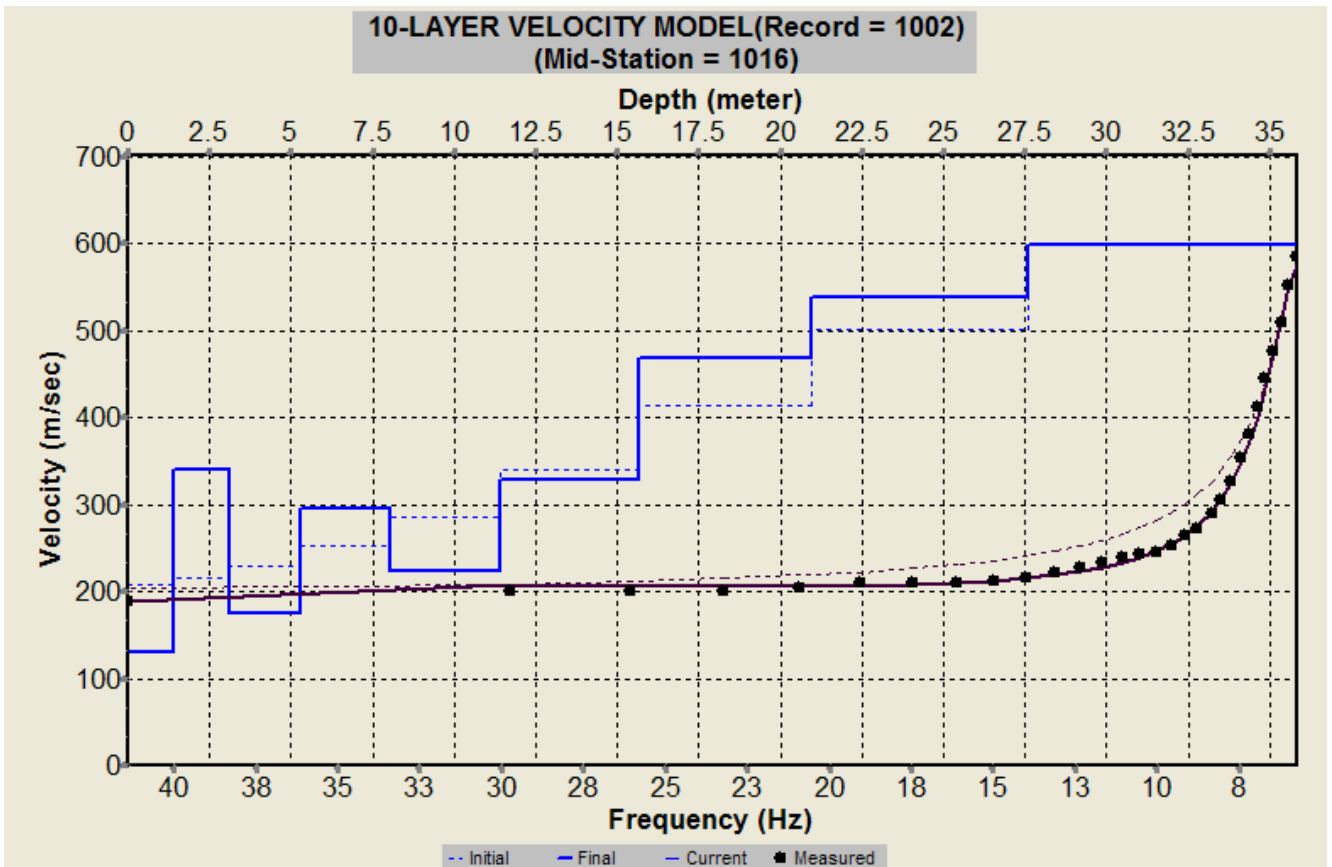


Fig. 90 – Profilo verticale 1D delle V_S ottenuto dall’inversione della curva di dispersione della velocità di fase delle onde superficiali di Rayleigh: MASW n. 10 - acquisizione n. 2.

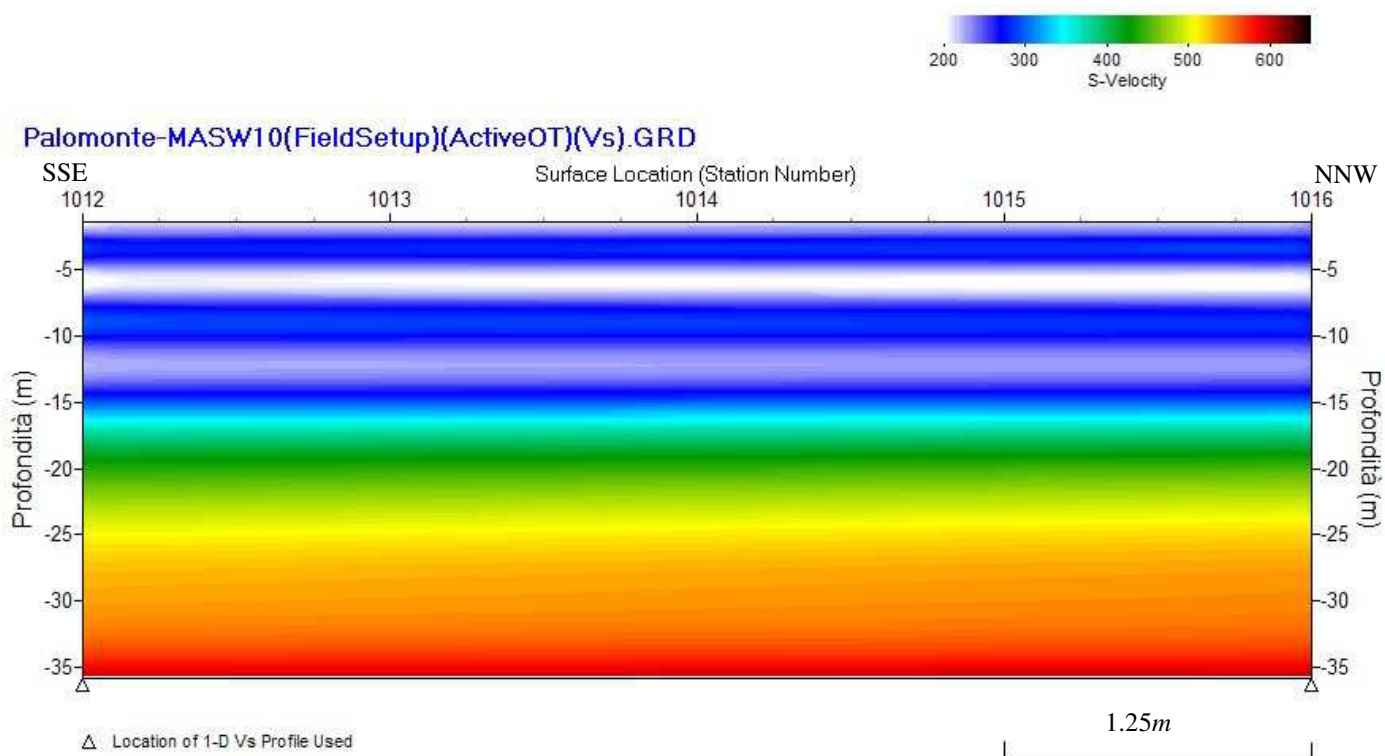


Fig. 91 – Modello sismostratigrafico 2D delle V_s ottenuto dall'indagine Sismica MASW n. 10.